

PROVINCIA DI AREZZO

COMUNE DI CHITIGNANO

“Indagini geofisiche di tipo sismico, misure di rumore ambientale a stazione singola di registrazione - analisi “HVSr” OPCM 3907/2010 art. 2, comma 1 lett. a) studi di Microzonazione Sismica dei centri urbani del Comune di CHITIGNANO (AR)”



RELAZIONE GEOFISICA

PREMESSA

In ottemperanza alla ORD P.C.M. 3907 del 03-12 -2010 e seguendo le raccomandazioni contenute nelle **“linee guida per la micro zonazione sismica”** della protezione civile ed in accordo alle raccomandazioni dell’ufficio sismico del genio civile si è effettuata nel comune di CHITIGNANO una campagna di indagine a supporto di uno studio di micro zonazione sismica di primo livello.

Si sono svolte quindi 23 tromometrie, 3 rilievi MASW, 1 rifrazione in Sh e P con lo scopo di fornire informazioni dirette sui periodi di risonanza dei terreni ed in maniera qualitativa di definire l’intensità della risposta sismica locale nei diversi siti di misura.

I rilievi si sono effettuati per commissione e sotto la direzione tecnica del Dott.Geol.Giovannini Nicola e della Geogamma di Bibbiena

Si ricorda che una micro zonazione sismica si divide in 3 livelli ed il livello 1, quello che è stato eseguito, da un punto di vista QUALITATIVO riesce a definire dove ci aspettiamo amplificazioni maggiori.

Seguono quindi i secondi (uso di abachi) ed i terzi livelli (modellazione 1d e 2d).

SCOPO DI UNO STUDIO DI MICROZONAZIONE SISMICA

Per studio di micro zonazione sismica a livello comunale si intende la caratterizzazione, su un'area normalmente vasta, di come il moto sismico possa essere modificato dalla stratigrafia del terreno attraversato sia nella forza che nelle caratteristiche del moto.

Così, ad esempio, un sisma che si genera su una faglia attiva produrrà un treno di onde che si propagherà ed espanderà sulla roccia su cui era impostata la faglia.

Dato che molto spesso la roccia risulta sepolta da dei depositi di sedimenti, il moto sismico, prima di emergere e generare il terremoto come noi lo conosciamo, attraverserà questi sedimenti sciolti.

Questa fase del terremoto però non è senza conseguenze, infatti, come una corda pizzicata su una chitarra produce un suono che dipende dalla cassa di amplificazione, così il terreno agirà sul terremoto, ora ampliandone gli effetti (amplificazioni stratigrafiche o topografiche), ora attenuandone i medesimi, ora cambiando la forma del moto sismico.

Questi effetti sono così importanti che si può arrivare addirittura a raddoppiare la forza del moto sismico.

Si capisce quindi la necessità da parte di chi governa il territorio (in questo caso il comune) di avere delle conoscenze su come il territorio risponderà ad una sollecitazione sismica e quale parte del medesimo risulterà più vulnerabile, per tutelare ciò che è già stato costruito e per progettare la futura espansione urbanistica.

CAMPAGNA DI ACQUISIZIONE DEI DATI

Per determinare le caratteristiche sismiche dei terreni indagati si sono effettuate 23 misure tromometriche.

Si è deciso di approfondire inoltre la conoscenza di due zone caratterizzate dall'esistenza di edifici strategici :

In Loc Rosina si è effettuata una campagna di indagine costituita da una sismica a rifrazione in onde P ed Sh ,da un masw e due rilievi tromometrici.

Presso il museo della poveriera si sono effettuati 2 masw e 2 rilievi tromometrici.

I dati così ottenuti sono stati utilizzati sia per chiarire la situazione locale, sia come dati per gli studi generali di micro zonazione.

STRUMENTAZIONE USATA PER I RILIEVI

MASW-RIFRAZIONE

Sismografo PASi 16SGN-24

24 Geofoni orizzontali da 10 hz ,24 geofoni verticali da 14 hz,24 geofoni verticali da 4,5 hz



CARATTERISTICHE TECNICHE SERIE 16S-N

Processore	Intel Celeron M o superiore
Trattamento dati	Floating Point 32-bit
Ambiente operativo	Windows XP
Interfaccia multilingue	Italiano,Inglese,Francese,Spagnolo,etc.
Numero canali	12 / 24
Display	VGA a colori in LCD-TFT 10.4", touch screen
Supporto di memorizzazione	Hard-Disk 80 Gb (o superiore)
Risoluzione di acquisizione	24bit con sovracampionamento e post-processing
Stampante (opzionale)	Windows standard (solo su richiesta)
Porte dati esterne	LPT, 2xUSB2, LAN
Sensore ambiente interno	temperatura
Protezioni termiche	prevenzione e controllo surriscaldamenti interni (warning sul display e blocco)
Compatibilità dati acquisiti	SEG-2 e PASi standard
Connettori cavo geofoni	standard NK-27-21C
Alimentazione	batteria esterna 12VDC
Temperatura di funzionamento	da 0°C a +55°C
Temperatura di immagazz.	da -55°C a +150°C
Umidità	da 5% a 90%, non condensante
Dimensioni fisiche	486x392x192 mm
Peso	10 kg (12 canali), 11 kg (24 canali)

SOFTWARE USATO PER LA VISUALIZZAZIONE, L'ACQUISIZIONE, IL FILTRAGGIO E L'ELABORAZIONE DEI DATI

Acquisizione dei dati

SISMOPC 1.0-PASI
AMROGEO

Elaborazione e filtraggio

<i>Visual Sunt 20</i>	<i>Wgeosoft -filtraggio dati (sismica a riflessione)</i>
<i>Seismic Unix</i>	<i>Software libero-filtraggio dati (sismica a riflessione)</i>
<i>WinMasw Pro</i>	<i>Eliosoft-elaborazione Masw-Remi-H/V-Attenuazione</i>
<i>Grilla</i>	<i>Tromino-H/V</i>
<i>Geopsy</i>	<i>Software Libero-H/V</i>

Modelli 1 D e rischio sismimico

<i>Deep Soil</i>	<i>software libero-Risposta di sito modellazione 1D</i>
<i>Strata</i>	<i>software libero-Risposta di sito modellazione 1D</i>
<i>Rexel</i>	<i>software libero-risposta di sito-terremoto di progetto</i>
<i>Shake 2000</i>	<i>Geo Motions-risposta di sito -modellazione 1D -liquefazione ecc.</i>
<i>Ciclic 1D</i>	<i>software libero-liquefazione</i>

MISURAZIONI TROMETRICHE

Per eseguire uno studio di micro zonazione sismica di primo livello si necessita di avere conoscenze su porzioni di territorio molto estese , di una metodologia che permetta di raggiungere profondità ragguardevoli e , infine che sia di facile esecuzione ed economicamente non impegnativa.

Si ricorda inoltre che il target degli studi di primo livello risulta essenzialmente nel definire la profondità della roccia sotto la copertura sedimentaria.

La tecnica da noi utilizzata per l'acquisizione delle misure, peraltro fortemente raccomandata dalle ***linee guida per la micro zonazione sismica*** è quella tromometrica.

BASI TEORICHE

La prova sismica passiva a stazione singola mette in luce le frequenze alle quali il moto del terreno viene amplificato per risonanza stratigrafica. La prova, comunemente nota con il termine H/V (rapporto tra le componenti spettrali orizzontali, H, e verticale, V) fu applicata per la prima volta da Nogoshi e Igarashi (1970) e resa popolare da Nakamura (1989). In un sistema costituito da uno strato tenero (es. coperture) ed un semispazio rigido (es. bedrock), un'onda tenderà a rimanere intrappolata nello strato tenero per riflessioni multiple (alla superficie libera, nuovamente al bedrock e così via) e darà luogo a fenomeni di risonanza per lunghezze d'onda incidenti]. Le frequenze a cui si manifesta la risonanza sono descritte dalla legge:

$$1) T^{\circ} = 4h/V_s$$

dove T° indica il periodo, V_s è la velocità delle onde di taglio nello strato che risona e h è lo spessore di detto strato.

Un suolo vibra con maggiore ampiezza a specifiche frequenze (per l'appunto di risonanza) non solo quando è eccitato da un terremoto ma anche quando è eccitato da un tremore di qualsiasi origine. Questo fa sì che la misura delle frequenze di risonanza dei terreni sia possibile ovunque ed in modo semplice, anche in assenza di terremoti.

L'Equazione 1 permette di comprendere come la tecnica H/V possa fornire anche indicazioni di carattere stratigrafico: a partire da una misura di microtremore che fornisce f , nota la V_s delle coperture, si può infatti stimare la profondità dei riflettori sismici principali o viceversa.

Misure H/V effettuate su roccia sana che non amplifica daranno invece curve piatte .

ACQUISIZIONE IN CAMPAGNA

La misura di microtremore a stazione singola deve avere una durata commisurata alla frequenza di indagine di interesse. Nella già citata ipotesi che una misura di interesse ingegneristico ricada nell'intervallo 0.1-20Hz, segue che un campionamento adeguato deve durare 12-15 min, in modo da poter analizzare il segnale su finestre di almeno 30 s di lunghezza e da avere almeno 20-30 finestre su cui effettuare una media, considerando anche che qualcuna potrà dover essere rimossa per la presenza di disturbi che alterano lo spettro medio.

La frequenza di campionamento adeguata per questo tipo di prove non deve essere inferiore a 50 Hz, in modo da permettere una ricostruzione spettrale sino ad almeno 20 Hz.

Lo strumento di misura va posto a diretto contatto col terreno e reso solidale con questo senza interfacce intermedie.

La misura sismica passiva va effettuata direttamente su terreno naturale e quando questo non fosse possibile è necessario tener conto degli effetti indotti dai terreni artificiali rigidi in questo tipo di misure.

L'orientamento strumentale secondo il Nord geografico e solamente una convenzione.

In presenza di elementi topografici o morfologici, lo strumento andrebbe allineato secondo gli assi di questi, in modo da cogliere più efficacemente eventuali direzionalità.

ANALISI DEI DATI

Le serie temporali registrate nelle tre componenti del moto vengono analizzate secondo procedure spettrali di vario tipo (FFT, wavelet, ecc.) fino alla produzione delle curve H/V, dove H è la media di due componenti spettrali orizzontali ortogonali.

Si rimanda a SESAME (Site EffectS Assessment using AMbient Excitations, 2005) per uno dei possibili esempi di protocollo di analisi.

Prima di qualsiasi interpretazione delle curve H/V sono indispensabili due accorgimenti:

1) la curva H/V deve essere statisticamente significativa, ossia essere caratterizzata da una deviazione in ampiezza e in frequenza ridotta. Quando questa caratteristica non sia presente sin dall'inizio, essa va ricercata tramite una pulizia del tracciato. Esistono diversi metodi per "pulire" una curva:

H/V SESAME (2005) propone la rimozione nella serie temporale di quelle finestre caratterizzate da una deviazione del segnale (STA, media a breve termine) maggiore della media a lungo termine (LTA).

Tuttavia le procedure che propongono la rimozione dei disturbi sulla base della serie temporale non appaiono le più indicate quando l'obiettivo è pulire una curva che è funzione della frequenza.

La pulizia deve infatti essere rivolta alla ricerca di un rapporto H/V stabile e quindi alla rimozione delle sole finestre in cui questo rapporto risulti alterato, a parità di frequenza, tra i canali H e i canali V. Questo tipicamente avviene in presenza di segnali di natura impulsiva, che presentano cioè spettri bianchi.

Le curve H/V non vanno mai osservate da sole ma sempre congiuntamente agli spettri delle singole componenti da cui derivano. Questo permette di discernere agevolmente i picchi di natura stratigrafica da quelli di natura antropica. In condizioni normali le componenti spettrali NS, EW e Z (verticale) hanno ampiezze simili.

Alla frequenza di risonanza si genera un picco H/V legato ad un minimo locale della componente spettrale verticale che determina una forma "a occhio" o "a ogiva".

Questa forma è indicativa di risonanze stratigrafiche.

È evidente però che in una misura di tremore entrano anche vibrazioni monofrequenziali (artefatti) indotte da macchinari o simili. Queste si traducono in picchi stretti (delta) ben definiti su tutte e tre le componenti spettrali e quando l'ampiezza sulle tre componenti non è simile, danno luogo a picchi o gole artefattuali nelle curve H/V.

STRUMENTAZIONE USATA E SOFTWARE D'INTEPRETAZIONE

Tromino Micromed



Number of channels	3+1 analog
Amplifiers	all channels with differential inputs
Noise	< 0.5 μV r.m.s. @128 Hz sampling
Input impedance	10^6 Ohm
Frequency range	DC - 360 Hz
Sampling frequency	16384 Hz per channel
Oversampling frequency	32x, 64x, 128x
A/D conversion	≥ 24 bit equivalent
Max analog input	51.2 mV (781 nV/digit)

SOFTWARE D'INTERPRETAZIONE DEI DATI

Grilla-Micromed
WinMasw professional-Eliosoft
Geopsy

RILIEVI EFFETTUATI

Si sono effettuati rilievi, dove è stato possibile si è impostato il trimino su terreno naturale.

I rilievi hanno avuto le seguenti caratteristiche:

Durata registrazione: 0h22'00".

Freq. campionamento: 128 Hz

Per l'analisi sono stati scelti i seguenti parametri

Lunghezza finestre: 20 s

Tipo di lisciamiento: Triangular window

Lisciamiento: 10%

Rimozione di rumore tramite selezione manuale sulla traccia

RISULTATI OTTENUTI

Il dato principale rilevabile tramite misure di rumore di fondo è la frequenza di sito, da cui si estrapola la presunta profondità del bedrock,

Dall'ampiezza della curva potremo inoltre avere informazioni qualitative sull'intensità della risposta sismica (per norma, si ha amplificazioni stratigrafica per valori di H/V maggiori di 2.

L'insieme delle informazioni frequenza intensità ci permetterà di capire su quali frequenze si concentrerà la risposta del terreno e quanto sarà forte la medesima.

Segue una tabella riassuntiva con i dati delle misure effettuate.

GALILEO GEOFISICA-PIAZZA GIOTTO 8-52100-Arezzo
www.Galileogeofisica.it

num progr	elenco	frequenza primaria		frequenza secondaria		classe misura	EST UTM32N	NORD UTM32
		T°	Amp	T°	Amp			
28	051014P28	4.88	2.5	no	no	B2	731661.22	4839063.11
29	051014P29	7.38	3	no	no	B2	731580.92	4839008.08
30	051014P30	3.01	2	no	no	B2	731662.93	4839089.37
31	051014P31	5.25	2.5	no	no	B2	731757.89	4838996.57
32	051014P32	32.5	4	2	1.5	A1	732175.14	4837442.65
33	051014P33	8.13	2.5	2.5	1.5	A1	732220.46	4837583.65
34	051014P34	5.91	3	no	no	A1	732026.94	4837608.83
35	051014P35	12.05	2	no	no	B2	732184.49	4838021.05
36	051014P36	2.41	2	10.2	2	A2	732222.80	4837776.81
37	051014P37	2.42	2	no	no	A1	732339.70	4837935.08
38	051014P38	35.7	2	4.5	1.5	A2	732368.48	4838253.06
39	051014P39	2.77	2.5	no	no	A1	732290.78	4838487.59
40	051014P40	15.09	4	2.5	1.5	B1	732416.67	4838593.34
41	051014P41	piatto	piatto	no	no	A2	732601.56	4838496.22
42	051014P42	3.75	2	no	no	A1	732567.03	4838658.09
43	051014P43	30.61	2.5	3	1.5	A1	732679.25	4838776.79
44	051014P44	2.66	2.5	no	no	A2	732322.97	4838117.09
45	051014P45	piatto	piatto	no	no	B2	732464.16	4838102.70
46	051014P46	4.38	2.5	no	no	B1	732357.59	4838372.08
47	051014P47	till	till	no	no	C	732532.41	4838342.58
48	051014P48	17.3	3	2.2	1.5	A1	732449.68	4838703.00

RISULTATI OTTENUTI

Le misure non hanno rilevato in genere fenomeni di amplificazione netti, con picchi superiori a 3.

Si riconosce spesso una frequenza secondaria.

QUALITA' DELLA MISURA

Si suddividono le misure nelle seguenti classi

- classe A: curva H/V affidabile ed interpretabile, che può essere usata anche da sola;
- classe B: curva H/V sospetta (da interpretare), va usata con cautela e solo se coerente con altre misure ottenute nelle vicinanze;
- classe C: curva H/V scadente e di difficile interpretazione, che non può essere usata.

I criteri per essere inclusa nella classe A sono:

1. *stazionarietà*: la curva H/V nell'intervallo di frequenze d'interesse rimane stazionaria per almeno il 30% della durata della misura,
2. *isotropia*: le variazioni azimutali d'ampiezza non superano il 30% del massimo,
3. *assenza di disturbi*: non ci sono indizi di rumore elettromagnetico nella banda di frequenza d'interesse,
4. *plausibilità fisica*: i massimi sono caratterizzati da una diminuzione localizzata d'ampiezza dello spettro verticale,
5. *robustezza statistica*: sono soddisfatti i criteri di SESAME per una curva chiara ed attendibile,
6. *durata*: la misura è durata almeno 15 minuti.

La misura è di classe B se almeno una delle precedenti condizioni non è soddisfatta, mentre è di classe C se è una misura di classe B nelle quali:

- 7 la curva H/V mostra una deriva decrescente dalle basse alle alte frequenze, indice d'un movimento dello strumento durante la misura,
- 8 si evidenzia la presenza di rumore elettromagnetico in corrispondenza di diverse frequenze nell'intervallo d'interesse.

Tali criteri non riguardano l'interpretazione in chiave geologico-stratigrafica della curva, per la quale sono richiesti ulteriori criteri (per esempio i criteri SESAME per la chiarezza del picco), sicché ognuna di tali classi è ulteriormente ripartita in misure di:

tipo 1: curva H/V che presenta almeno un picco chiaro secondo i criteri di SESAME (possibile risonanza),

tipo 2: curva H/V che non presenta picchi chiari nell'intervallo di frequenze d'interesse (assenza di risonanza).

CLASSE A-primi 6 punti su 8 e 9 no

CLASSE B-5 punti su 6 dei primi 6-8 e 9 no

CLASSE C-almeno 2 punti non soddisfatti dei primi 6, o si ai punti 6 e 8

Tipo 1=punto 7 sì

Tipo 2=punto 7 no

DA: IL CONTRIBUTO DELLA SISMICA PASSIVA NELLA MICROZONAZIONE

DI DUE MACROAREE ABRUZZESI-CGNTS 2009-sessione 2.1

D. Albarello 1, C. Cesi 2, V. Eulilli 2, F. Guerrini 1, E. Lunedei 1, E. Paolucci 1, D. Pileggi 1,

L.M. Puzzilli 2

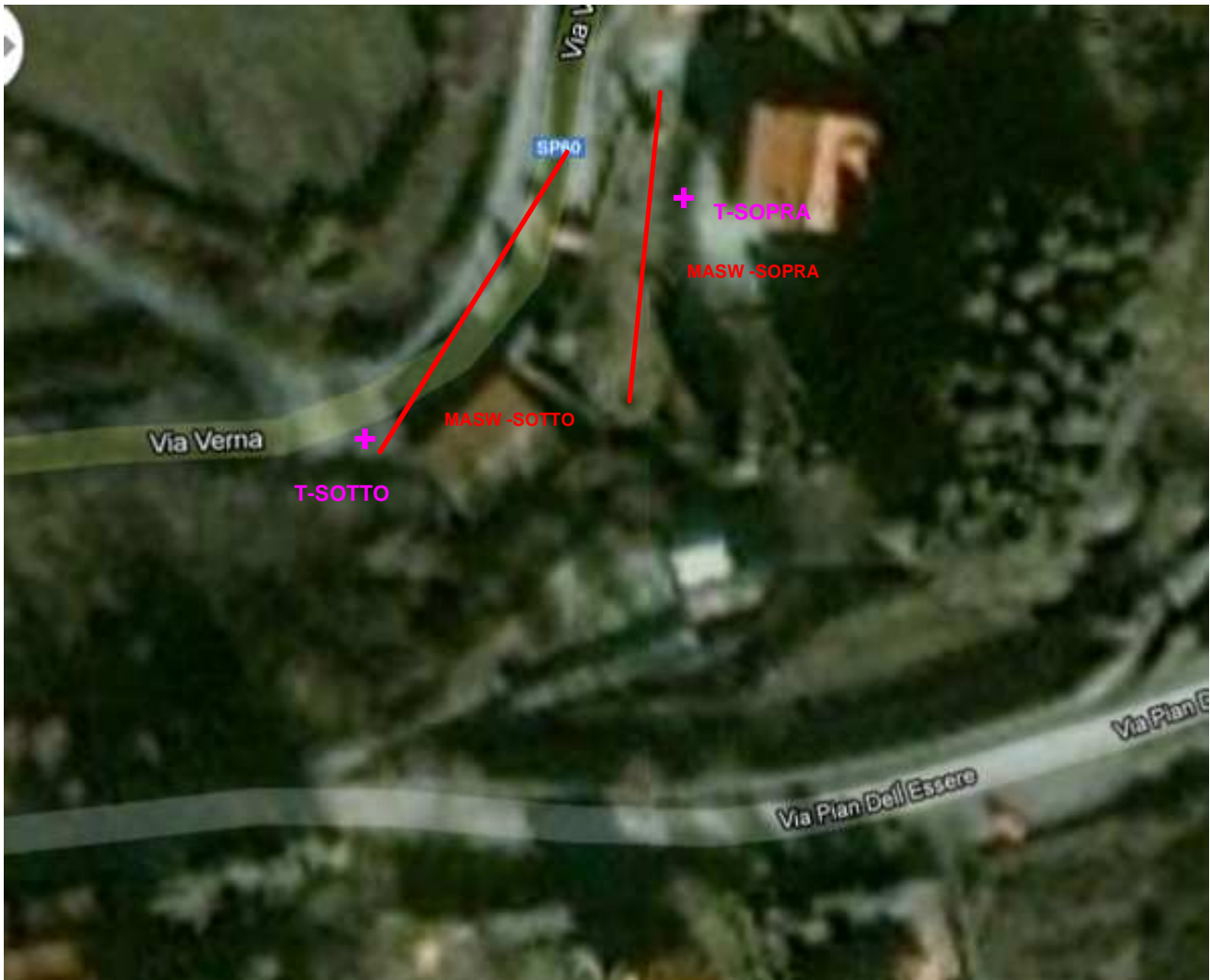
1 Dipartimento di Scienze della Terra dell'Università degli Studi di Siena

2 ISPRA - Dipartimento Difesa del Suolo, Servizio Geofisica

INDAGINI MASW-POLVERIERA

L'indagine è avvenuta con lo scopo di avere informazioni sulla stratigrafia e sulle caratteristiche sismiche di un terreno nei pressi del museo della polveriera a Chtignano. L'indagine è avvenuta sotto la direzione tecnica e per commissione della Geogamma di Bibbiena

Per determinare la classe sismica di un terreno si sono svolti 2 masw, uno al livello della polveriera e uno al disopra di essa (il primo fatto su asfalto il secondo su terreno vergine)



MODALITA' OPERATIVA

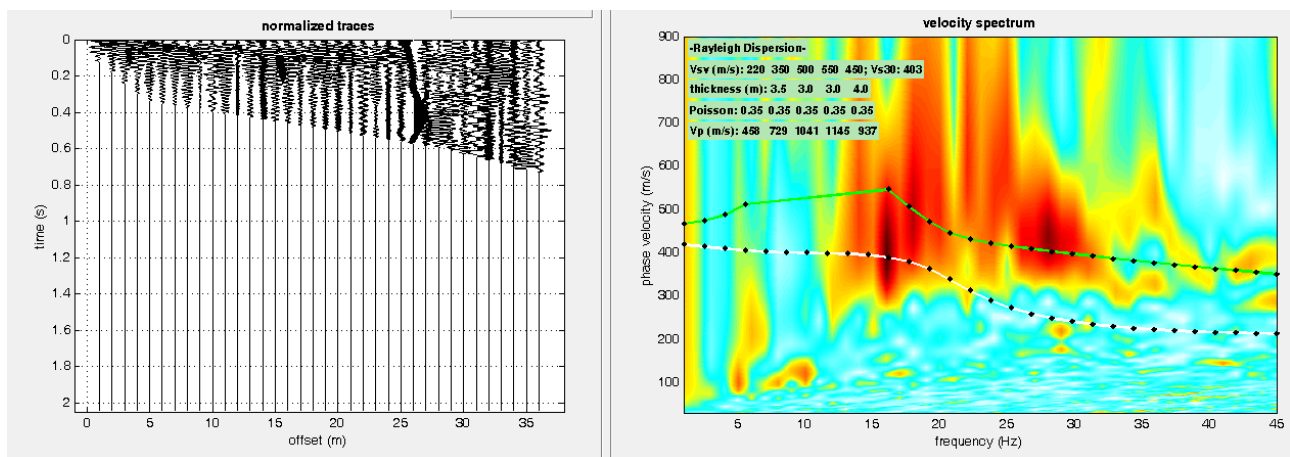
MASW

Si sono disposti i geofoni sul terreno quindi si è energizzato tramite mazza da 8 kg.

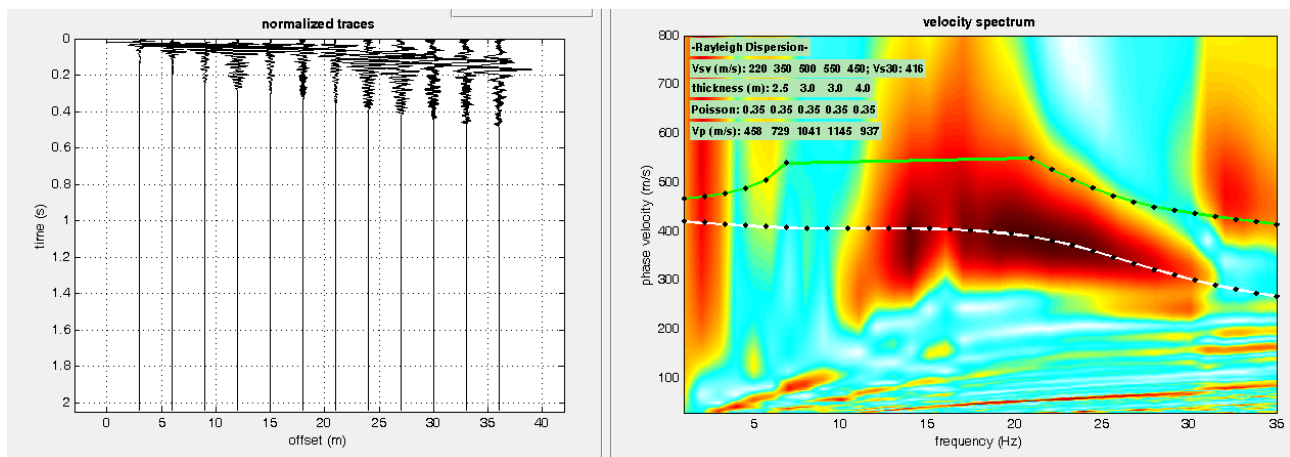
Si sono effettuate registrazioni di 2sec.

Nel primo masw (MASW BASSO) si sono usati 36 canali e interdistanze di 1 metro, nel secondo (MASW ALTO) si sono disposti 12 geofoni da 4,5 hz alla distanza di 3 metri ottenendo una traccia di 36 metri

L'energizzazione è avvenuta a 3 metri dal primo geofono.



Masw sotto



Masw sopra

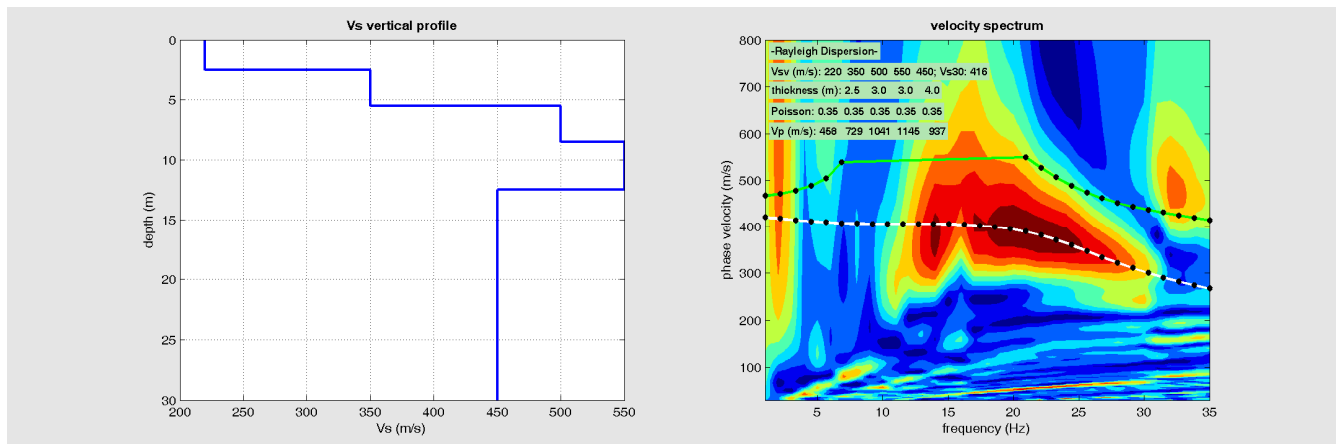
H/V

Si è disposto il tromino mettendolo in bolla ed allineandolo con il nord geografico.
 Si sono effettuata quindi una registrazione del rumore di fondo per 22 minuti.

FASE INTERPRETATIVA

1) Elaborazione dei dati MASW

I dati sono stati analizzati nel dominio delle frequenze, si è ricavato quindi la curva di dispersione ed il modello sismo stratigrafico preliminare in SV



Mean model-MASW SOPRA

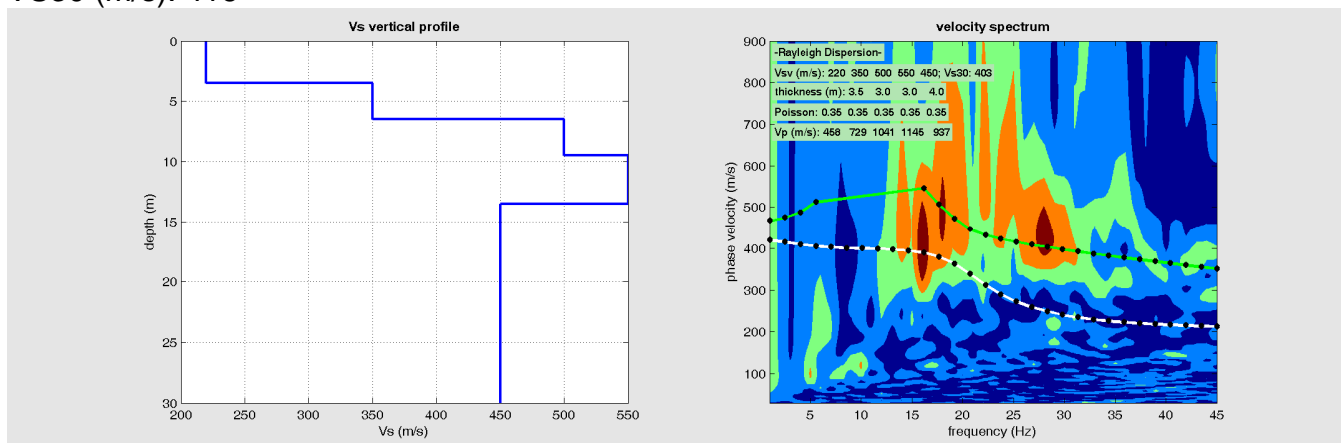
Vs (m/s): 220 350 500 550 450

Thickness (m): 2.5, 3.0, 3.0, 4.0

Density (gr/cm³): 1.90 2.01 2.10 2.12 2.07

Shear modulus (MPa): 92 246 524 641 419

VS30 (m/s): 416



Mean model-MASW SOTTO

Vs (m/s): 220 350 500 550 450

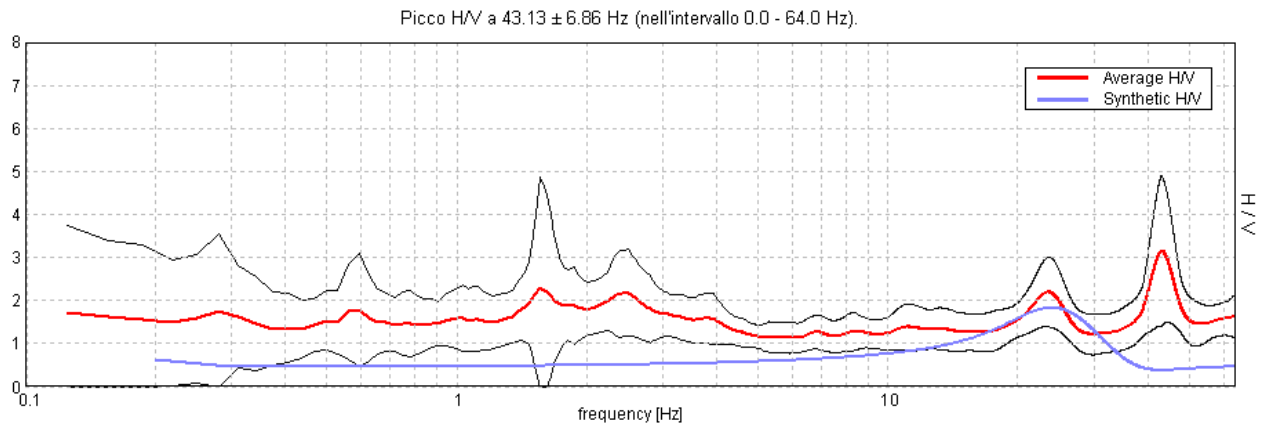
Thickness (m): 3.5, 3.0, 3.0, 4.0

Density (gr/cm³): 1.90 2.01 2.10 2.12 2.07

Shear modulus (MPa): 92 246 524 641 419

VS30 (m/s): 403

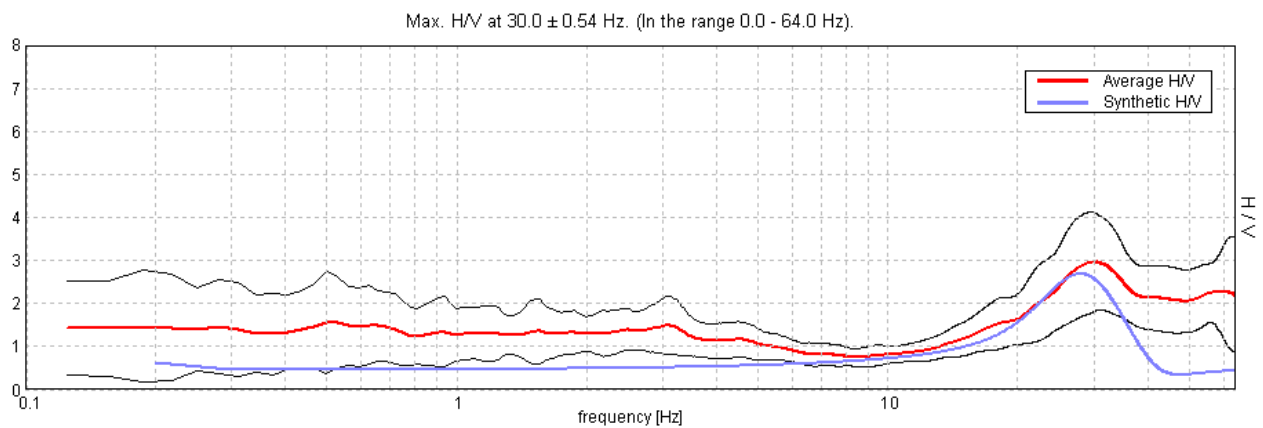
POLVERIERA SOTTO -H/V SPERIMENTALE vs. H/V SINTETICO



Profondità alla base dello strato [m]	Spessore [m]	Vs [m/s]	Rapporto di Poisson
2.20	2.20	220	0.35
inf.	inf.	450	0.35

$V_s(0.0-30.0)=418\text{m/s}$

POLVERIERA SOPRA H/V SPERIMENTALE vs. H/V SINTETICO



Profondità alla base dello strato [m]	Spessore [m]	Vs [m/s]	Rapporto di Poisson
1.80	1.80	200	0.35
inf.	inf.	450	0.35

$V_s(0.0-30.0)=419\text{m/s}$

SISMICA A RIFRAZIONE-ROSINA

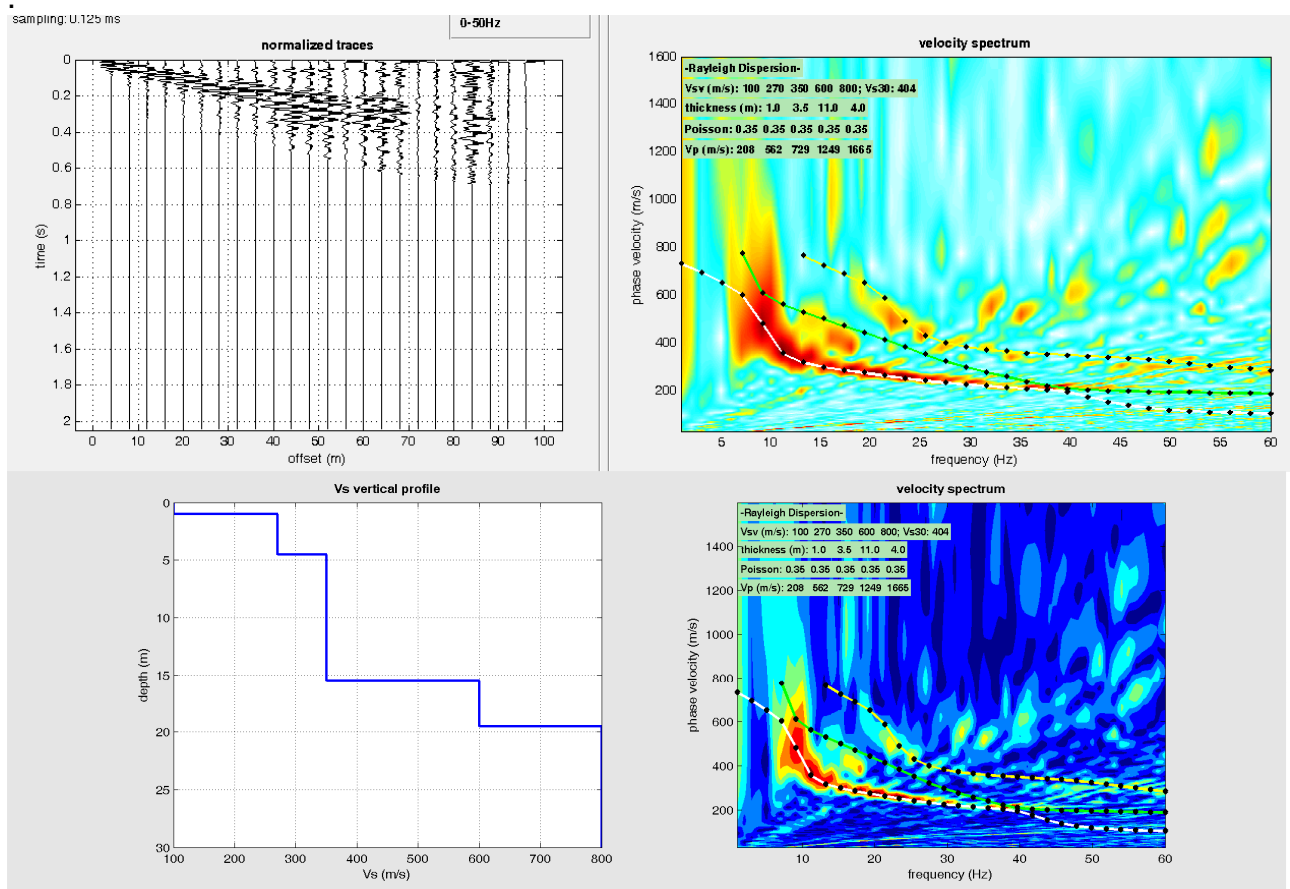
L'indagine è avvenuta con lo scopo di avere informazioni sulla stratigrafia e sulle caratteristiche sismiche di un terreno in loc. Rosina nel comune di Chitignano.

L'indagine è avvenuta per commissione e sotto la direzione tecnica del Dott. Geol. Giovannini Nicola

Per la determinazione del rischio sismico si sono effettuati un MASW, due rilievi tromometrici, ed una sismica a rifrazione in onde P ed Sh. .



MASW-CURVE DISPERSIONE



Mean model

Vs (m/s): 100 270 350 600 800
 Thickness (m): 1.0, 3.5, 11.0, 4.0
 Density (gr/cm³): 1.71 1.95 2.01 2.14 2.21
 Shear modulus (MPa): 17 142 246 770 1414

VS30 (m/s): 404

SISMICA A RIFRAZIONE

STRUMENTAZIONE USATA

Sismografo Pasi 16 GS
Numero dei canali 24
A/D conversione 24 bit
Geofoni da 14 hz verticali
Geofoni da 10 hz orizzontali

SISTEMI DI ENERGIZZAZIONE

Generazione di onde P:
massa battente (mazza da 8 kg)
Generazione di onde Sh:
Traversina in legno gravata dal peso di un autoveicolo e percossa nei 2 sensi

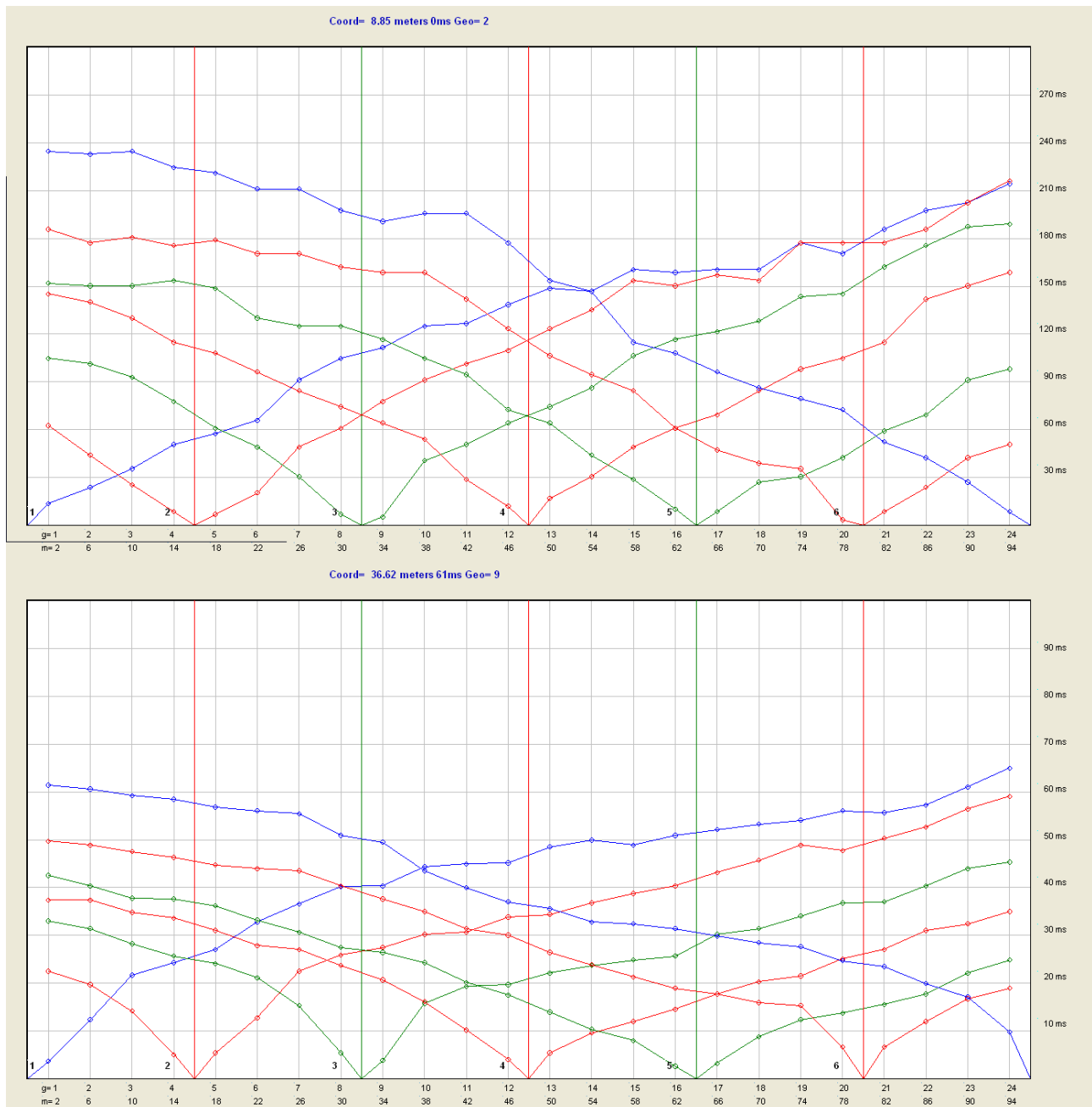
GEOMETRIA DEI RILIEVI

AA' = distanza intergeofonica 4 m per un totale di 96 metri, 7 energizzazioni, 2 esterne, 5 interne, per ogni registrazione si sono effettuati 5 stack (P) 10 stack (Sh), 5 per ogni polarità.

METODOLOGIE USATE PER L'ANALISI DEI DATI

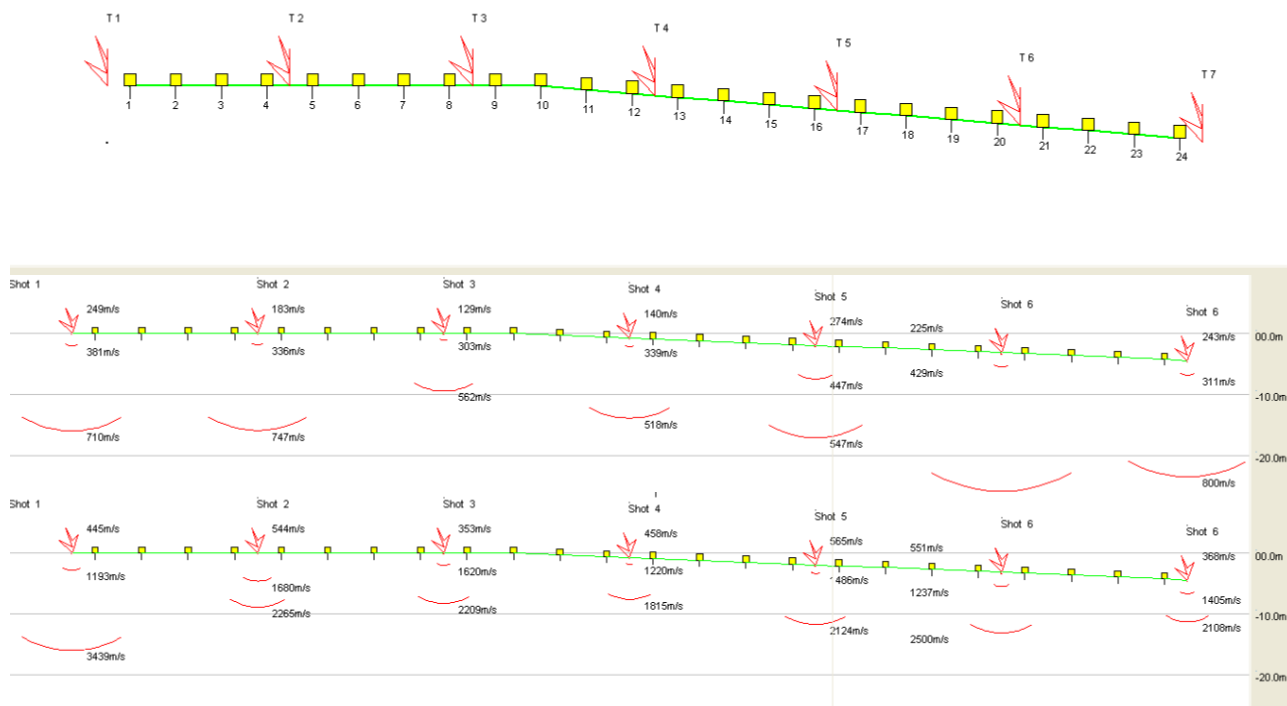
I dati sono stati acquisiti e trattati in campagna tramite software SISMO P.C. della PASI .
In particolare, dove necessario si è implementato il segnale tramite sommatoria delle misure.

I dati sono poi stati trattati tramite software “Winsism 11.3” della Wgeosoft, Seismic unix, Rayfract della Intelligent Resource inc.

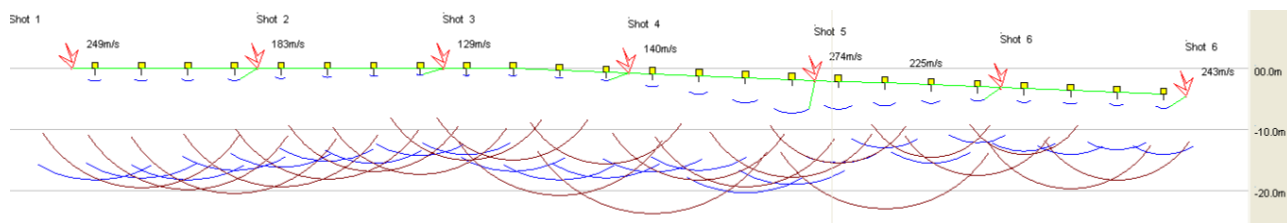


Dromocrone sismica

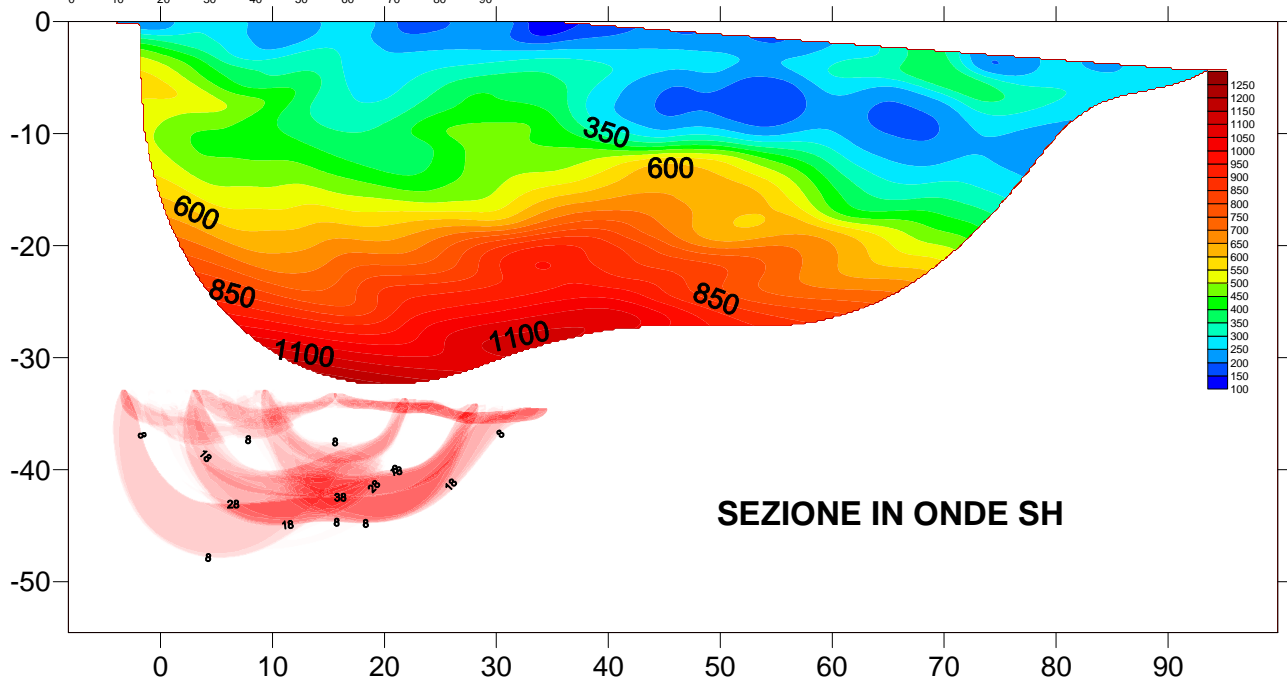
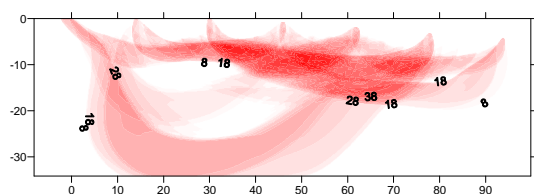
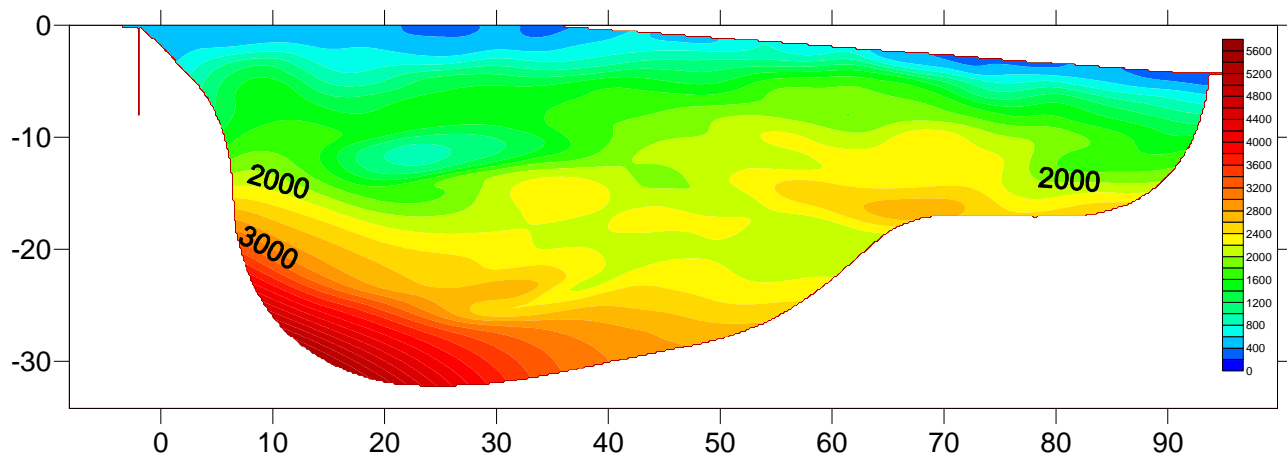
GALILEO GEOFISICA-PIAZZA GIOTTO 8-52100-Arezzo
www.Galileogeofisica.it



Topografia sezione ed interpretazione con i metodi classici (intercette) in onde P ed Sh.



G.R.M in sh



SEZIONE IN ONDE SH

SEZIONI SISMOTOMOGRAFICHE IN ONDE P ED SH

RISULTATI OTTENUTI

Si possono discretizzare essenzialmente 3 sismostrati:

Il primo A costituito da materiale poco compatto o aereato

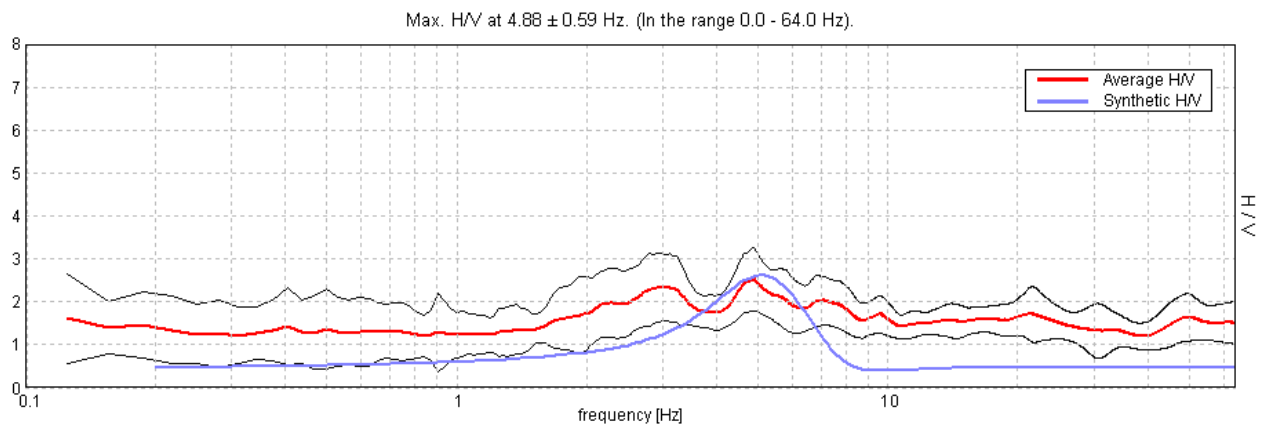
Nel secondo (B) troviamo il litoide alterato

Infine in C troviamo il litoide inalterato

Possibile ispessimento della coltre detritica nella parte terminale della sezione

HVSR

H/V SPERIMENTALE vs. H/V SINTETICO



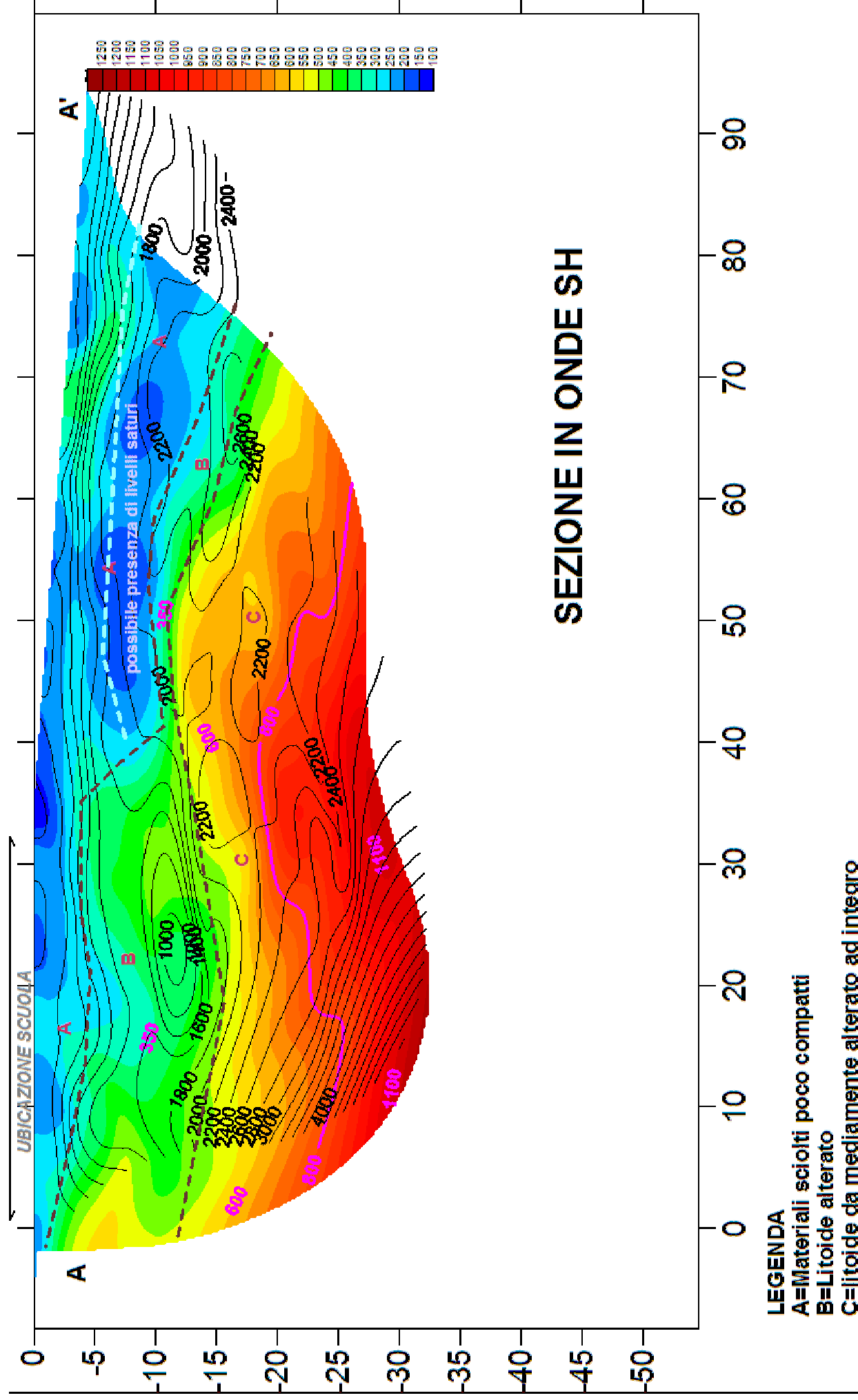
Profondità alla base dello strato [m]	Spessore [m]	Vs [m/s]	Rapporto di Poisson
12.00	12.00	300	0.35
22.00	10.00	500	0.35
inf.	inf.	700	0.35

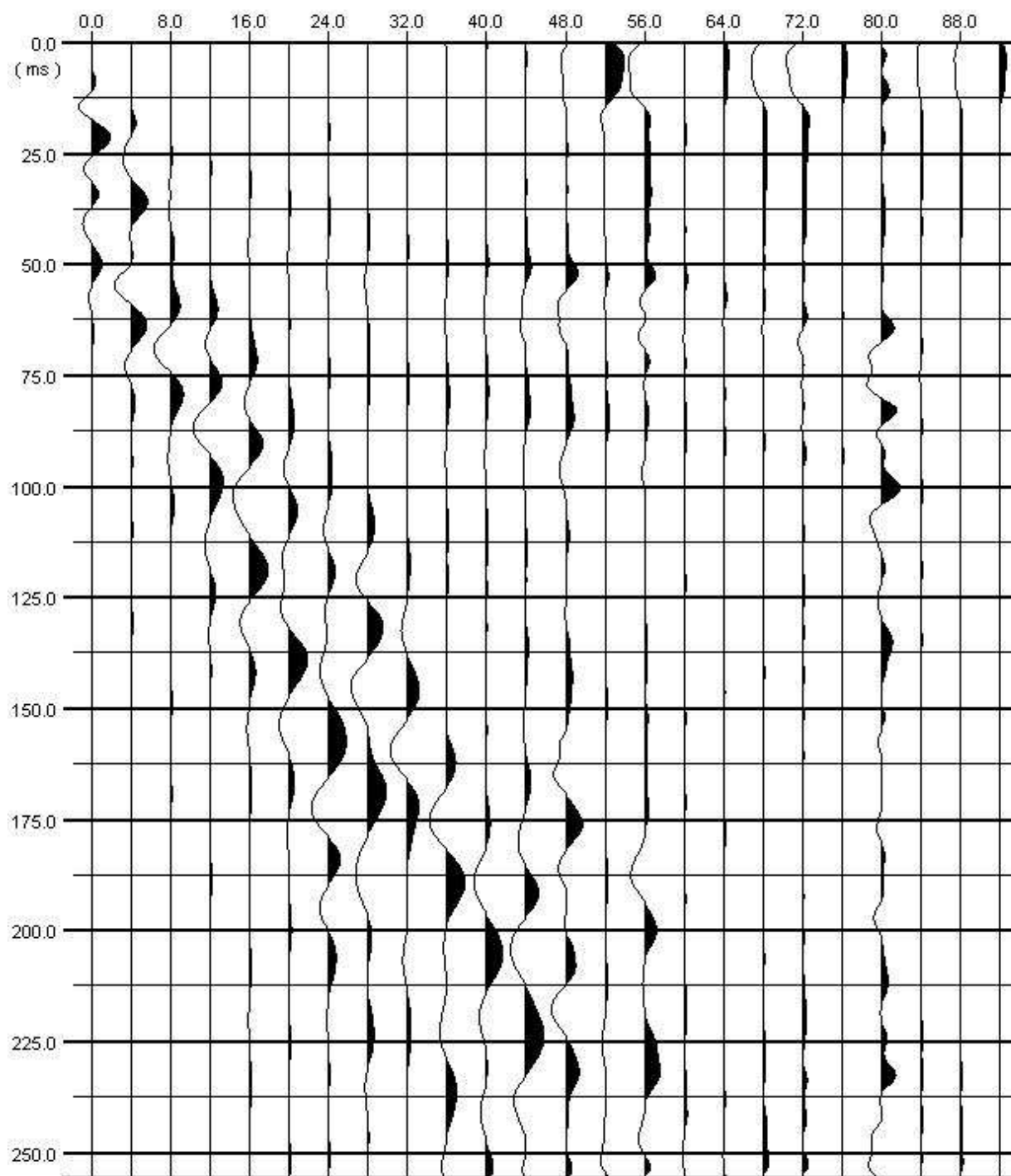
$V_s(0.0-30.0)=420\text{m/s}$

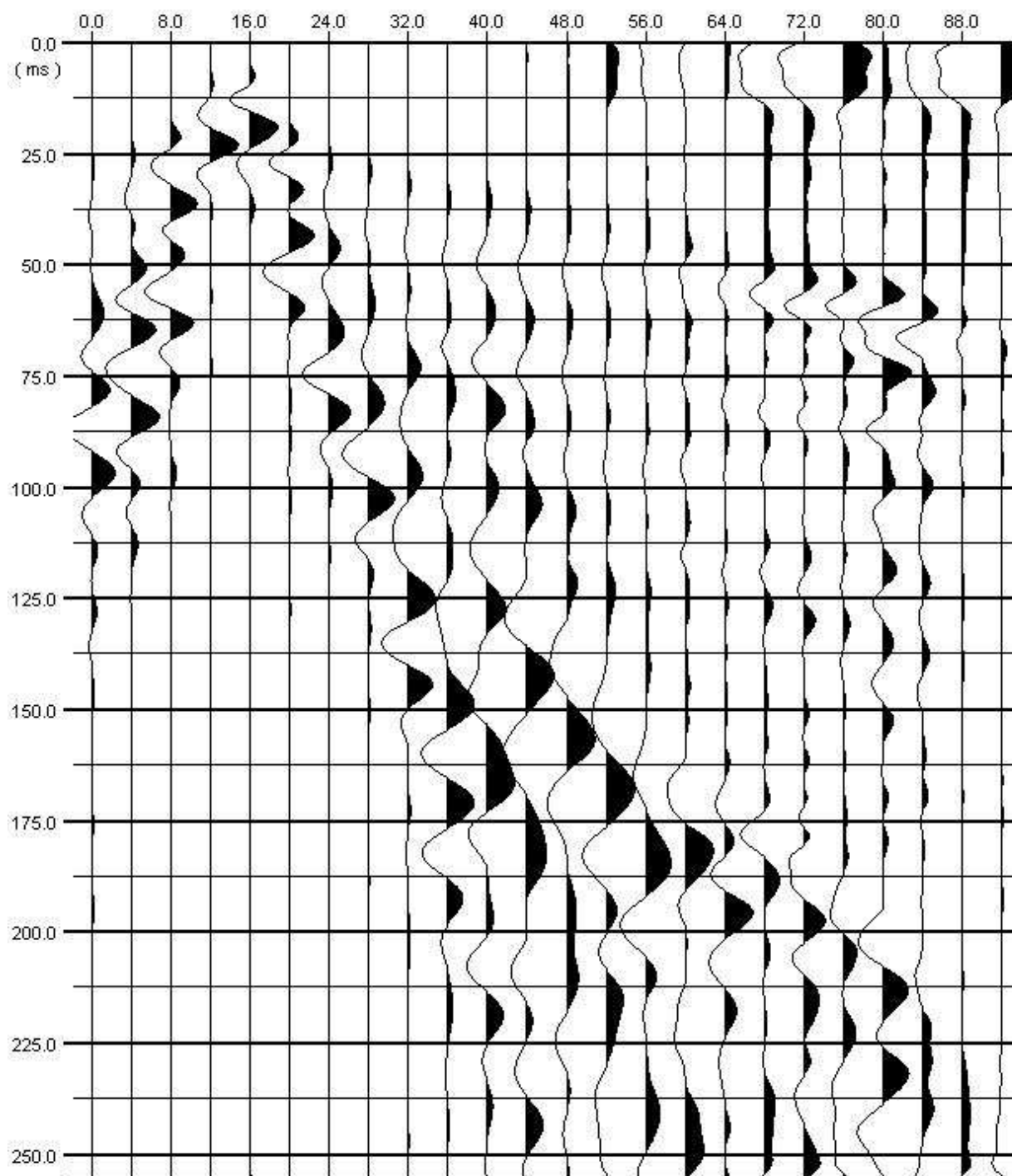
AREZZO 01-09-2013

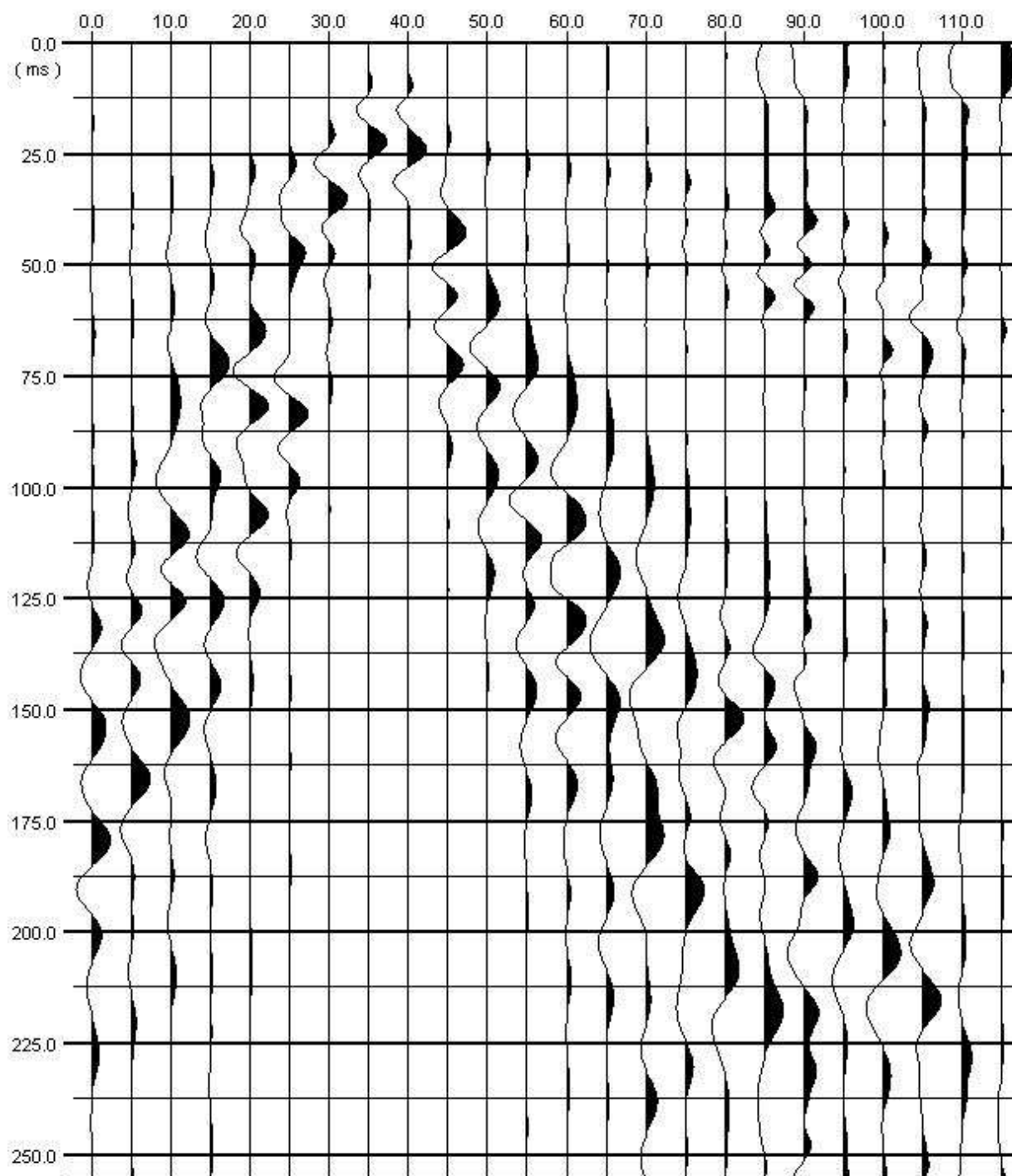
Galileo Geofisica

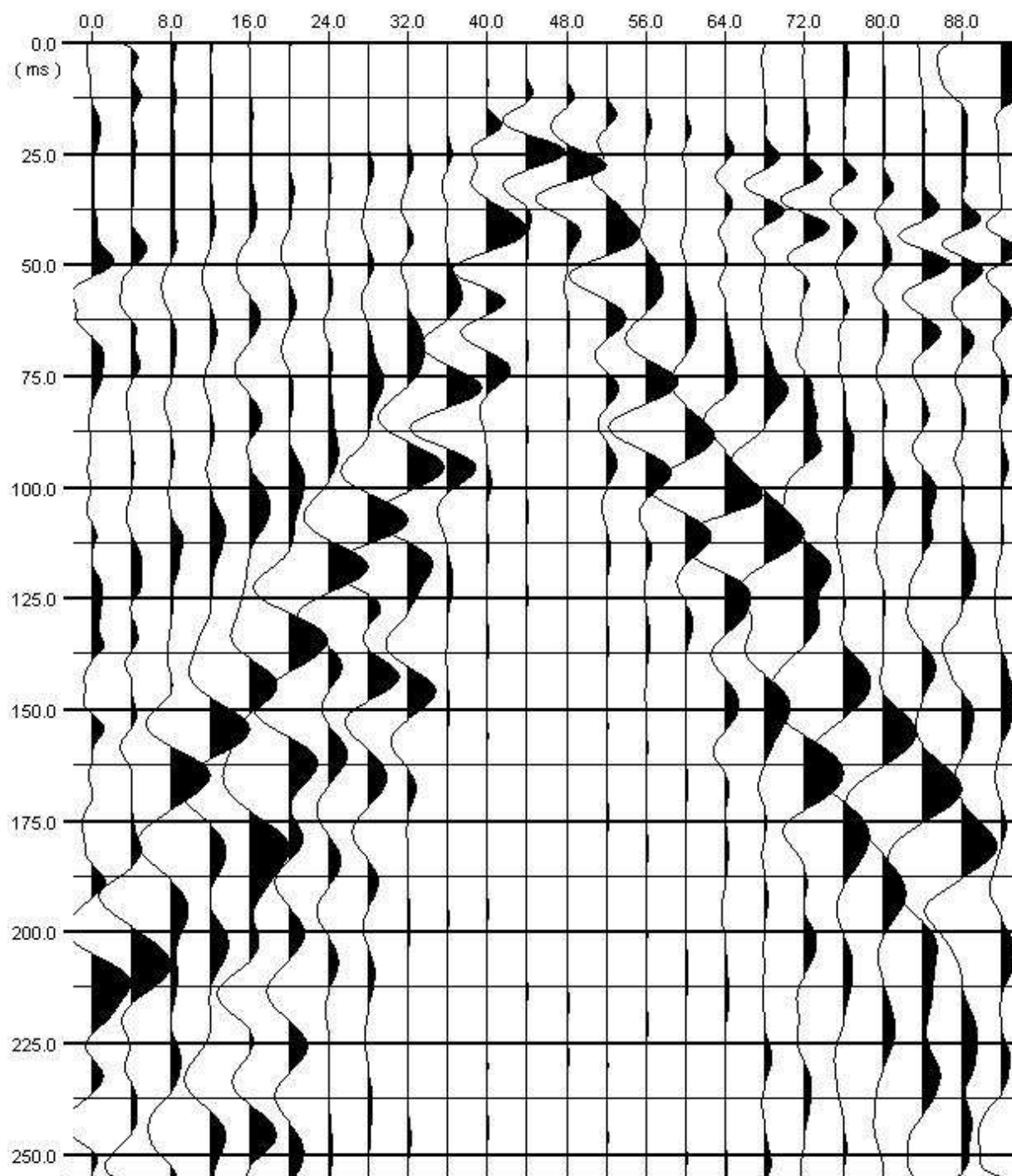
Dott.Geol.Secci Simone

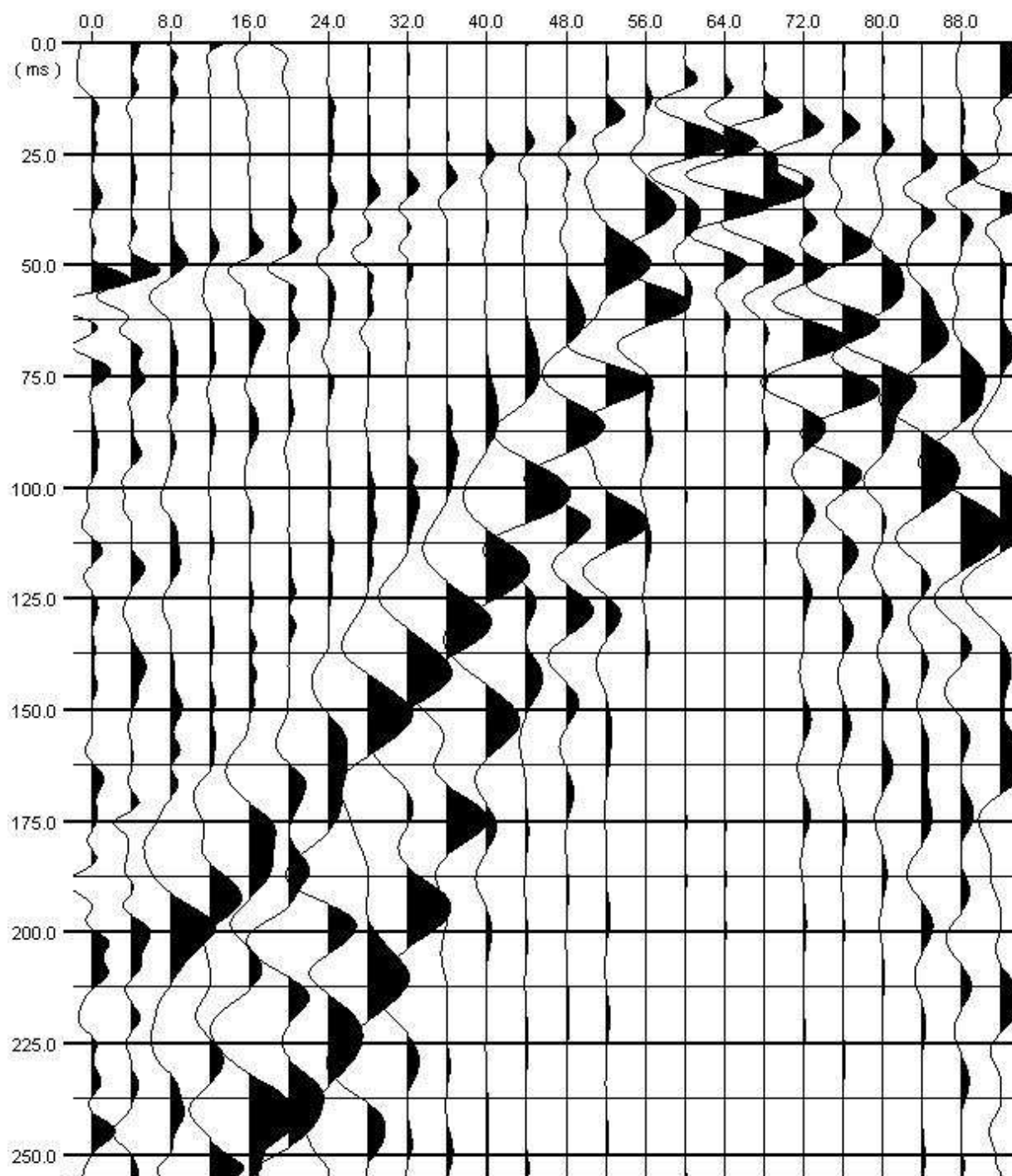


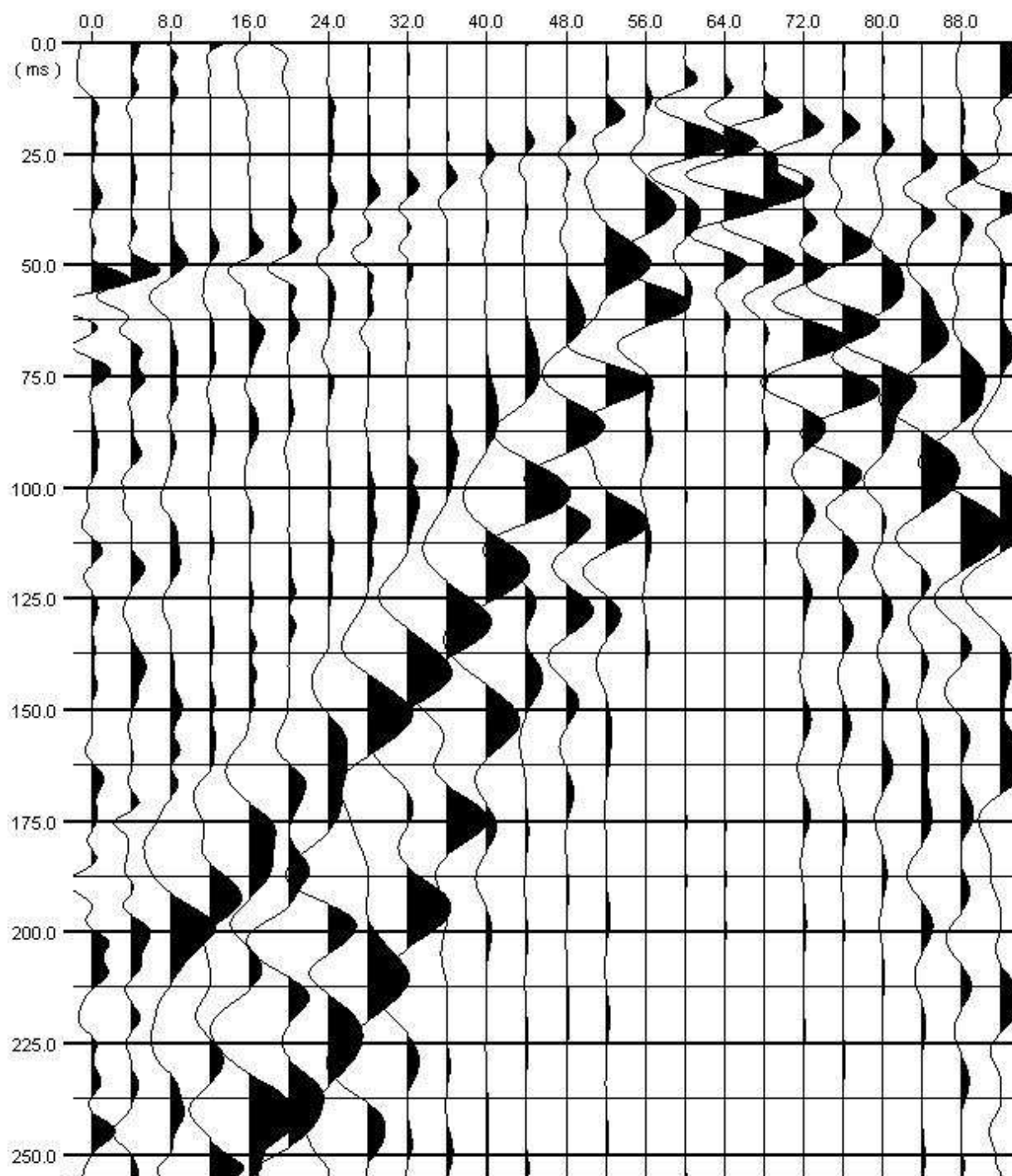


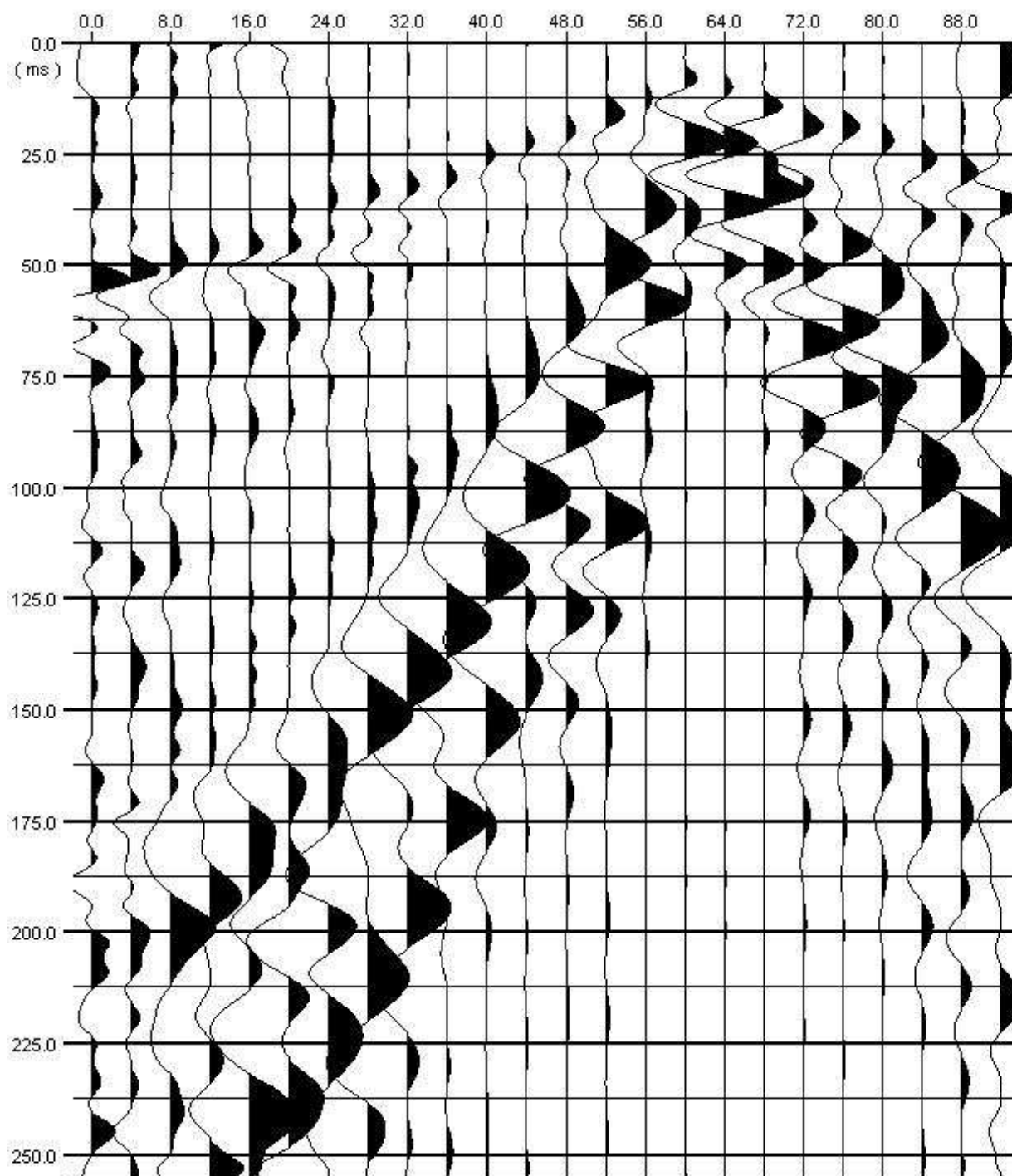


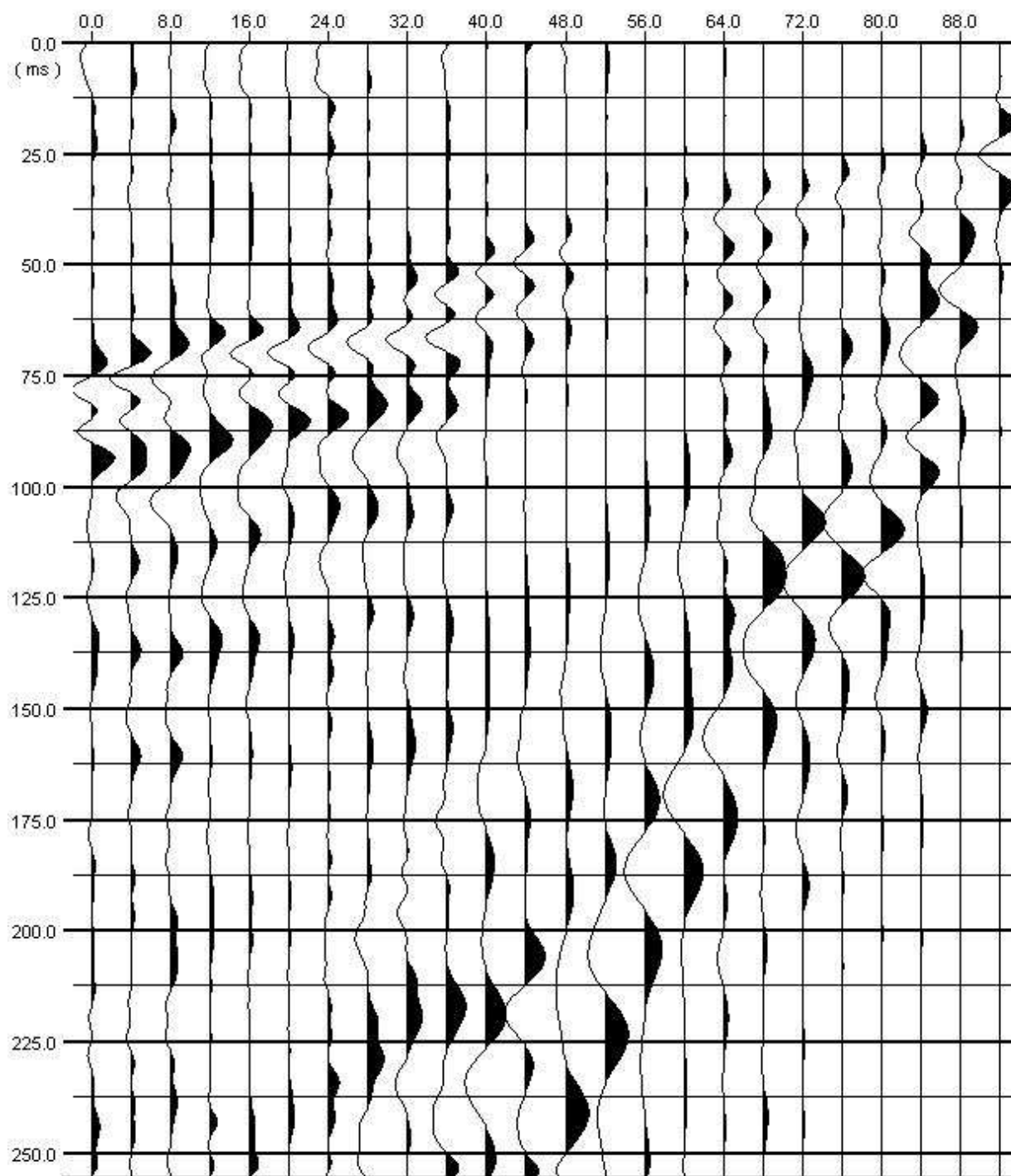


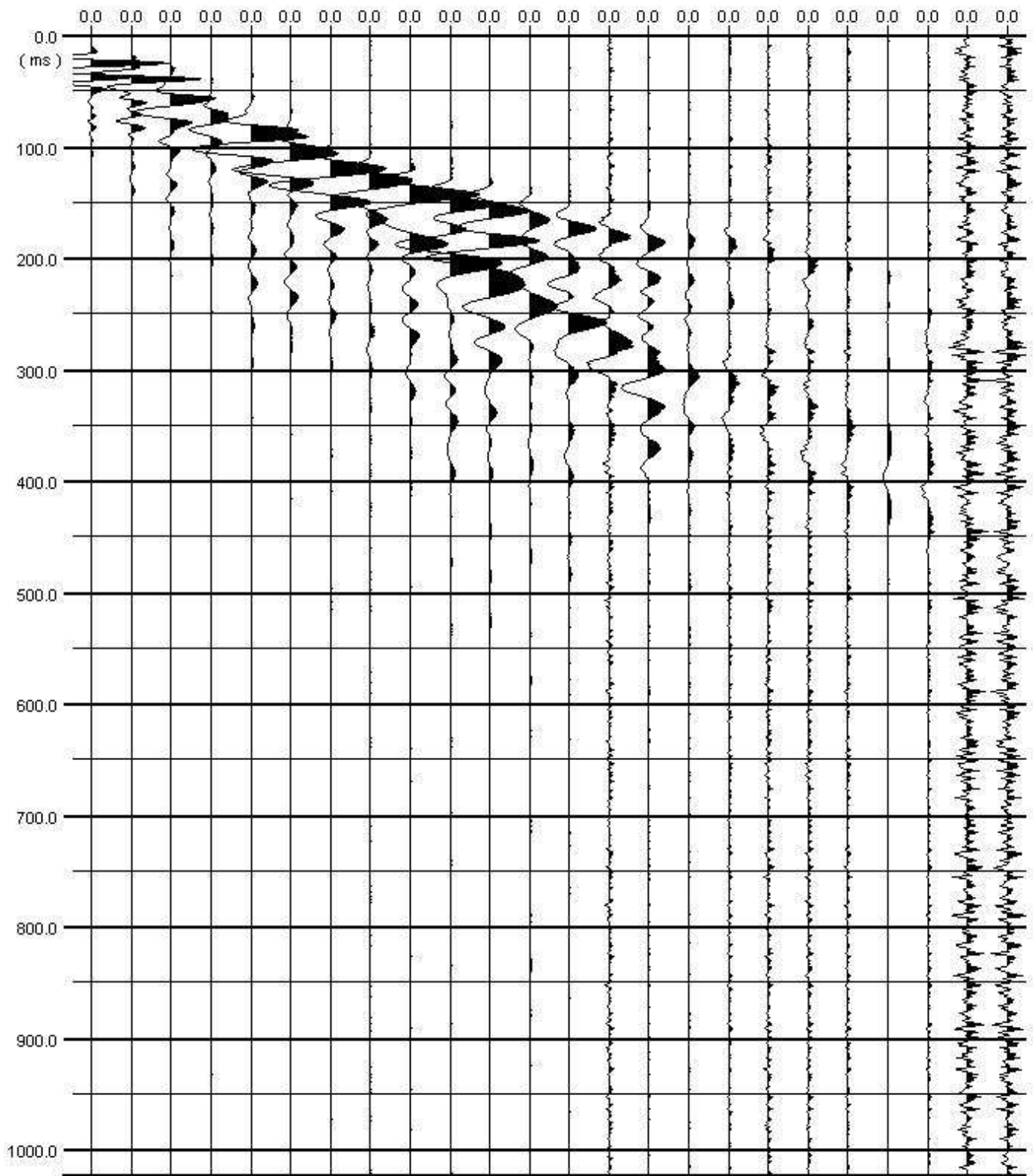


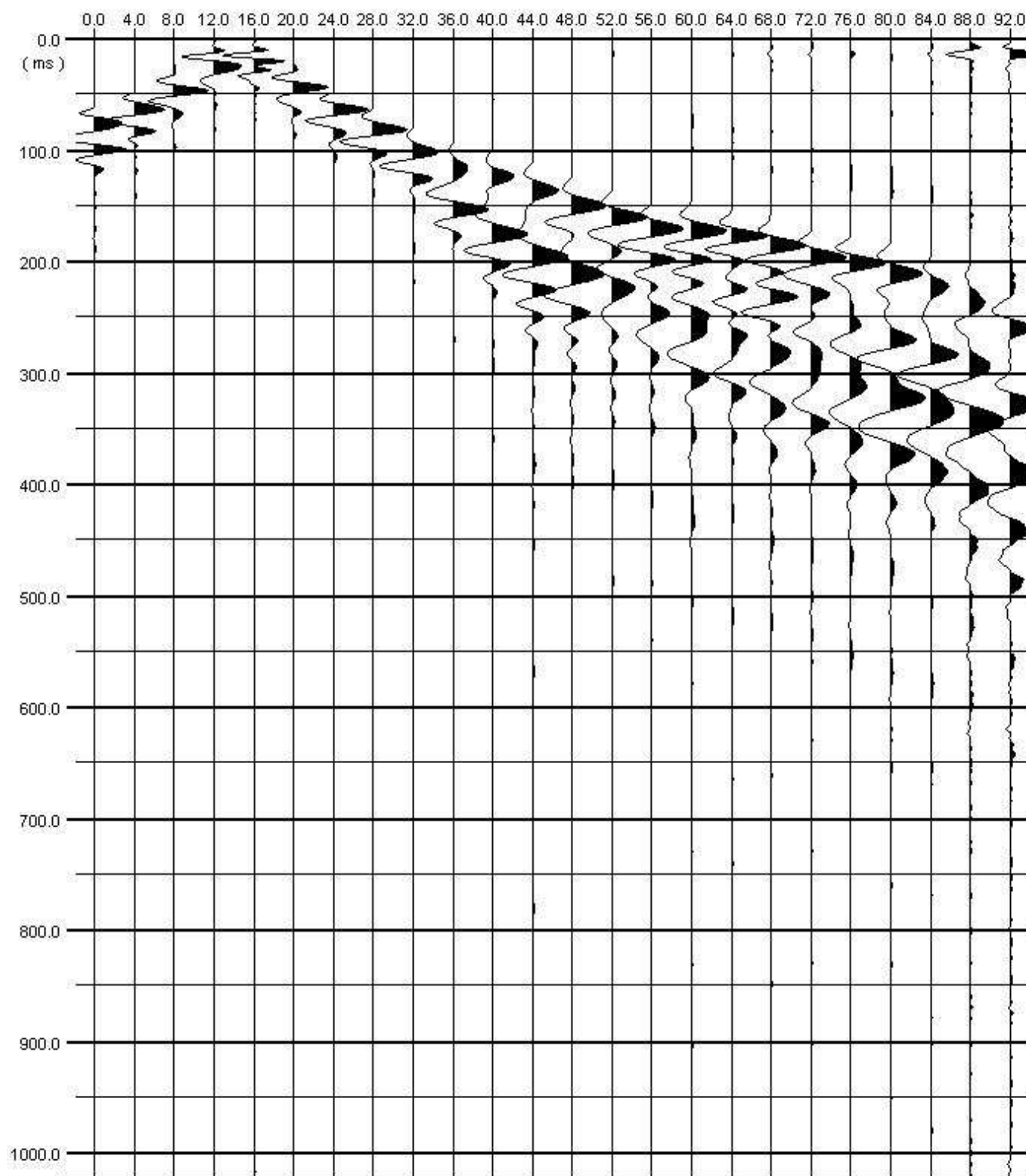


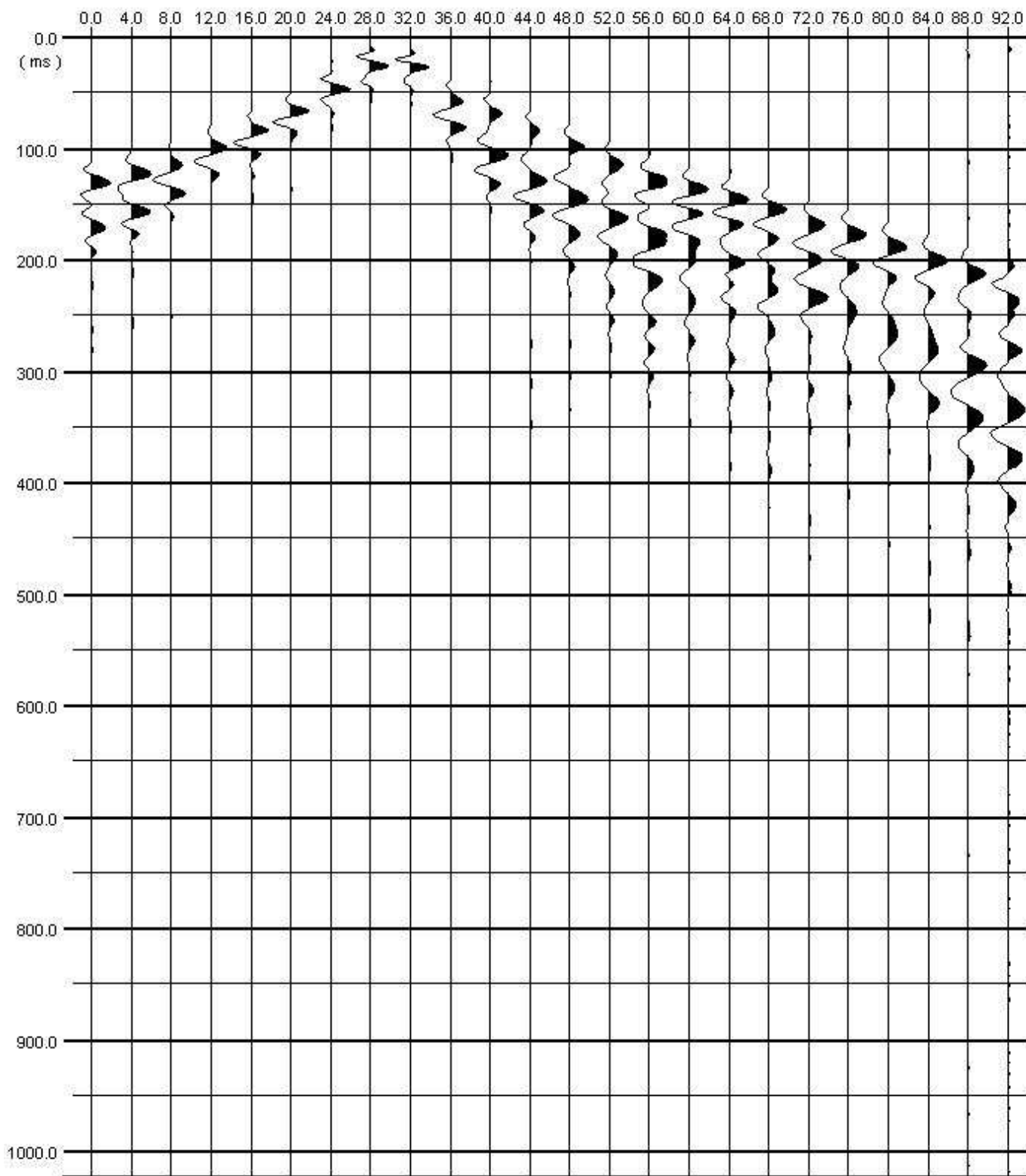


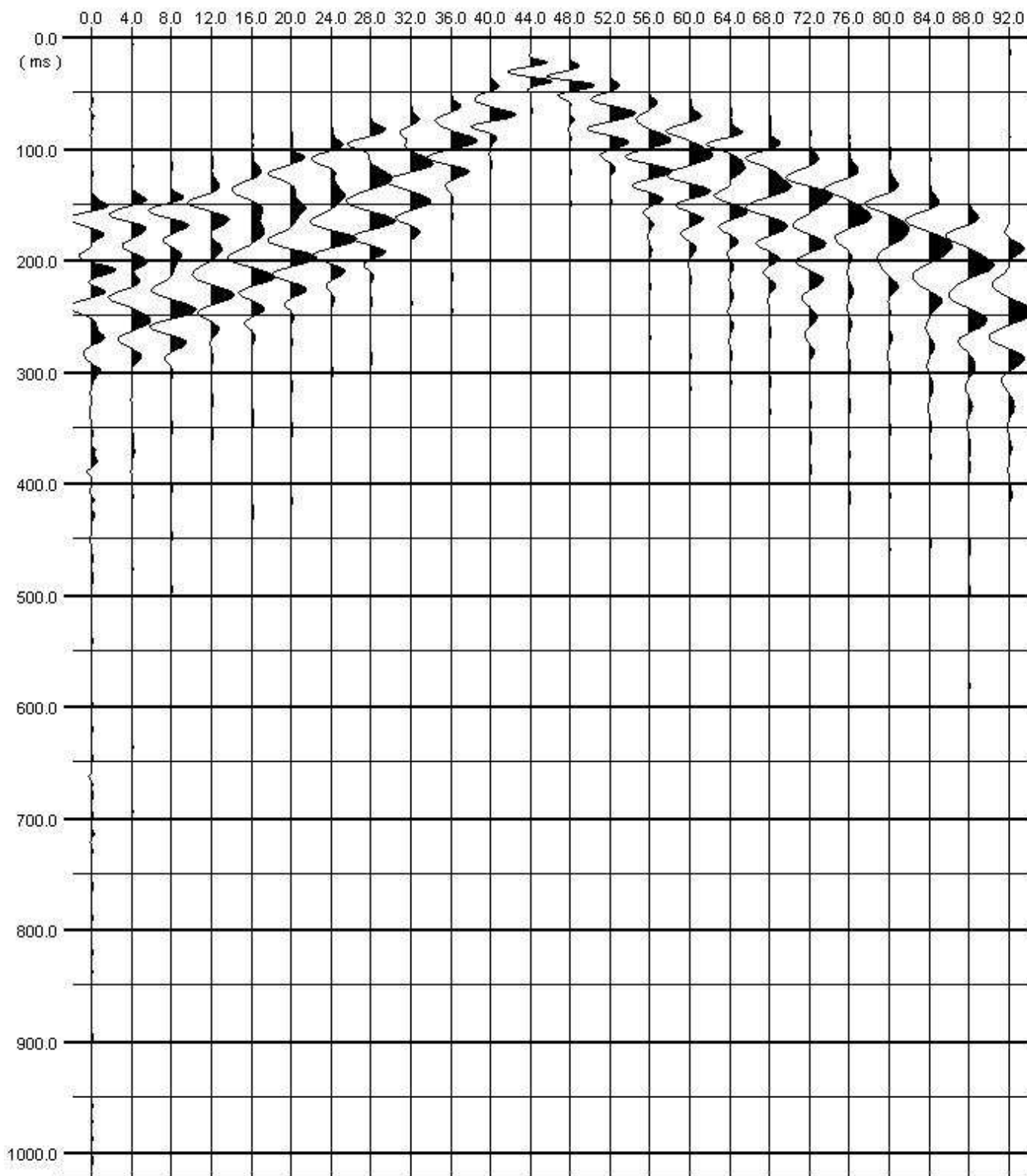


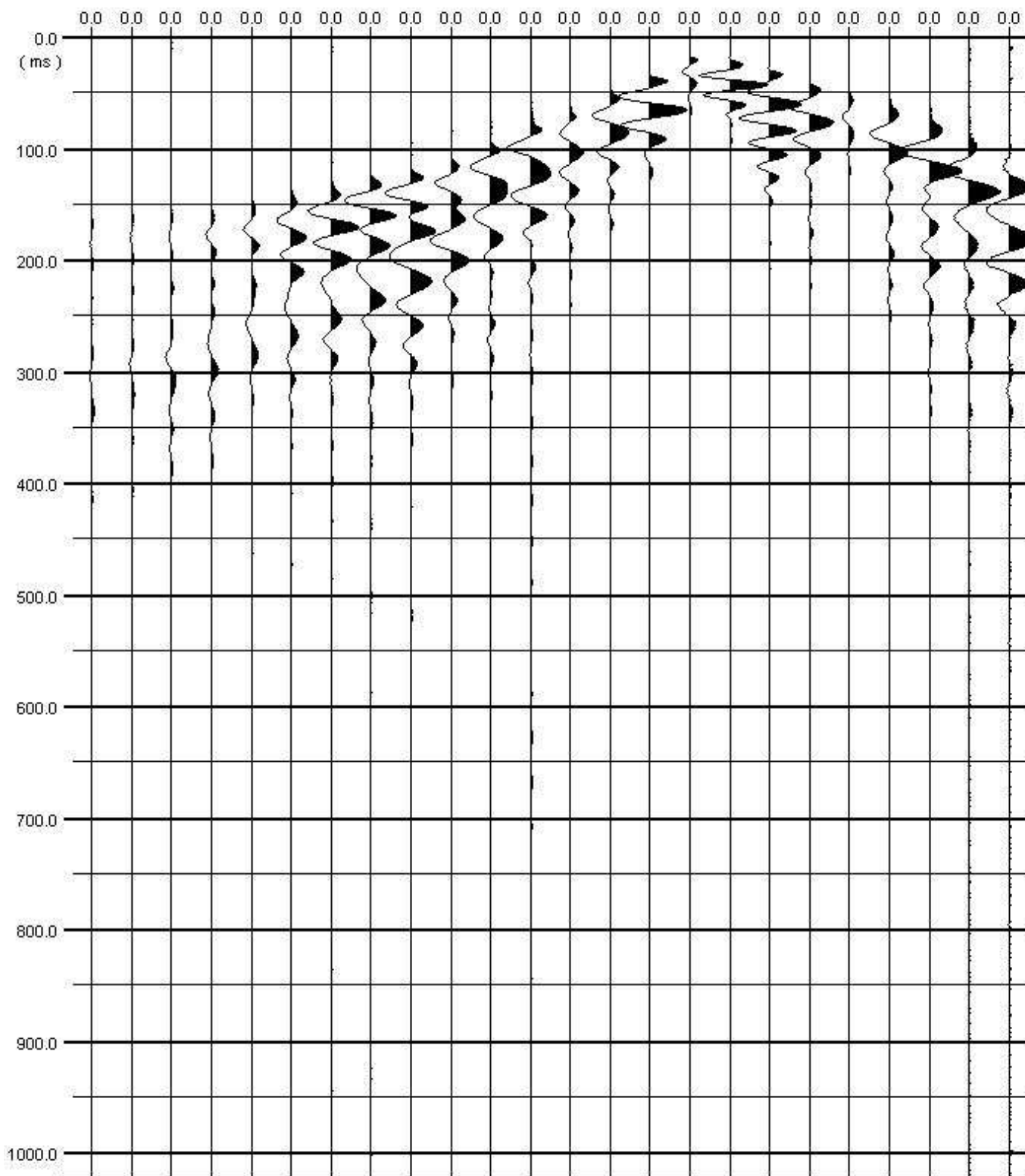


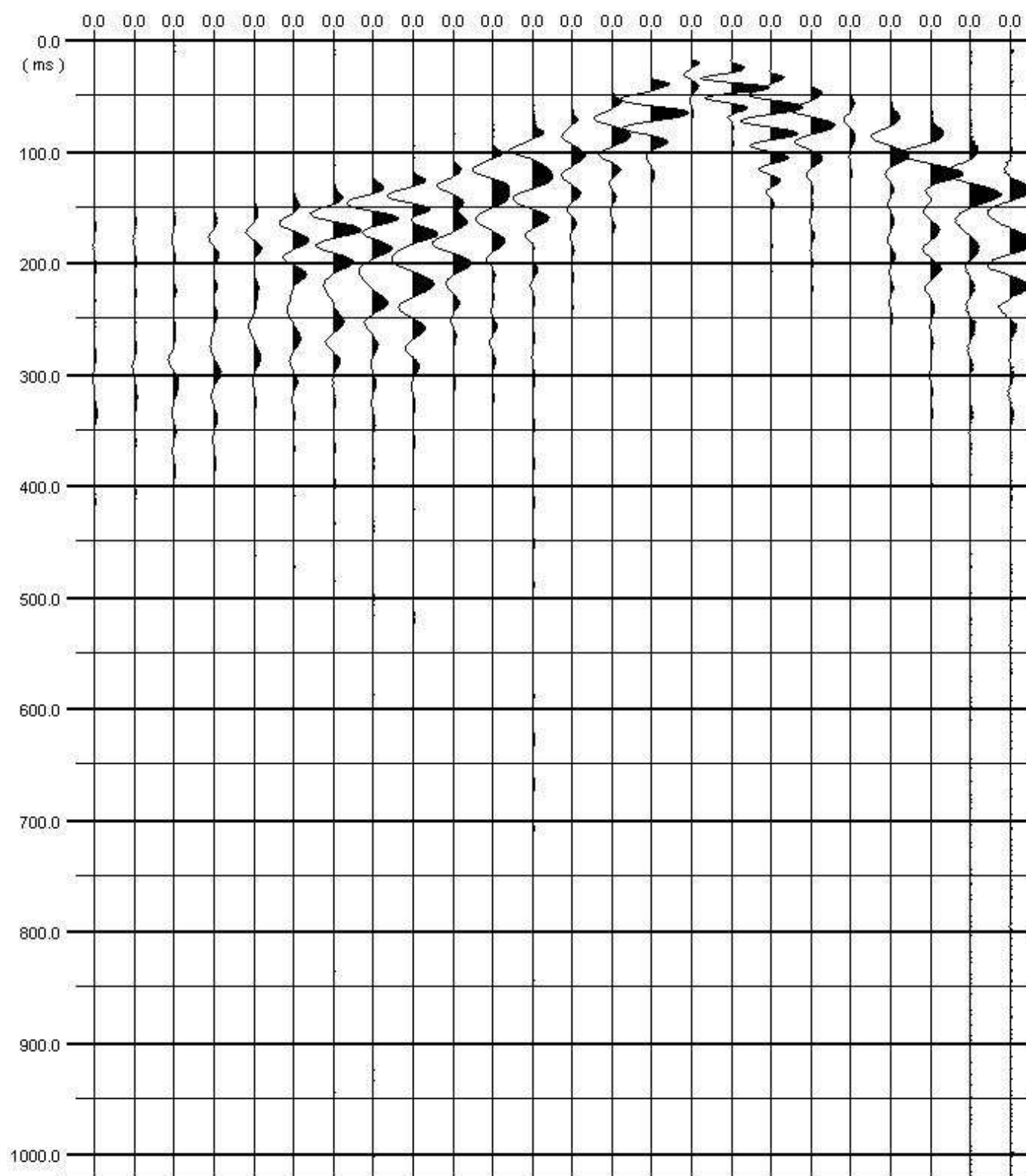


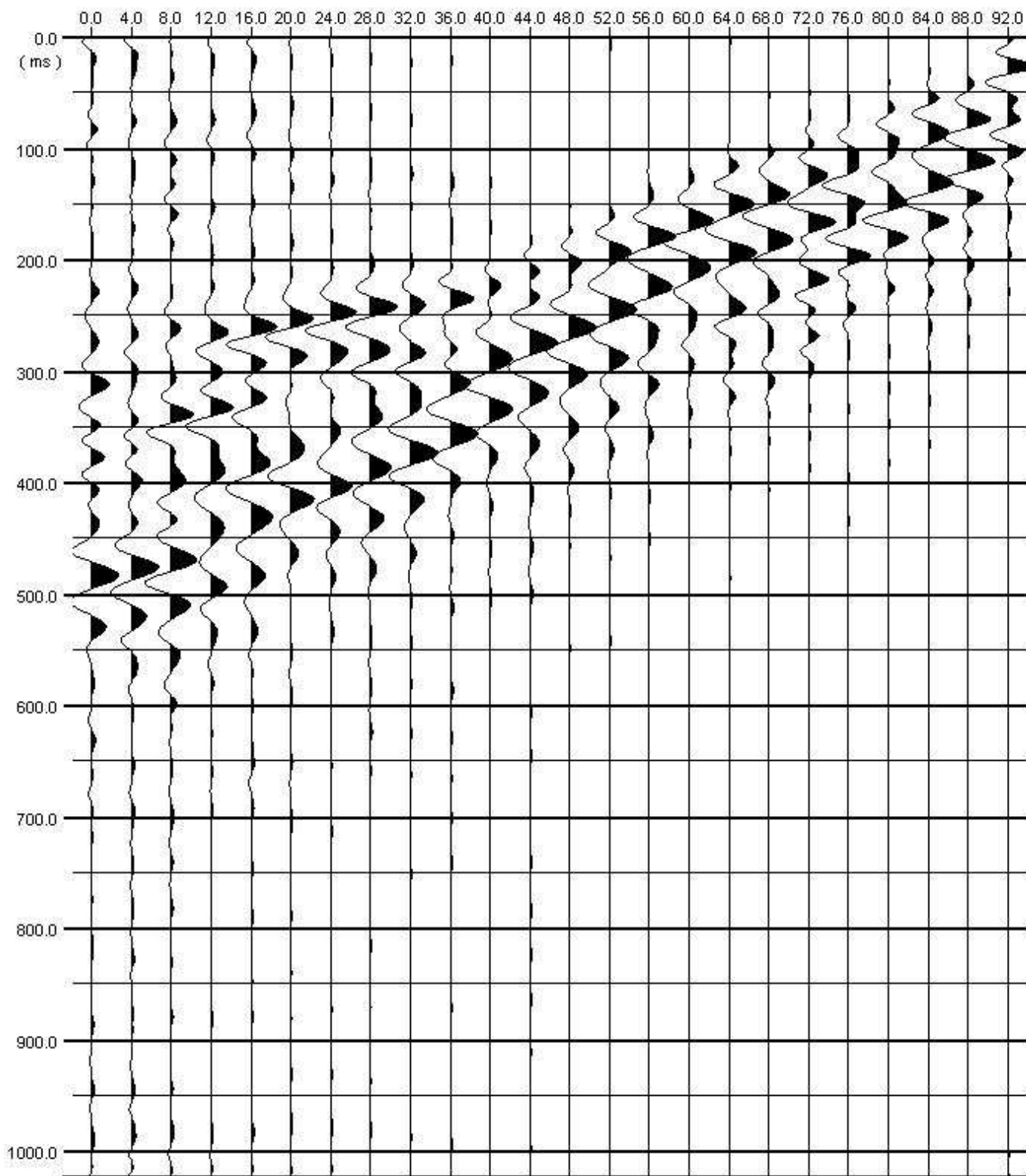












28 SCUOLA 1

Strumento: TRZ-0135/01-11

Inizio registrazione: 01/01/00 14:23:01 Fine registrazione: 01/01/00 14:43:02

Nomi canali: NORTH SOUTH; EAST WEST ; UP DOWN

Dato GPS non disponibile

Durata registrazione: 0h20'00".

Analizzato 57% tracciato (selezione manuale)

Freq. campionamento: 128 Hz

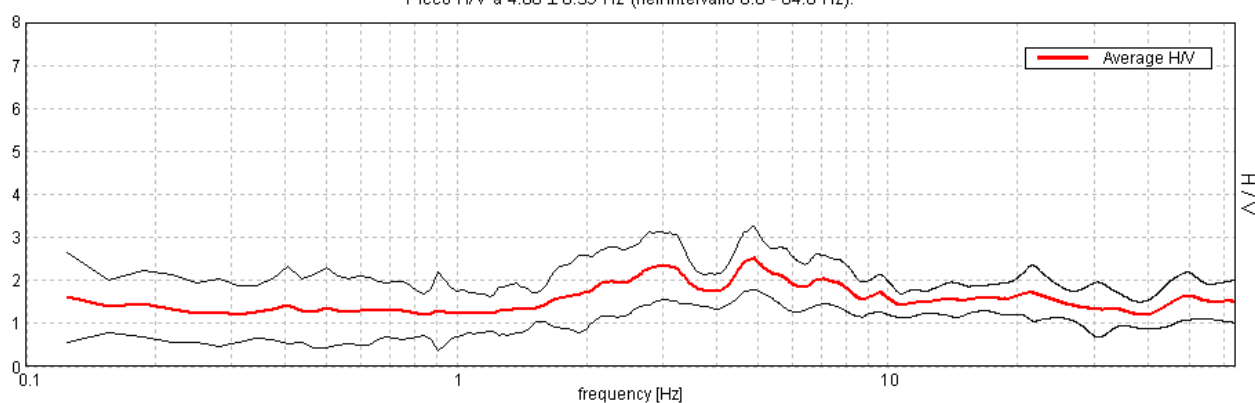
Lunghezza finestre: 20 s

Tipo di lisciamento: Triangular window

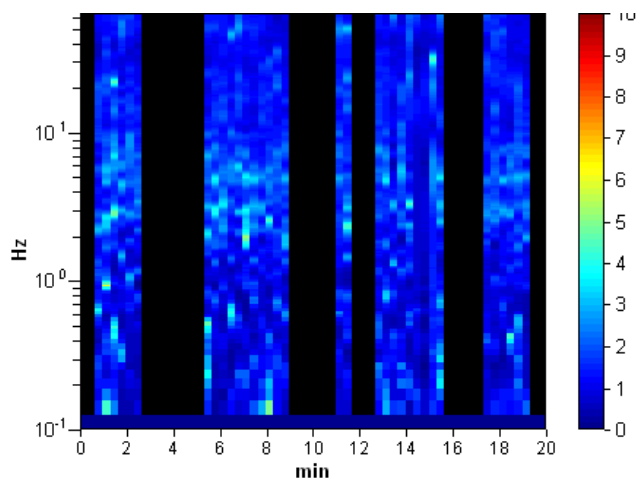
Lisciamento: 10%

RAPPORTO SPETTRALE ORIZZONTALE SU VERTICALE

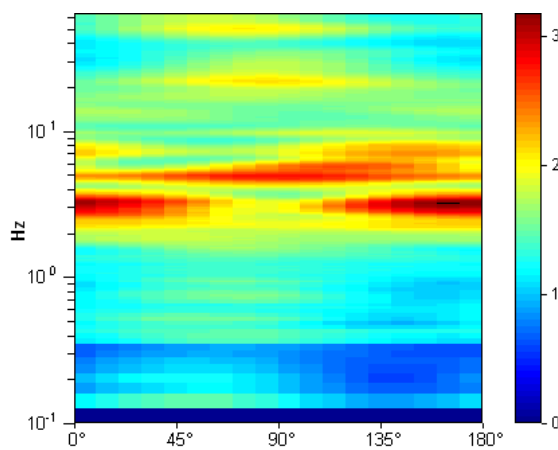
Picco H/V a 4.88 ± 0.59 Hz (nell'intervallo 0.0 - 64.0 Hz).



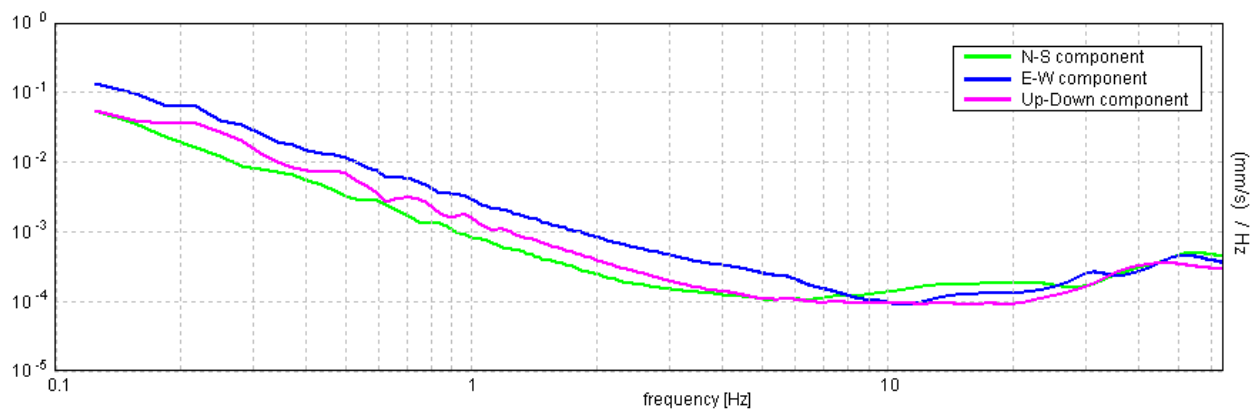
SERIE TEMPORALE H/V



DIREZIONALITA' H/V

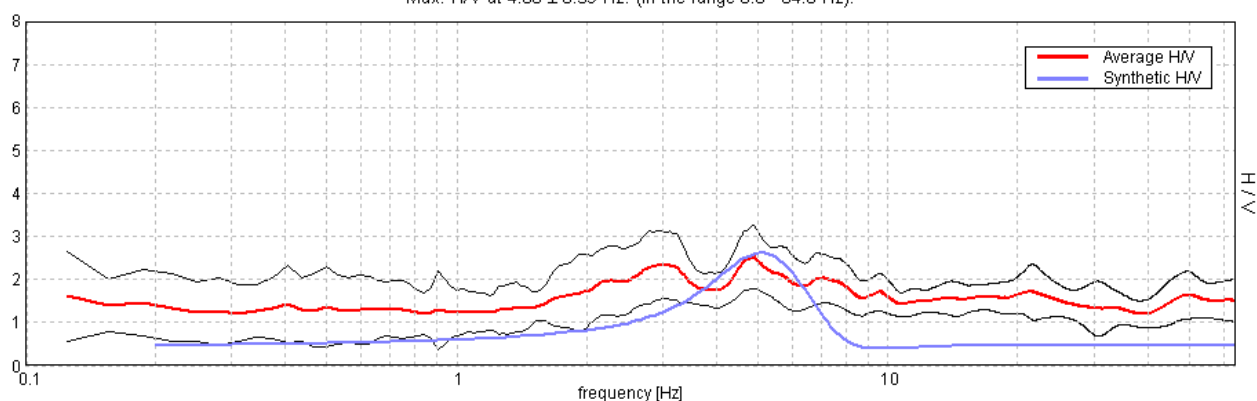


SPETTRI DELLE SINGOLE COMPONENTI



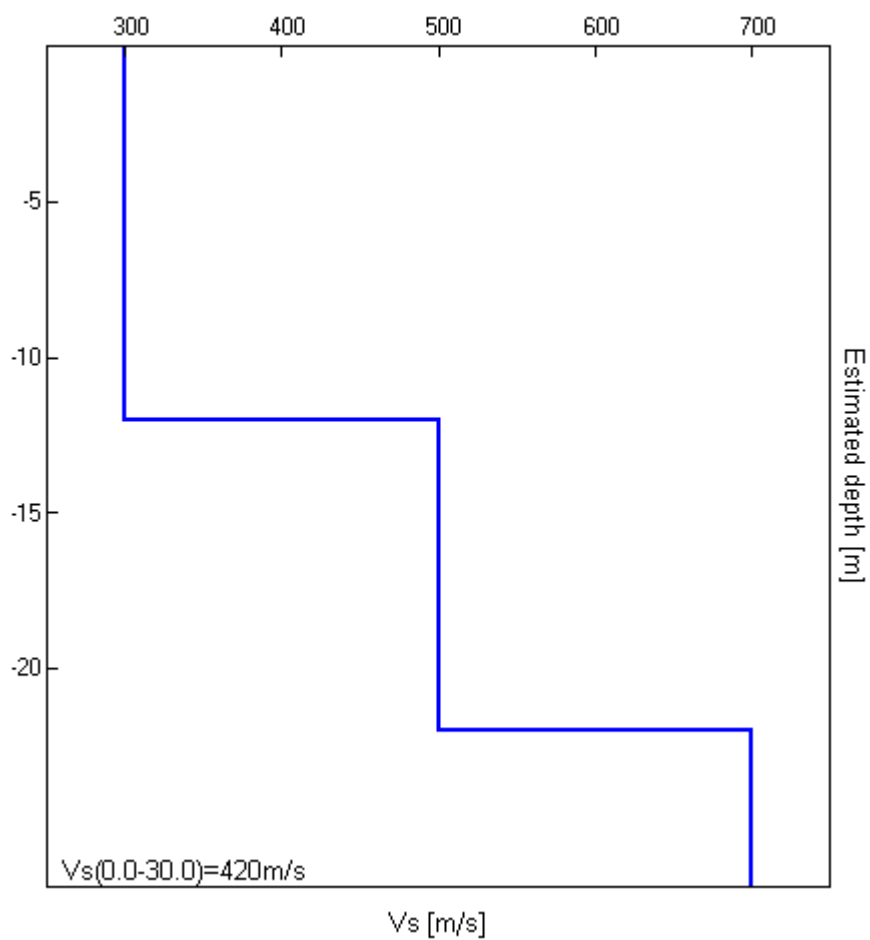
H/V SPERIMENTALE vs. H/V SINTETICO

Max. H/V at 4.88 ± 0.59 Hz. (In the range 0.0 - 64.0 Hz).



Profondità alla base dello strato [m]	Spessore [m]	Vs [m/s]	Rapporto di Poisson
12.00	12.00	300	0.35
22.00	10.00	500	0.35
inf.	inf.	700	0.35

$V_s(0.0-30.0)=420\text{m/s}$



[Secondo le linee guida SESAME, 2005. **Si raccomanda di leggere attentamente il manuale di Grilla prima di interpretare la tabella seguente**].

Picco H/V a 4.88 ± 0.59 Hz (nell'intervallo 0.0 - 64.0 Hz).

Criteri per una curva H/V affidabile

[Tutti 3 dovrebbero risultare soddisfatti]

$f_0 > 10 / L_w$	$4.88 > 0.50$	OK	
$n_c(f_0) > 200$	$3315.0 > 200$	OK	
$\sigma_A(f) < 2$ per $0.5f_0 < f < 2f_0$ se $f_0 > 0.5\text{Hz}$ $\sigma_A(f) < 3$ per $0.5f_0 < f < 2f_0$ se $f_0 < 0.5\text{Hz}$	Superato 0 volte su 235	OK	

Criteri per un picco H/V chiaro

[Almeno 5 su 6 dovrebbero essere soddisfatti]

Esiste f^- in $[f_0/4, f_0]$ $A_{H/V}(f^-) < A_0 / 2$	1.219 Hz	OK	
Esiste f^+ in $[f_0, 4f_0]$ $A_{H/V}(f^+) < A_0 / 2$			NO
$A_0 > 2$	$2.52 > 2$	OK	
$f_{\text{picco}}[A_{H/V}(f) \pm \sigma_A(f)] = f_0 \pm 5\%$	$ 0.05891 < 0.05$		NO
$\sigma_f < \varepsilon(f_0)$	$0.28719 < 0.24375$		NO
$\sigma_A(f_0) < \theta(f_0)$	$0.3535 < 1.58$	OK	

L_w	lunghezza della finestra
n_w	numero di finestre usate nell'analisi
$n_c = L_w n_w f_0$	numero di cicli significativi
f	frequenza attuale
f_0	frequenza del picco H/V
σ_f	deviazione standard della frequenza del picco H/V
$\varepsilon(f_0)$	valore di soglia per la condizione di stabilità $\sigma_f < \varepsilon(f_0)$
A_0	ampiezza della curva H/V alla frequenza f_0
$A_{H/V}(f)$	ampiezza della curva H/V alla frequenza f
f^-	frequenza tra $f_0/4$ e f_0 alla quale $A_{H/V}(f^-) < A_0/2$
f^+	frequenza tra f_0 e $4f_0$ alla quale $A_{H/V}(f^+) < A_0/2$
$\sigma_A(f)$	deviazione standard di $A_{H/V}(f)$, $\sigma_A(f)$ è il fattore per il quale la curva $A_{H/V}(f)$ media deve essere moltiplicata o divisa
$\sigma_{\log H/V}(f)$	deviazione standard della funzione $\log A_{H/V}(f)$
$\theta(f_0)$	valore di soglia per la condizione di stabilità $\sigma_A(f) < \theta(f_0)$

Valori di soglia per σ_f e $\sigma_A(f_0)$

Intervallo di freq. [Hz]	< 0.2	0.2 – 0.5	0.5 – 1.0	1.0 – 2.0	> 2.0
$\varepsilon(f_0)$ [Hz]	$0.25 f_0$	$0.2 f_0$	$0.15 f_0$	$0.10 f_0$	$0.05 f_0$
$\theta(f_0)$ per $\sigma_A(f_0)$	3.0	2.5	2.0	1.78	1.58
$\log \theta(f_0)$ per $\sigma_{\log H/V}(f_0)$	0.48	0.40	0.30	0.25	0.20

chitignano 29

Strumento: TRZ-0135/01-11

Inizio registrazione: 01/01/00 12:43:14 Fine registrazione: 01/01/00 13:05:14

Nomi canali: NORTH SOUTH; EAST WEST ; UP DOWN

Dato GPS non disponibile

Durata registrazione: 0h22'00".

Analizzato 71% tracciato (selezione manuale)

Freq. campionamento: 128 Hz

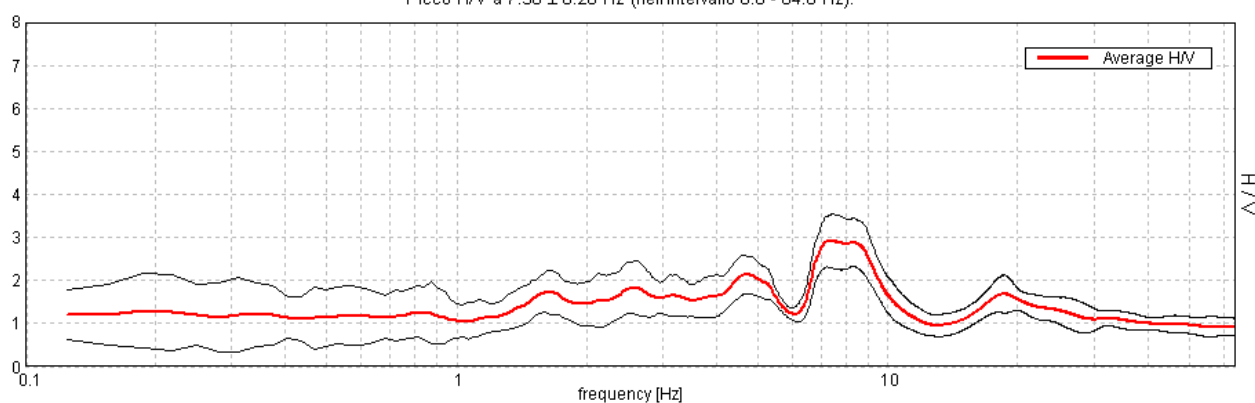
Lunghezza finestre: 20 s

Tipo di lisciamento: Triangular window

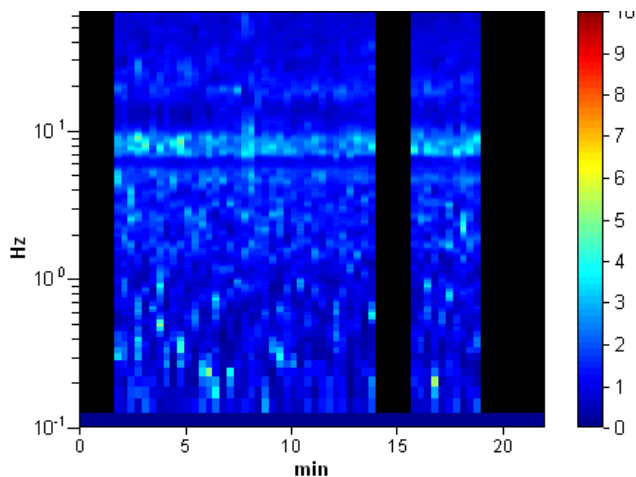
Lisciamento: 10%

RAPPORTO SPETTRALE ORIZZONTALE SU VERTICALE

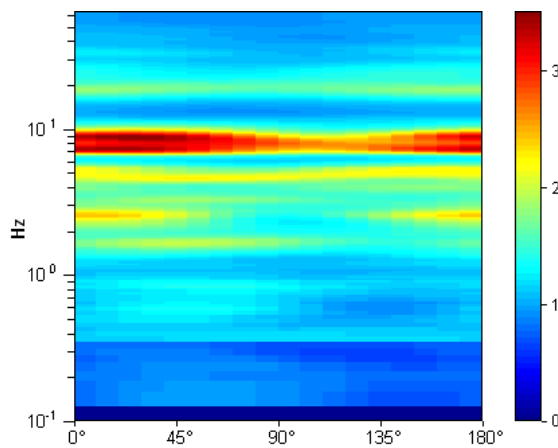
Picco H/V a 7.38 ± 0.28 Hz (nell'intervallo 0.0 - 64.0 Hz).



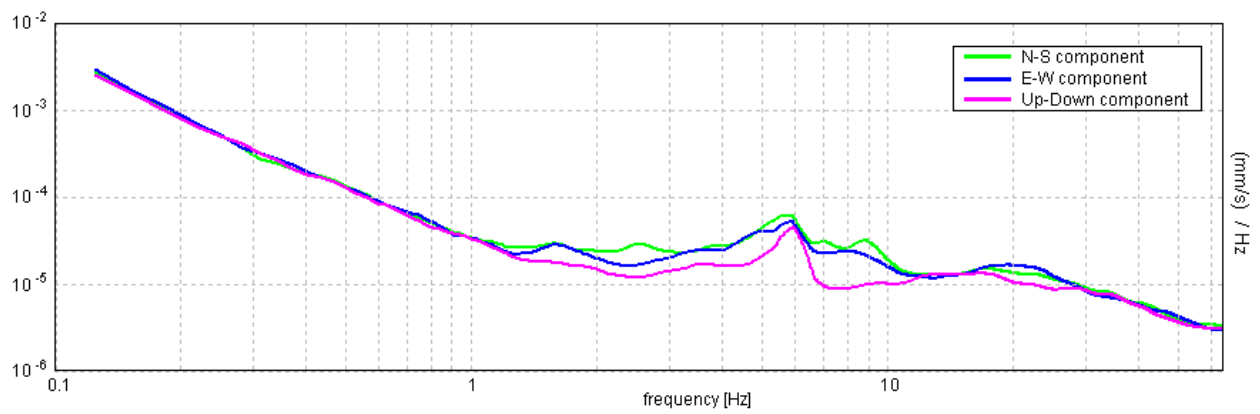
SERIE TEMPORALE H/V



DIREZIONALITA' H/V

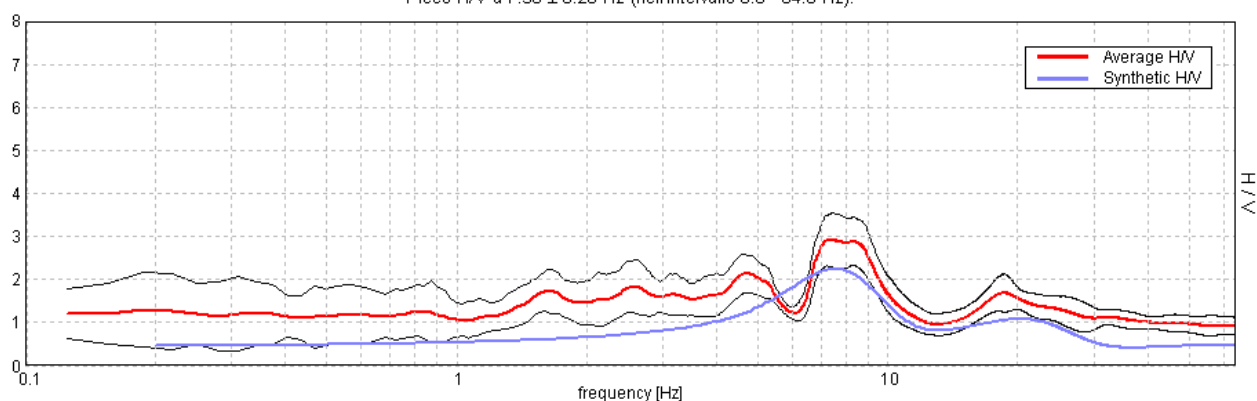


SPETTRI DELLE SINGOLE COMPONENTI



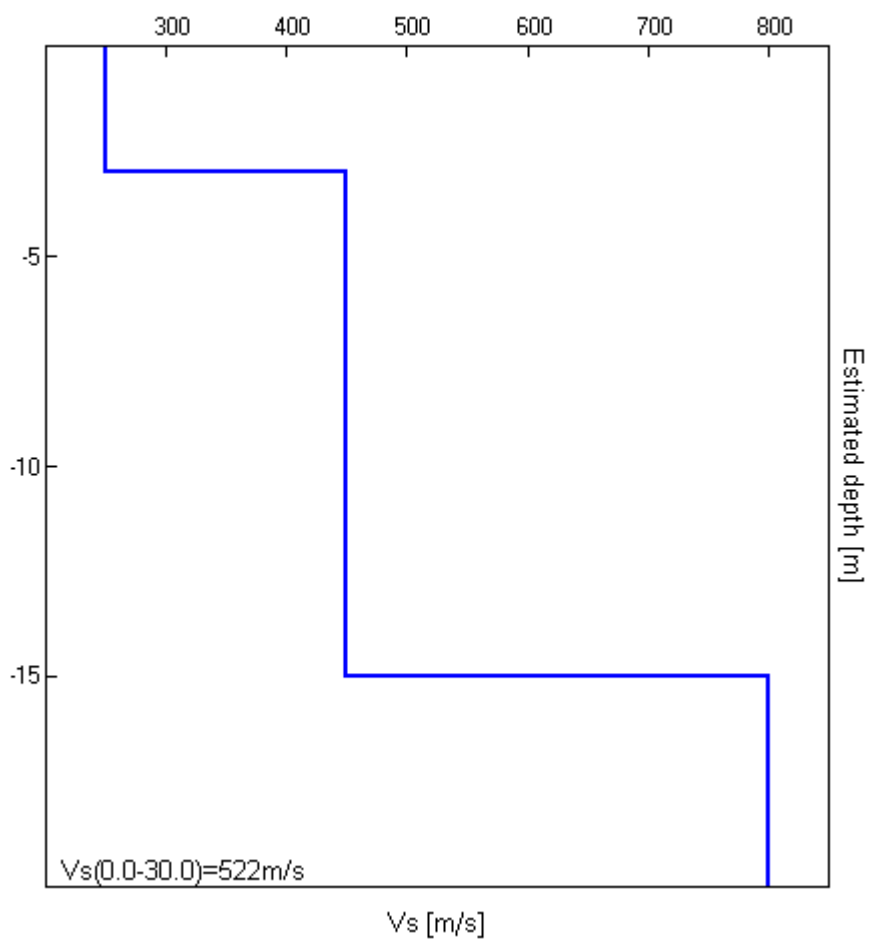
H/V SPERIMENTALE vs. H/V SINTETICO

Picco H/V a 7.38 ± 0.28 Hz (nell'intervallo 0.0 - 64.0 Hz).



Profondità alla base dello strato [m]	Spessore [m]	Vs [m/s]	Rapporto di Poisson
3.00	3.00	250	0.35
15.00	12.00	450	0.35
inf.	inf.	800	0.35

$V_s(0.0-30.0)=522\text{m/s}$



[Secondo le linee guida SESAME, 2005. Si raccomanda di leggere attentamente il manuale di *Grilla* prima di interpretare la tabella seguente].

Picco H/V a 7.38 ± 0.28 Hz (nell'intervallo 0.0 - 64.0 Hz).

Criteri per una curva H/V affidabile

[Tutti 3 dovrebbero risultare soddisfatti]

$f_0 > 10 / L_w$	$7.38 > 0.50$	OK	
$n_c(f_0) > 200$	$6932.5 > 200$	OK	
$\sigma_A(f) < 2$ per $0.5f_0 < f < 2f_0$ se $f_0 > 0.5\text{Hz}$ $\sigma_A(f) < 3$ per $0.5f_0 < f < 2f_0$ se $f_0 < 0.5\text{Hz}$	Superato 0 volte su 355	OK	

Criteri per un picco H/V chiaro

[Almeno 5 su 6 dovrebbero essere soddisfatti]

Esiste f^- in $[f_0/4, f_0]$ $A_{H/V}(f^-) < A_0 / 2$	6.406 Hz	OK	
Esiste f^+ in $[f_0, 4f_0]$ $A_{H/V}(f^+) < A_0 / 2$	10.438 Hz	OK	
$A_0 > 2$	$2.91 > 2$	OK	
$f_{\text{picco}}[A_{H/V}(f) \pm \sigma_A(f)] = f_0 \pm 5\%$	$ 0.01834 < 0.05$	OK	
$\sigma_f < \varepsilon(f_0)$	$0.13528 < 0.36875$	OK	
$\sigma_A(f_0) < \theta(f_0)$	$0.304 < 1.58$	OK	

L_w	lunghezza della finestra
n_w	numero di finestre usate nell'analisi
$n_c = L_w n_w f_0$	numero di cicli significativi
f	frequenza attuale
f_0	frequenza del picco H/V
σ_f	deviazione standard della frequenza del picco H/V
$\varepsilon(f_0)$	valore di soglia per la condizione di stabilità $\sigma_f < \varepsilon(f_0)$
A_0	ampiezza della curva H/V alla frequenza f_0
$A_{H/V}(f)$	ampiezza della curva H/V alla frequenza f
f^-	frequenza tra $f_0/4$ e f_0 alla quale $A_{H/V}(f^-) < A_0/2$
f^+	frequenza tra f_0 e $4f_0$ alla quale $A_{H/V}(f^+) < A_0/2$
$\sigma_A(f)$	deviazione standard di $A_{H/V}(f)$, $\sigma_A(f)$ è il fattore per il quale la curva $A_{H/V}(f)$ media deve essere moltiplicata o divisa
$\sigma_{\log H/V}(f)$	deviazione standard della funzione $\log A_{H/V}(f)$
$\theta(f_0)$	valore di soglia per la condizione di stabilità $\sigma_A(f) < \theta(f_0)$

Valori di soglia per σ_f e $\sigma_A(f_0)$

Intervallo di freq. [Hz]	< 0.2	0.2 – 0.5	0.5 – 1.0	1.0 – 2.0	> 2.0
$\varepsilon(f_0)$ [Hz]	$0.25 f_0$	$0.2 f_0$	$0.15 f_0$	$0.10 f_0$	$0.05 f_0$
$\theta(f_0)$ per $\sigma_A(f_0)$	3.0	2.5	2.0	1.78	1.58
$\log \theta(f_0)$ per $\sigma_{\log H/V}(f_0)$	0.48	0.40	0.30	0.25	0.20

Chitignano 30

Strumento: TRZ-0135/01-11

Inizio registrazione: 01/01/00 13:11:29 Fine registrazione: 01/01/00 13:33:29

Nomi canali: NORTH SOUTH; EAST WEST ; UP DOWN

Dato GPS non disponibile

Durata registrazione: 0h22'00".

Analizzato 42% tracciato (selezione manuale)

Freq. campionamento: 128 Hz

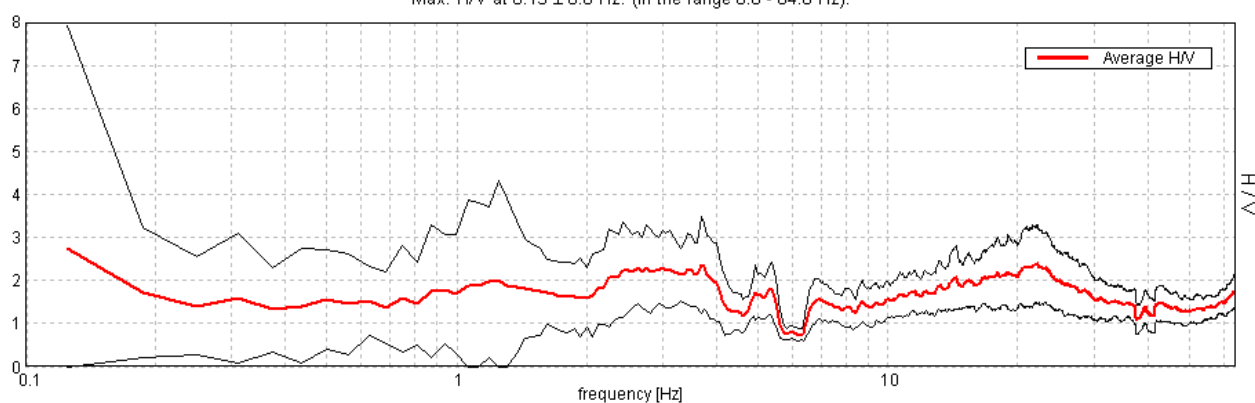
Lunghezza finestre: 10 s

Tipo di lisciamento: Cosine window

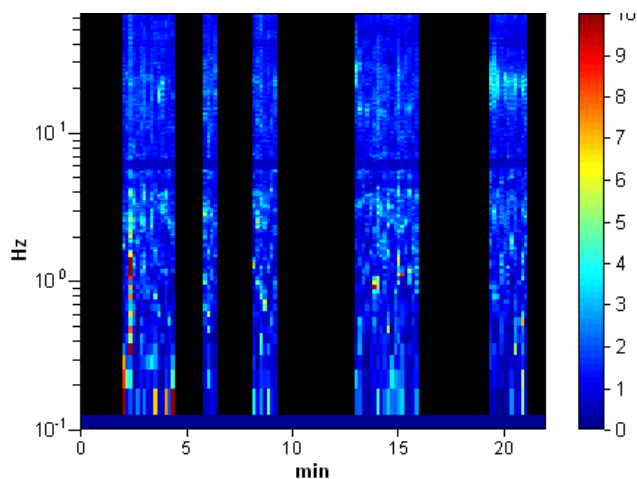
Lisciamento: 5%

RAPPORTO SPETTRALE ORIZZONTALE SU VERTICALE

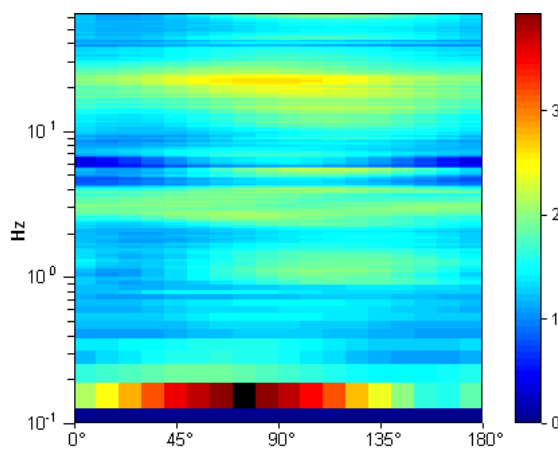
Max. H/V at 0.13 ± 0.0 Hz. (In the range 0.0 - 64.0 Hz).



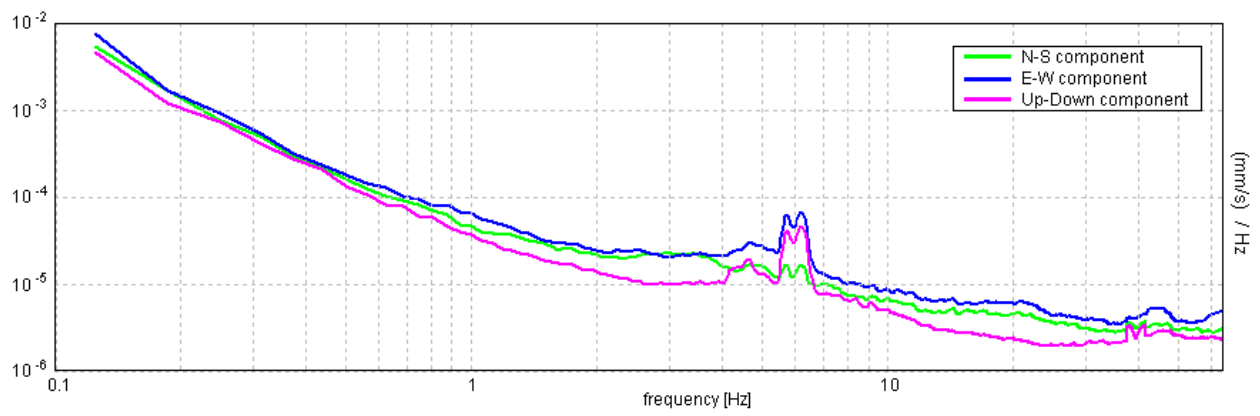
SERIE TEMPORALE H/V



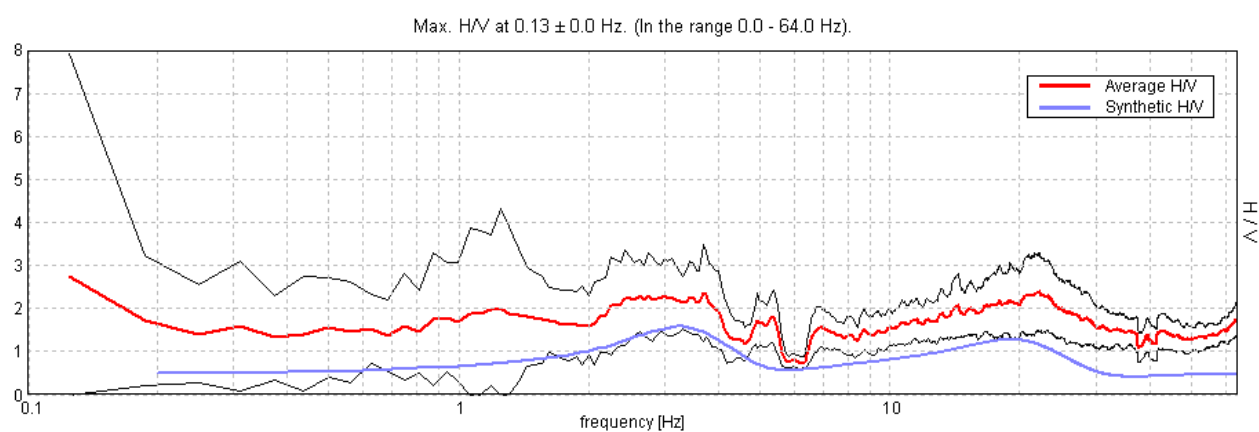
DIREZIONALITA' H/V



SPETTRI DELLE SINGOLE COMPONENTI

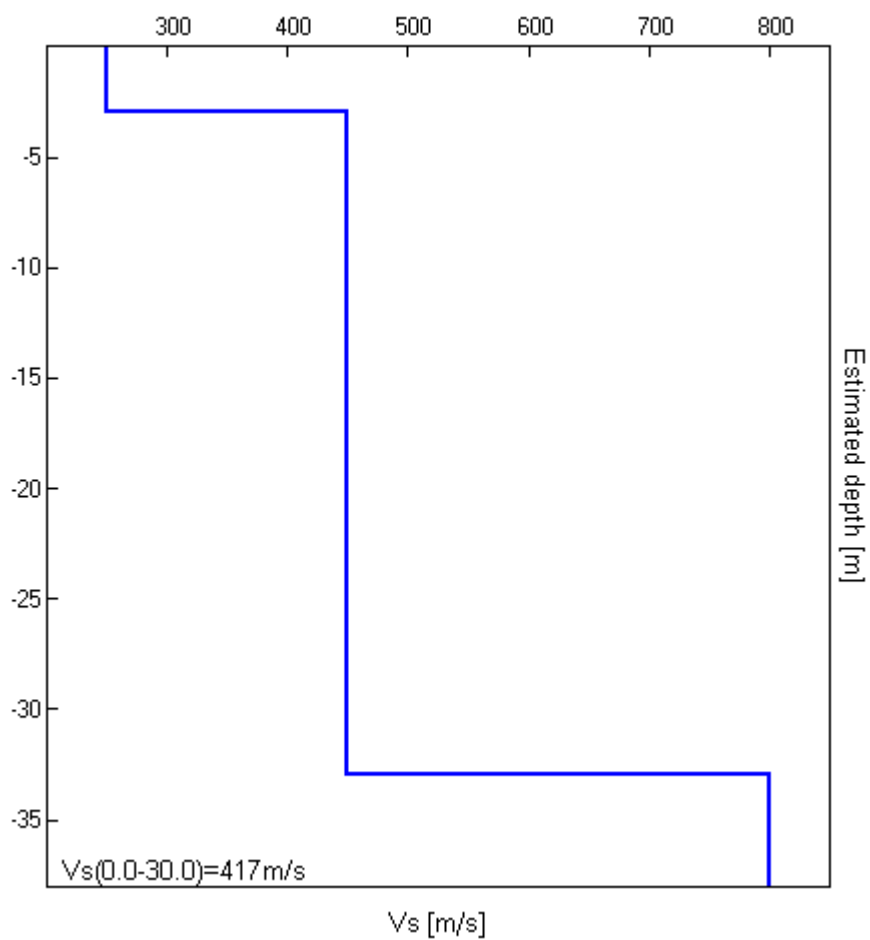


H/V SPERIMENTALE vs. H/V SINTETICO



Profondità alla base dello strato [m]	Spessore [m]	Vs [m/s]	Rapporto di Poisson
3.00	3.00	250	0.35
33.00	30.00	450	0.35
inf.	inf.	800	0.35

$V_s(0.0-30.0)=417\text{m/s}$



[Secondo le linee guida SESAME, 2005. **Si raccomanda di leggere attentamente il manuale di Grilla prima di interpretare la tabella seguente**].

Picco H/V a 0.13 ± 0.0 Hz (nell'intervallo 0.0 - 64.0 Hz).

Criteri per una curva H/V affidabile

[Tutti 3 dovrebbero risultare soddisfatti]

$f_0 > 10 / L_w$	$0.13 > 1.00$		NO
$n_c(f_0) > 200$	$68.8 > 200$		NO
$\sigma_A(f) < 2$ per $0.5f_0 < f < 2f_0$ se $f_0 > 0.5\text{Hz}$ $\sigma_A(f) < 3$ per $0.5f_0 < f < 2f_0$ se $f_0 < 0.5\text{Hz}$	Superato 1 volte su 4		NO

Criteri per un picco H/V chiaro

[Almeno 5 su 6 dovrebbero essere soddisfatti]

Esiste f^- in $[f_0/4, f_0]$ $A_{H/V}(f^-) < A_0 / 2$	0.063 Hz	OK	
Esiste f^+ in $[f_0, 4f_0]$ $A_{H/V}(f^+) < A_0 / 2$	0.375 Hz	OK	
$A_0 > 2$	$2.73 > 2$	OK	
$f_{\text{picco}}[A_{H/V}(f) \pm \sigma_A(f)] = f_0 \pm 5\%$	$ 0.0 < 0.05$	OK	
$\sigma_f < \varepsilon(f_0)$	$0.0 < 0.03125$	OK	
$\sigma_A(f_0) < \theta(f_0)$	$2.561 < 3.0$	OK	

L_w	lunghezza della finestra
n_w	numero di finestre usate nell'analisi
$n_c = L_w n_w f_0$	numero di cicli significativi
f	frequenza attuale
f_0	frequenza del picco H/V
σ_f	deviazione standard della frequenza del picco H/V
$\varepsilon(f_0)$	valore di soglia per la condizione di stabilità $\sigma_f < \varepsilon(f_0)$
A_0	ampiezza della curva H/V alla frequenza f_0
$A_{H/V}(f)$	ampiezza della curva H/V alla frequenza f
f^-	frequenza tra $f_0/4$ e f_0 alla quale $A_{H/V}(f^-) < A_0/2$
f^+	frequenza tra f_0 e $4f_0$ alla quale $A_{H/V}(f^+) < A_0/2$
$\sigma_A(f)$	deviazione standard di $A_{H/V}(f)$, $\sigma_A(f)$ è il fattore per il quale la curva $A_{H/V}(f)$ media deve essere moltiplicata o divisa
$\sigma_{\log H/V}(f)$	deviazione standard della funzione $\log A_{H/V}(f)$
$\theta(f_0)$	valore di soglia per la condizione di stabilità $\sigma_A(f) < \theta(f_0)$

Valori di soglia per σ_f e $\sigma_A(f_0)$

Intervallo di freq. [Hz]	< 0.2	0.2 – 0.5	0.5 – 1.0	1.0 – 2.0	> 2.0
$\varepsilon(f_0)$ [Hz]	$0.25 f_0$	$0.2 f_0$	$0.15 f_0$	$0.10 f_0$	$0.05 f_0$
$\theta(f_0)$ per $\sigma_A(f_0)$	3.0	2.5	2.0	1.78	1.58
$\log \theta(f_0)$ per $\sigma_{\log H/V}(f_0)$	0.48	0.40	0.30	0.25	0.20

CHITIGNANO 31

Strumento: TRZ-0135/01-11

Inizio registrazione: 01/01/00 13:45:42 Fine registrazione: 01/01/00 14:07:42

Nomi canali: NORTH SOUTH; EAST WEST; UP DOWN

Dato GPS non disponibile

Durata registrazione: 0h22'00".

Analizzato 85% tracciato (selezione manuale)

Freq. campionamento: 128 Hz

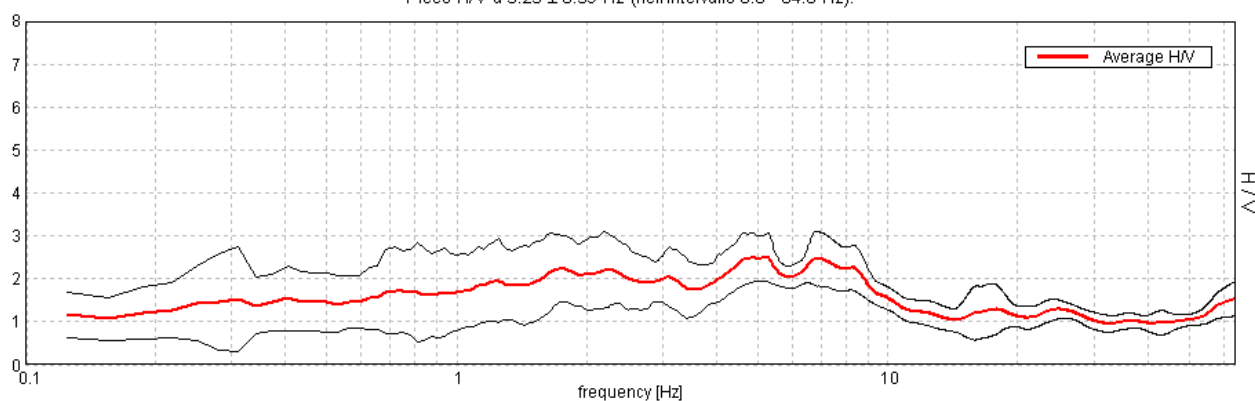
Lunghezza finestre: 20 s

Tipo di lisciamento: Triangular window

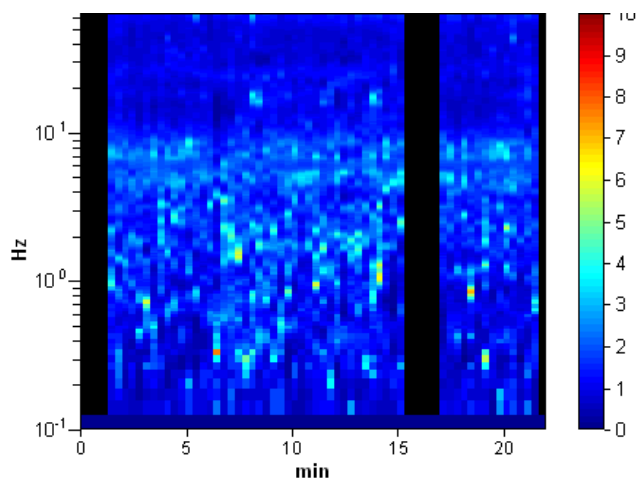
Lisciamento: 10%

RAPPORTO SPETTRALE ORIZZONTALE SU VERTICALE

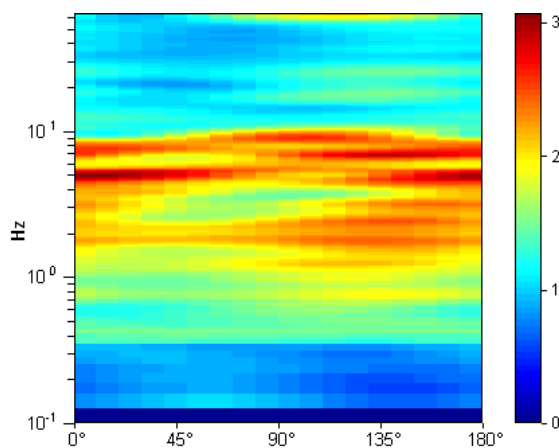
Picco H/V a 5.25 ± 0.39 Hz (nell'intervallo 0.0 - 64.0 Hz).



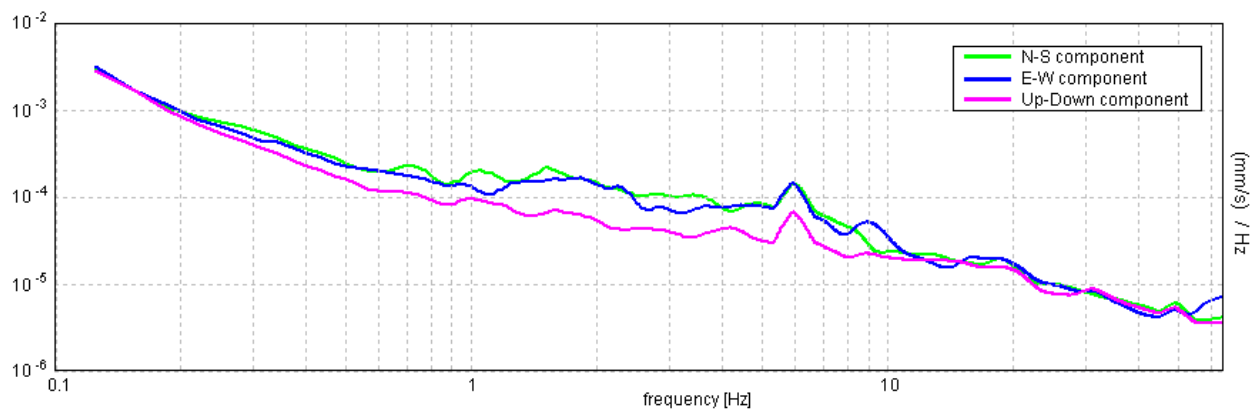
SERIE TEMPORALE H/V



DIREZIONALITA' H/V

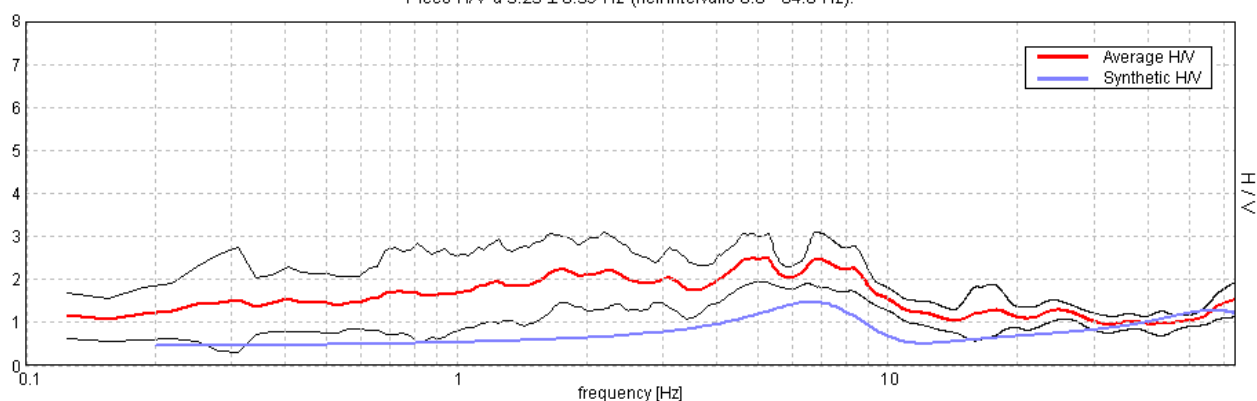


SPETTRI DELLE SINGOLE COMPONENTI



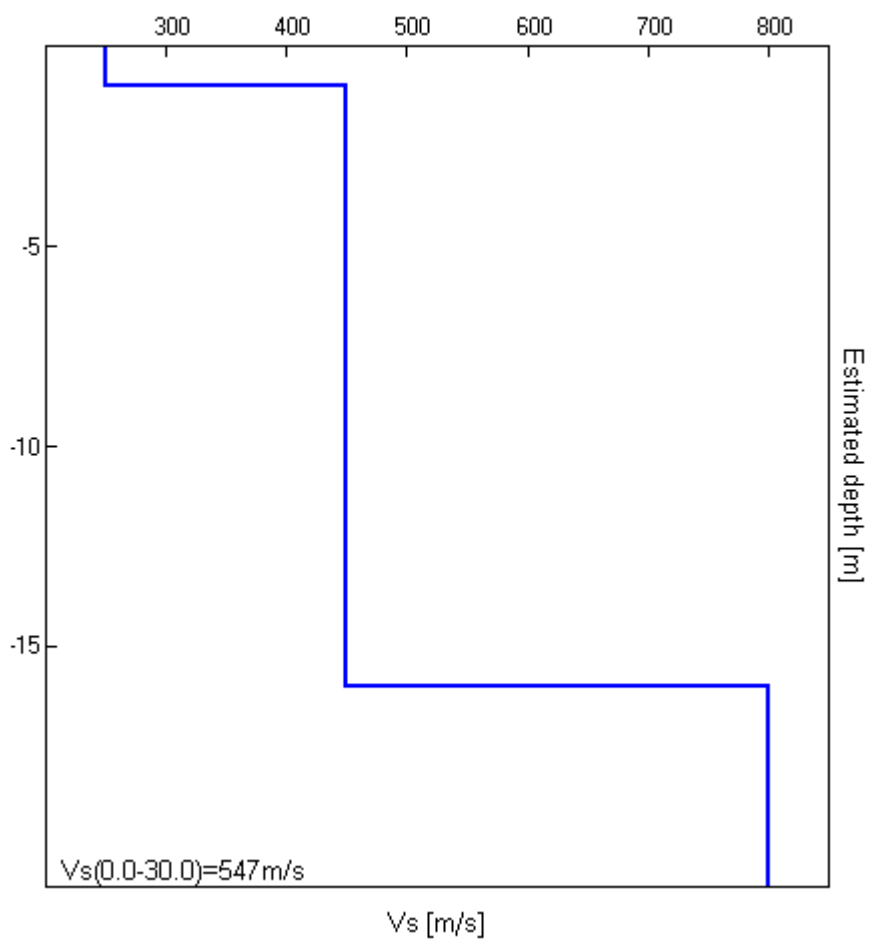
H/V SPERIMENTALE vs. H/V SINTETICO

Picco H/V a 5.25 ± 0.39 Hz (nell'intervallo 0.0 - 64.0 Hz).



Profondità alla base dello strato [m]	Spessore [m]	Vs [m/s]	Rapporto di Poisson
1.00	1.00	250	0.35
16.00	15.00	450	0.35
inf.	inf.	800	0.35

$V_s(0.0-30.0)=547\text{m/s}$



[Secondo le linee guida SESAME, 2005. Si raccomanda di leggere attentamente il manuale di *Grilla* prima di interpretare la tabella seguente].

Picco H/V a 5.25 ± 0.39 Hz (nell'intervallo 0.0 - 64.0 Hz).

Criteri per una curva H/V affidabile

[Tutti 3 dovrebbero risultare soddisfatti]

$f_0 > 10 / L_w$	$5.25 > 0.50$	OK	
$n_c(f_0) > 200$	$5880.0 > 200$	OK	
$\sigma_A(f) < 2$ per $0.5f_0 < f < 2f_0$ se $f_0 > 0.5\text{Hz}$ $\sigma_A(f) < 3$ per $0.5f_0 < f < 2f_0$ se $f_0 < 0.5\text{Hz}$	Superato 0 volte su 253	OK	

Criteri per un picco H/V chiaro

[Almeno 5 su 6 dovrebbero essere soddisfatti]

Esiste f^- in $[f_0/4, f_0]$ $A_{H/V}(f^-) < A_0 / 2$			NO
Esiste f^+ in $[f_0, 4f_0]$ $A_{H/V}(f^+) < A_0 / 2$	11.375 Hz	OK	
$A_0 > 2$	$2.49 > 2$	OK	
$f_{\text{picco}}[A_{H/V}(f) \pm \sigma_A(f)] = f_0 \pm 5\%$	$ 0.03666 < 0.05$	OK	
$\sigma_f < \varepsilon(f_0)$	$0.19245 < 0.2625$	OK	
$\sigma_A(f_0) < \theta(f_0)$	$0.2799 < 1.58$	OK	

L_w	lunghezza della finestra
n_w	numero di finestre usate nell'analisi
$n_c = L_w n_w f_0$	numero di cicli significativi
f	frequenza attuale
f_0	frequenza del picco H/V
σ_f	deviazione standard della frequenza del picco H/V
$\varepsilon(f_0)$	valore di soglia per la condizione di stabilità $\sigma_f < \varepsilon(f_0)$
A_0	ampiezza della curva H/V alla frequenza f_0
$A_{H/V}(f)$	ampiezza della curva H/V alla frequenza f
f^-	frequenza tra $f_0/4$ e f_0 alla quale $A_{H/V}(f^-) < A_0/2$
f^+	frequenza tra f_0 e $4f_0$ alla quale $A_{H/V}(f^+) < A_0/2$
$\sigma_A(f)$	deviazione standard di $A_{H/V}(f)$, $\sigma_A(f)$ è il fattore per il quale la curva $A_{H/V}(f)$ media deve essere moltiplicata o divisa
$\sigma_{\log H/V}(f)$	deviazione standard della funzione $\log A_{H/V}(f)$
$\theta(f_0)$	valore di soglia per la condizione di stabilità $\sigma_A(f) < \theta(f_0)$

Valori di soglia per σ_f e $\sigma_A(f_0)$

Intervallo di freq. [Hz]	< 0.2	0.2 – 0.5	0.5 – 1.0	1.0 – 2.0	> 2.0
$\varepsilon(f_0)$ [Hz]	$0.25 f_0$	$0.2 f_0$	$0.15 f_0$	$0.10 f_0$	$0.05 f_0$
$\theta(f_0)$ per $\sigma_A(f_0)$	3.0	2.5	2.0	1.78	1.58
$\log \theta(f_0)$ per $\sigma_{\log H/V}(f_0)$	0.48	0.40	0.30	0.25	0.20

32

Strumento: TRZ-0135/01-11

Inizio registrazione: 03/01/00 12:29:36 Fine registrazione: 03/01/00 12:51:36

Nomi canali: NORTH SOUTH; EAST WEST ; UP DOWN

Dato GPS non disponibile

Durata registrazione: 0h22'00".

Analisi effettuata sull'intera traccia.

Freq. campionamento: 128 Hz

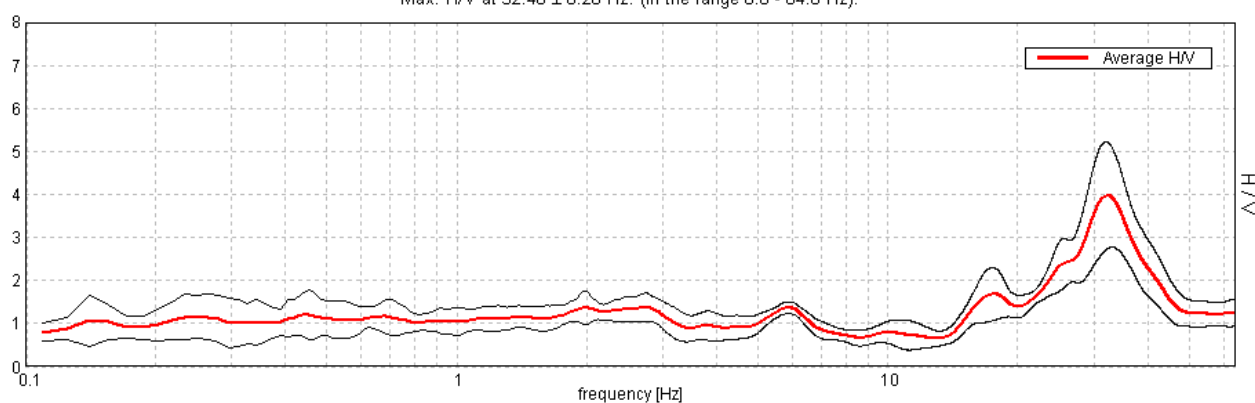
Lunghezza finestre: 60 s

Tipo di lisciamento: Triangular window

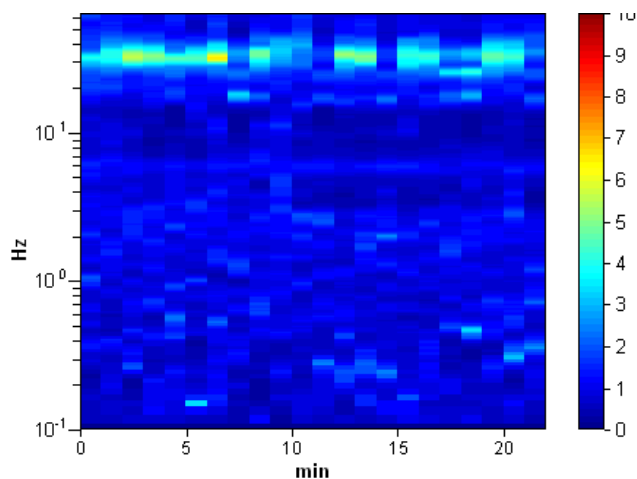
Lisciamento: 10%

RAPPORTO SPETTRALE ORIZZONTALE SU VERTICALE

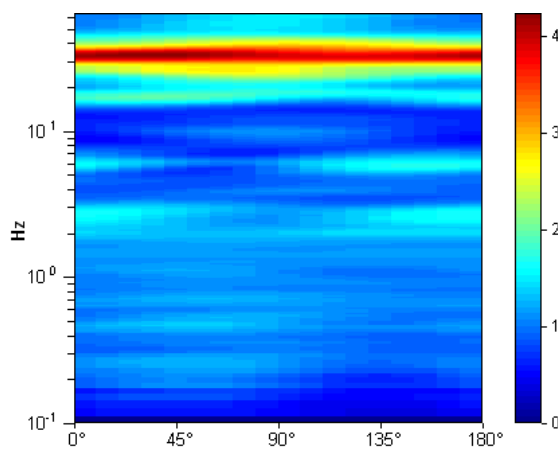
Max. H/V at 32.48 ± 0.26 Hz. (In the range 0.0 - 64.0 Hz).



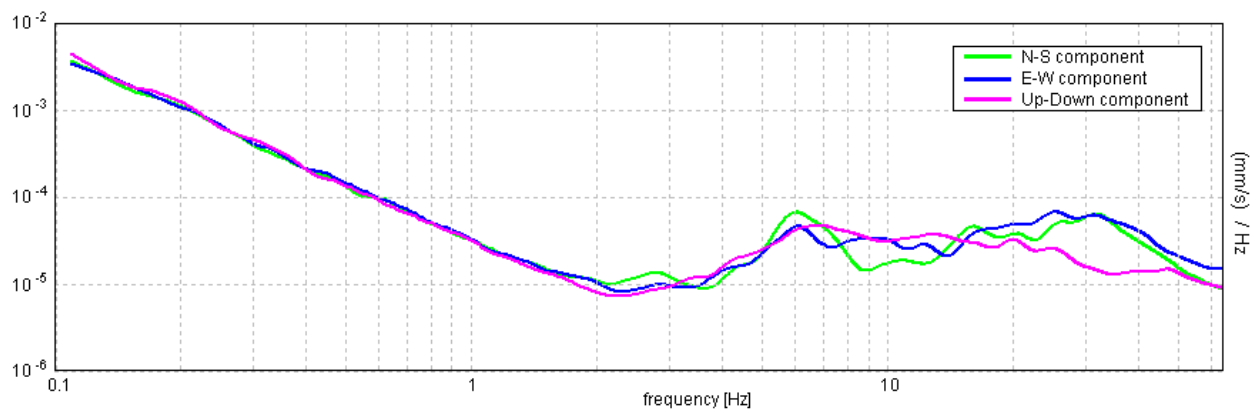
SERIE TEMPORALE H/V



DIREZIONALITA' H/V

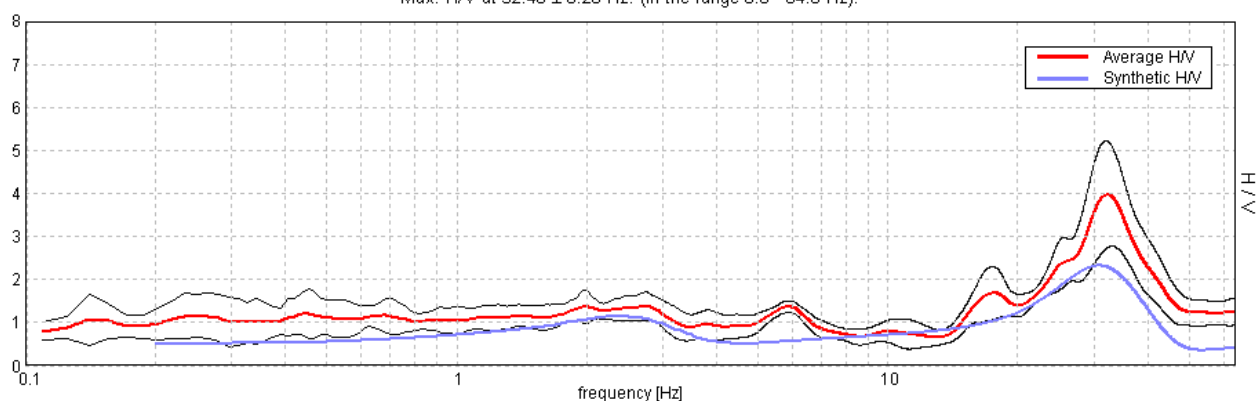


SPETTRI DELLE SINGOLE COMPONENTI



H/V SPERIMENTALE vs. H/V SINTETICO

Max. H/V at 32.48 ± 0.26 Hz. (In the range 0.0 - 64.0 Hz).



**Profondità alla base
dello strato [m]**

2.00
52.00
inf.

Spessore [m]

2.00
50.00
inf.

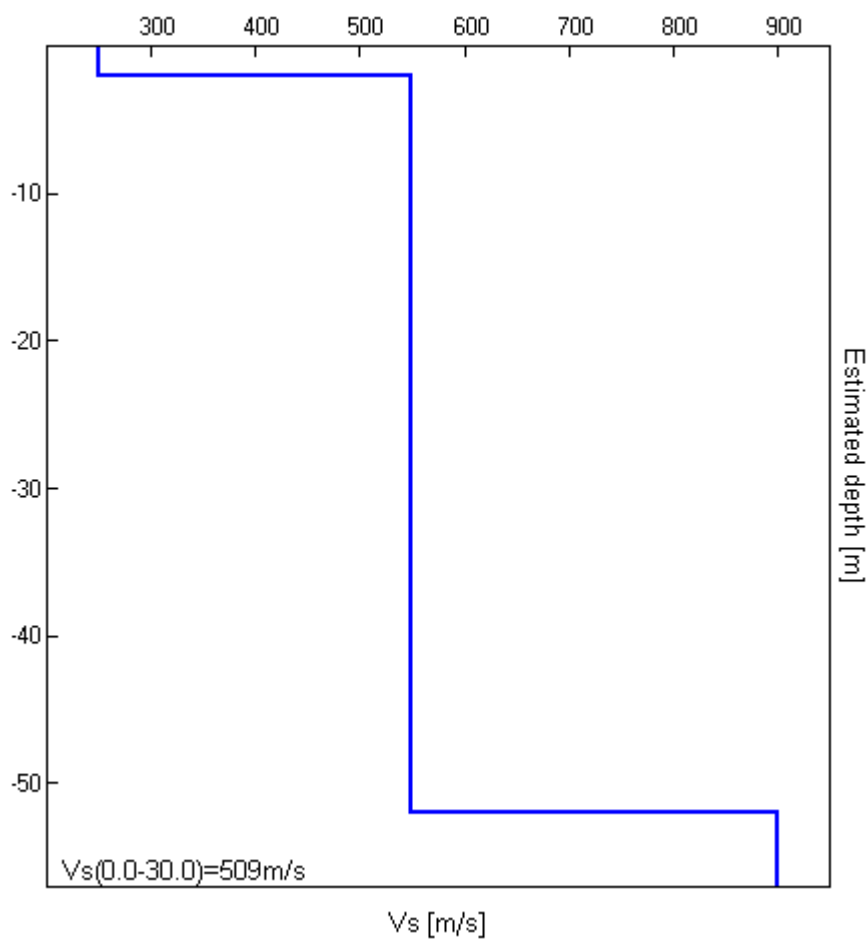
Vs [m/s]

250
550
900

Rapporto di Poisson

0.35
0.35
0.35

$V_s(0.0-30.0)=509\text{m/s}$



[Secondo le linee guida SESAME, 2005. Si raccomanda di leggere attentamente il manuale di *Grilla* prima di interpretare la tabella seguente].

Picco H/V a 32.48 ± 0.26 Hz (nell'intervallo 0.0 - 64.0 Hz).

Criteri per una curva H/V affidabile

[Tutti 3 dovrebbero risultare soddisfatti]

$f_0 > 10 / L_w$	$32.48 > 0.17$	OK	
$n_c(f_0) > 200$	$42879.4 > 200$	OK	
$\sigma_A(f) < 2$ per $0.5f_0 < f < 2f_0$ se $f_0 > 0.5\text{Hz}$ $\sigma_A(f) < 3$ per $0.5f_0 < f < 2f_0$ se $f_0 < 0.5\text{Hz}$	Superato 0 volte su 3058	OK	

Criteri per un picco H/V chiaro

[Almeno 5 su 6 dovrebbero essere soddisfatti]

Esiste f^- in $[f_0/4, f_0]$ $A_{H/V}(f^-) < A_0 / 2$	23.625 Hz	OK	
Esiste f^+ in $[f_0, 4f_0]$ $A_{H/V}(f^+) < A_0 / 2$	42.234 Hz	OK	
$A_0 > 2$	$3.98 > 2$	OK	
$f_{\text{picco}}[A_{H/V}(f) \pm \sigma_A(f)] = f_0 \pm 5\%$	$ 0.00372 < 0.05$	OK	
$\sigma_f < \varepsilon(f_0)$	$0.12095 < 1.62422$	OK	
$\sigma_A(f_0) < \theta(f_0)$	$0.5766 < 1.58$	OK	

L_w	lunghezza della finestra
n_w	numero di finestre usate nell'analisi
$n_c = L_w n_w f_0$	numero di cicli significativi
f	frequenza attuale
f_0	frequenza del picco H/V
σ_f	deviazione standard della frequenza del picco H/V
$\varepsilon(f_0)$	valore di soglia per la condizione di stabilità $\sigma_f < \varepsilon(f_0)$
A_0	ampiezza della curva H/V alla frequenza f_0
$A_{H/V}(f)$	ampiezza della curva H/V alla frequenza f
f^-	frequenza tra $f_0/4$ e f_0 alla quale $A_{H/V}(f^-) < A_0/2$
f^+	frequenza tra f_0 e $4f_0$ alla quale $A_{H/V}(f^+) < A_0/2$
$\sigma_A(f)$	deviazione standard di $A_{H/V}(f)$, $\sigma_A(f)$ è il fattore per il quale la curva $A_{H/V}(f)$ media deve essere moltiplicata o divisa
$\sigma_{\log H/V}(f)$	deviazione standard della funzione $\log A_{H/V}(f)$
$\theta(f_0)$	valore di soglia per la condizione di stabilità $\sigma_A(f) < \theta(f_0)$

Valori di soglia per σ_f e $\sigma_A(f_0)$

Intervallo di freq. [Hz]	< 0.2	0.2 – 0.5	0.5 – 1.0	1.0 – 2.0	> 2.0
$\varepsilon(f_0)$ [Hz]	$0.25 f_0$	$0.2 f_0$	$0.15 f_0$	$0.10 f_0$	$0.05 f_0$
$\theta(f_0)$ per $\sigma_A(f_0)$	3.0	2.5	2.0	1.78	1.58
$\log \theta(f_0)$ per $\sigma_{\log H/V}(f_0)$	0.48	0.40	0.30	0.25	0.20

CHITTIGNANNO33

Strumento: TRZ-0135/01-11

Inizio registrazione: 03/01/00 13:03:20 Fine registrazione: 03/01/00 13:25:20

Nomi canali: NORTH SOUTH; EAST WEST ; UP DOWN

Dato GPS non disponibile

Durata registrazione: 0h22'00".

Analizzato 86% tracciato (selezione manuale)

Freq. campionamento: 128 Hz

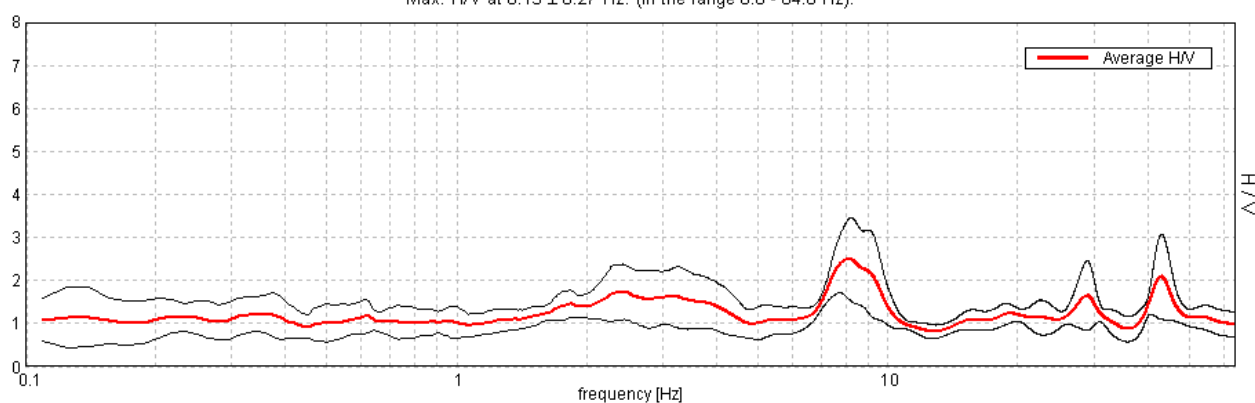
Lunghezza finestre: 60 s

Tipo di lisciamento: Triangular window

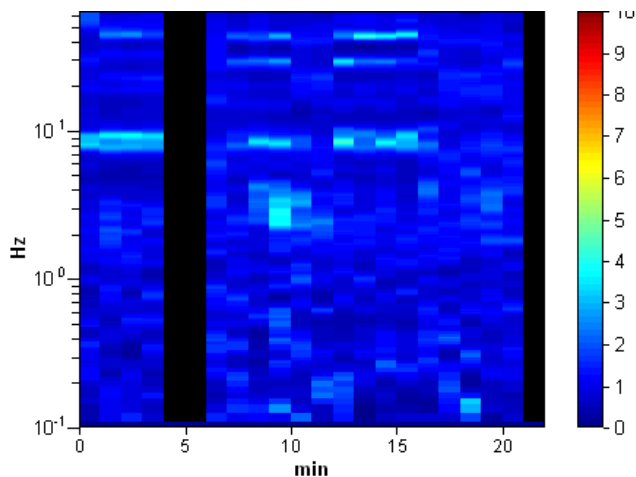
Lisciamento: 10%

RAPPORTO SPETTRALE ORIZZONTALE SU VERTICALE

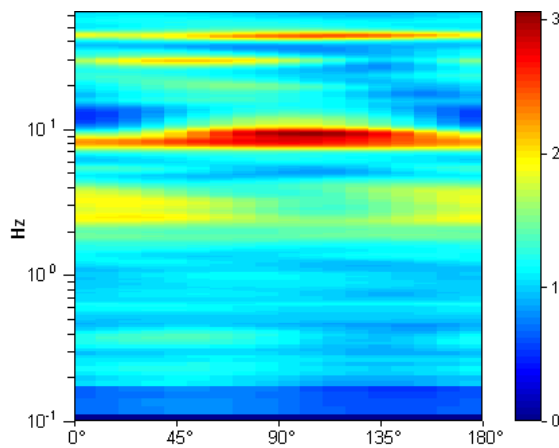
Max. H/V at 8.13 ± 0.27 Hz. (In the range 0.0 - 64.0 Hz).



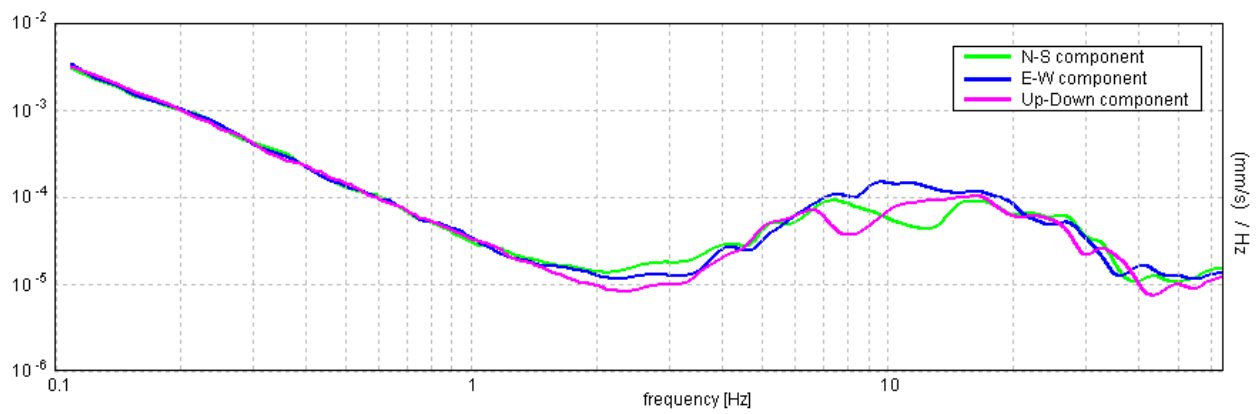
SERIE TEMPORALE H/V



DIREZIONALITA' H/V

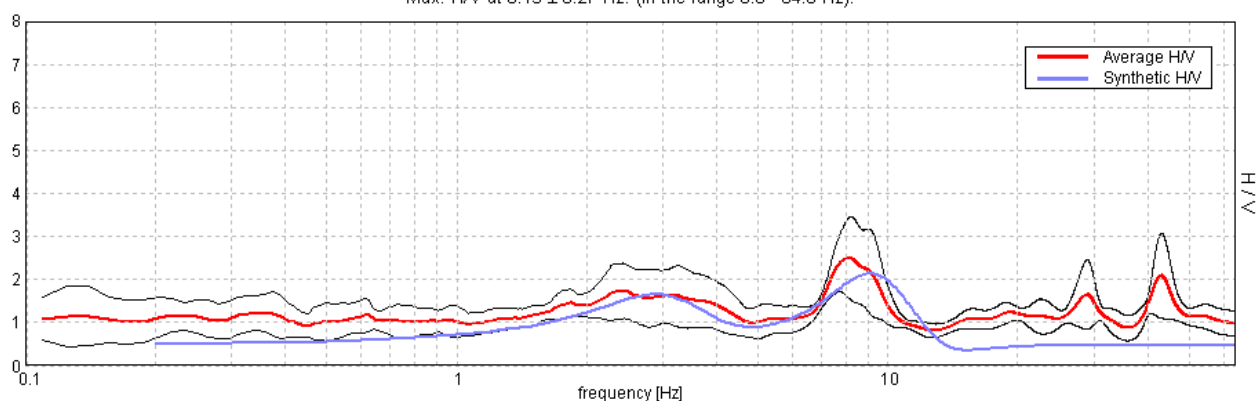


SPETTRI DELLE SINGOLE COMPONENTI



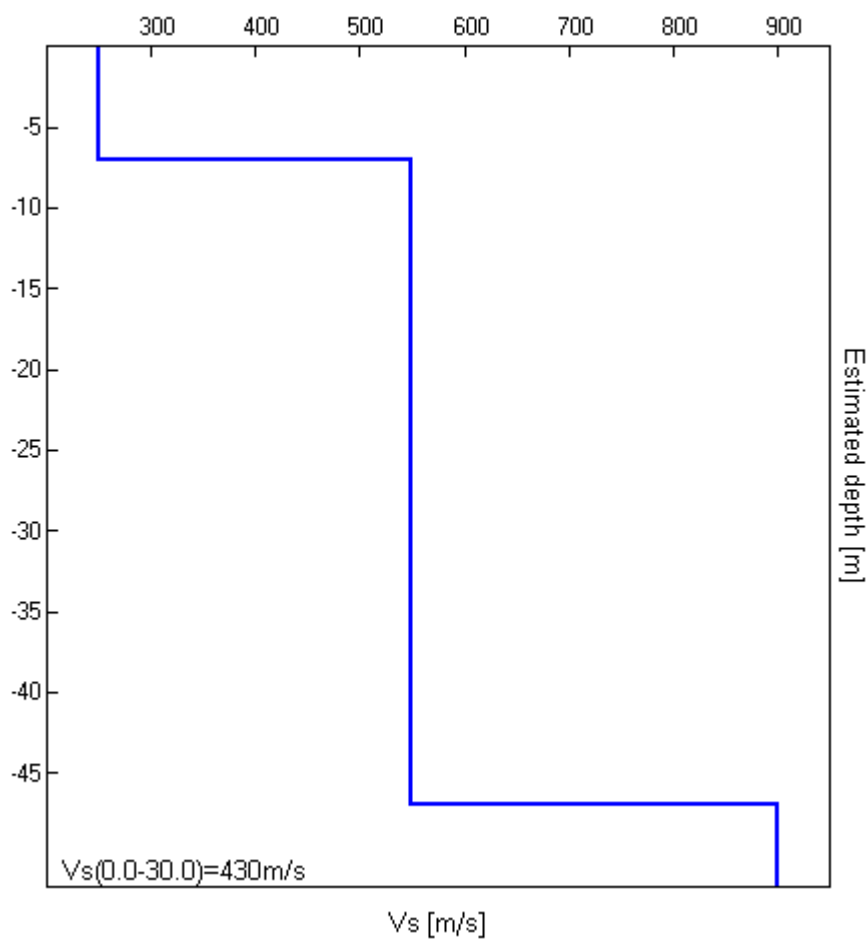
H/V SPERIMENTALE vs. H/V SINTETICO

Max. H/V at 8.13 ± 0.27 Hz. (In the range 0.0 - 64.0 Hz).



Profondità alla base dello strato [m]	Spessore [m]	Vs [m/s]	Rapporto di Poisson
7.00	7.00	250	0.35
47.00	40.00	550	0.35
inf.	inf.	900	0.35

$V_s(0.0-30.0)=430\text{m/s}$



[Secondo le linee guida SESAME, 2005. **Si raccomanda di leggere attentamente il manuale di Grilla prima di interpretare la tabella seguente**].

Picco H/V a 8.13 ± 0.27 Hz (nell'intervallo 0.0 - 64.0 Hz).

Criteri per una curva H/V affidabile

[Tutti 3 dovrebbero risultare soddisfatti]

$f_0 > 10 / L_w$	$8.13 > 0.17$	OK	
$n_c(f_0) > 200$	$9262.5 > 200$	OK	
$\sigma_A(f) < 2$ per $0.5f_0 < f < 2f_0$ se $f_0 > 0.5\text{Hz}$ $\sigma_A(f) < 3$ per $0.5f_0 < f < 2f_0$ se $f_0 < 0.5\text{Hz}$	Superato 0 volte su 781	OK	

Criteri per un picco H/V chiaro

[Almeno 5 su 6 dovrebbero essere soddisfatti]

Esiste f^- in $[f_0/4, f_0]$ $A_{H/V}(f^-) < A_0 / 2$	6.734 Hz	OK	
Esiste f^+ in $[f_0, 4f_0]$ $A_{H/V}(f^+) < A_0 / 2$	10.234 Hz	OK	
$A_0 > 2$	$2.50 > 2$	OK	
$f_{\text{picco}}[A_{H/V}(f) \pm \sigma_A(f)] = f_0 \pm 5\%$	$ 0.01516 < 0.05$	OK	
$\sigma_f < \varepsilon(f_0)$	$0.1232 < 0.40625$	OK	
$\sigma_A(f_0) < \theta(f_0)$	$0.4365 < 1.58$	OK	

L_w	lunghezza della finestra
n_w	numero di finestre usate nell'analisi
$n_c = L_w n_w f_0$	numero di cicli significativi
f	frequenza attuale
f_0	frequenza del picco H/V
σ_f	deviazione standard della frequenza del picco H/V
$\varepsilon(f_0)$	valore di soglia per la condizione di stabilità $\sigma_f < \varepsilon(f_0)$
A_0	ampiezza della curva H/V alla frequenza f_0
$A_{H/V}(f)$	ampiezza della curva H/V alla frequenza f
f^-	frequenza tra $f_0/4$ e f_0 alla quale $A_{H/V}(f^-) < A_0/2$
f^+	frequenza tra f_0 e $4f_0$ alla quale $A_{H/V}(f^+) < A_0/2$
$\sigma_A(f)$	deviazione standard di $A_{H/V}(f)$, $\sigma_A(f)$ è il fattore per il quale la curva $A_{H/V}(f)$ media deve essere moltiplicata o divisa
$\sigma_{\log H/V}(f)$	deviazione standard della funzione $\log A_{H/V}(f)$
$\theta(f_0)$	valore di soglia per la condizione di stabilità $\sigma_A(f) < \theta(f_0)$

Valori di soglia per σ_f e $\sigma_A(f_0)$

Intervallo di freq. [Hz]	< 0.2	0.2 – 0.5	0.5 – 1.0	1.0 – 2.0	> 2.0
$\varepsilon(f_0)$ [Hz]	$0.25 f_0$	$0.2 f_0$	$0.15 f_0$	$0.10 f_0$	$0.05 f_0$
$\theta(f_0)$ per $\sigma_A(f_0)$	3.0	2.5	2.0	1.78	1.58
$\log \theta(f_0)$ per $\sigma_{\log H/V}(f_0)$	0.48	0.40	0.30	0.25	0.20

Chitignano 34

Strumento: TRZ-0135/01-11

Inizio registrazione: 03/01/00 13:38:58 Fine registrazione: 03/01/00 14:00:58

Nomi canali: NORTH SOUTH; EAST WEST ; UP DOWN

Dato GPS non disponibile

Durata registrazione: 0h22'00".

Analisi effettuata sull'intera traccia.

Freq. campionamento: 128 Hz

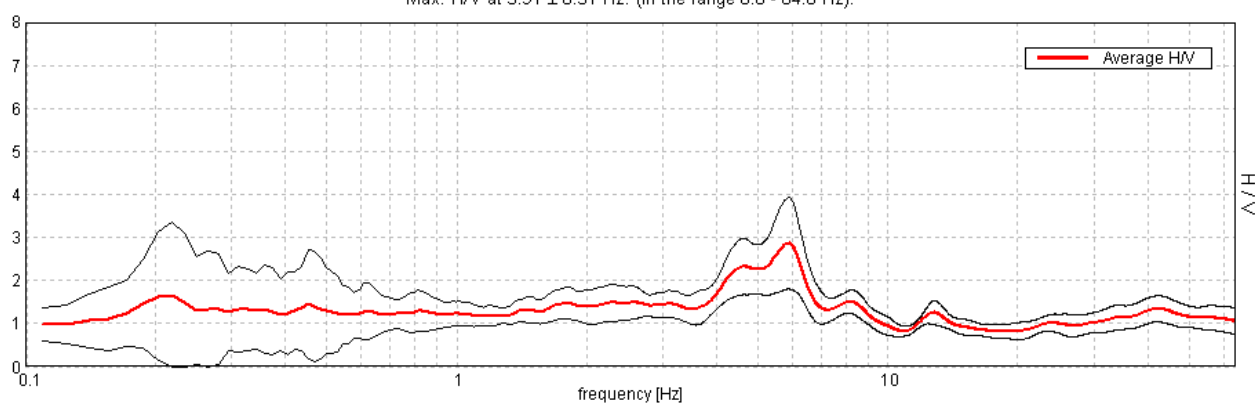
Lunghezza finestre: 60 s

Tipo di lisciamento: Triangular window

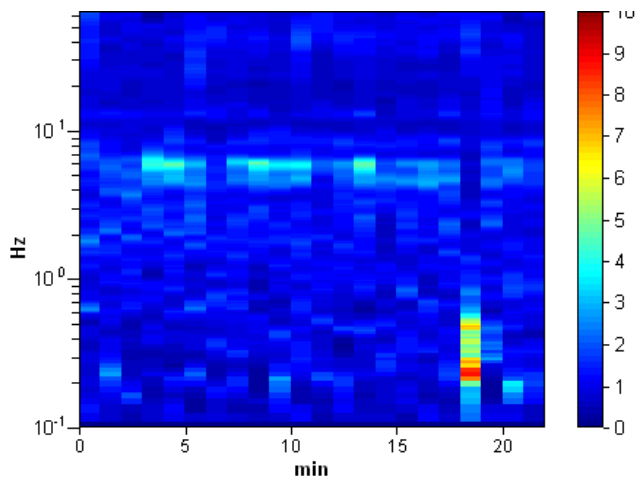
Lisciamento: 10%

RAPPORTO SPETTRALE ORIZZONTALE SU VERTICALE

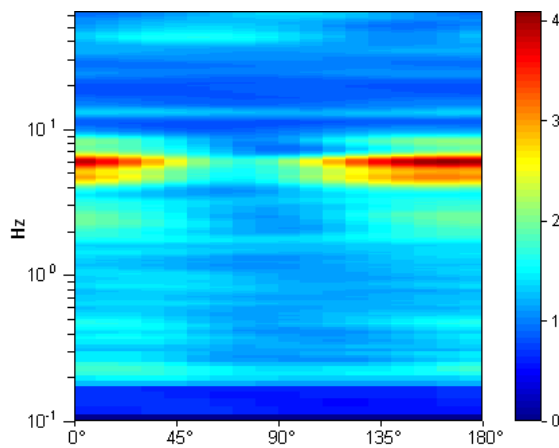
Max. H/V at 5.91 ± 0.51 Hz. (In the range 0.0 - 64.0 Hz).



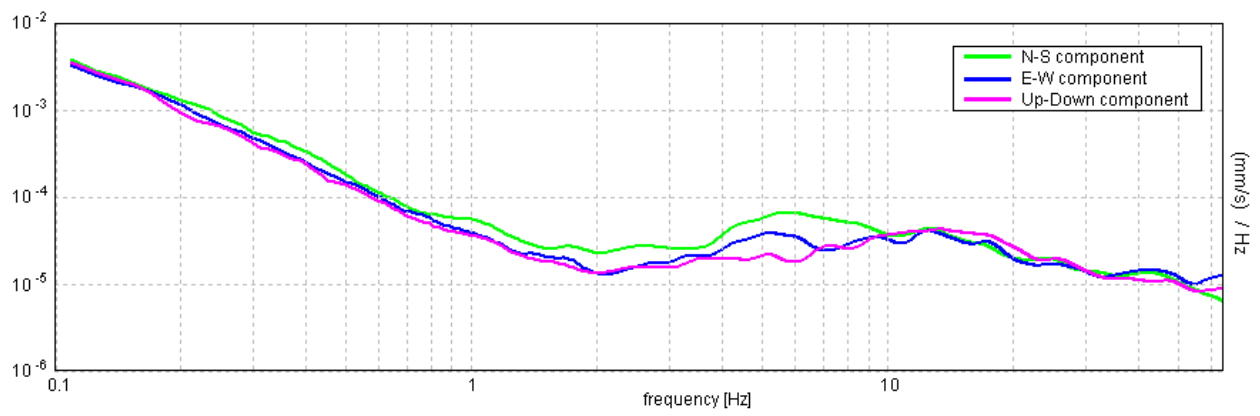
SERIE TEMPORALE H/V



DIREZIONALITA' H/V

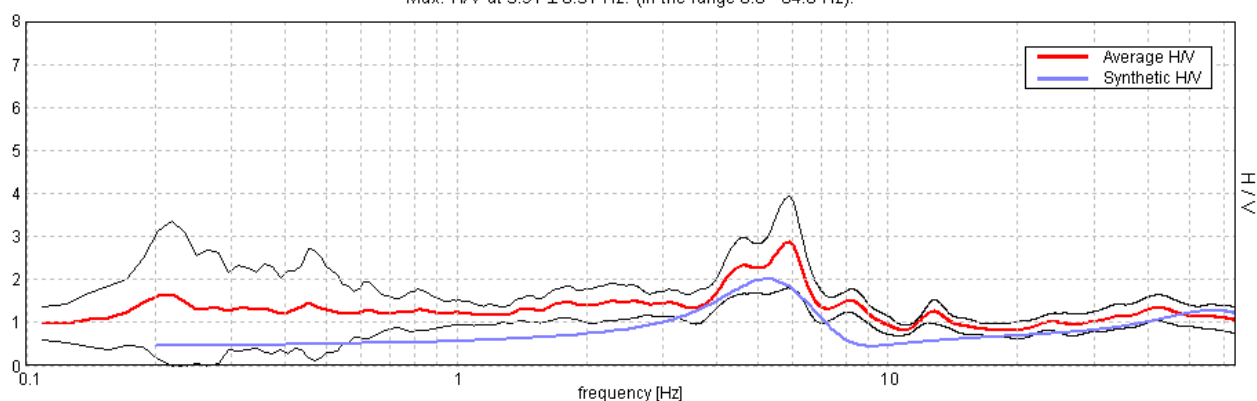


SPETTRI DELLE SINGOLE COMPONENTI



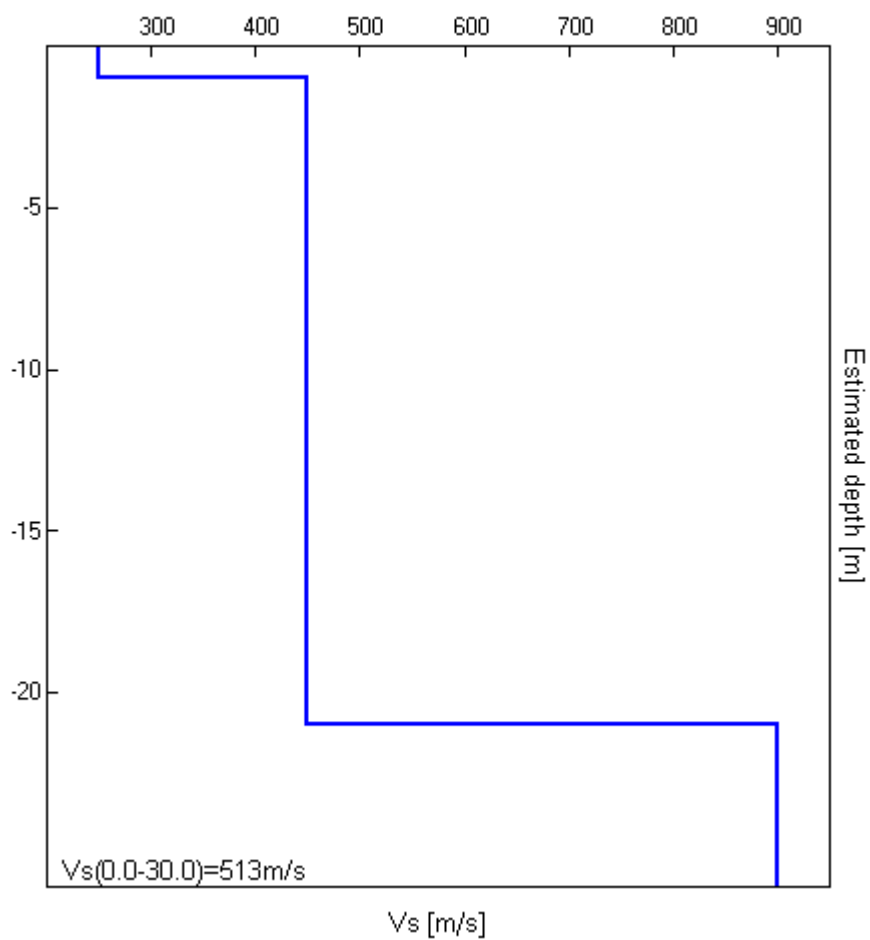
H/V SPERIMENTALE vs. H/V SINTETICO

Max. H/V at 5.91 ± 0.51 Hz. (In the range 0.0 - 64.0 Hz).



Profondità alla base dello strato [m]	Spessore [m]	Vs [m/s]	Rapporto di Poisson
1.00	1.00	250	0.35
21.00	20.00	450	0.35
inf.	inf.	900	0.35

$V_s(0.0-30.0)=513\text{m/s}$



[Secondo le linee guida SESAME, 2005. **Si raccomanda di leggere attentamente il manuale di Grilla prima di interpretare la tabella seguente**].

Picco H/V a 5.91 ± 0.51 Hz (nell'intervallo 0.0 - 64.0 Hz).

Criteri per una curva H/V affidabile

[Tutti 3 dovrebbero risultare soddisfatti]

$f_0 > 10 / L_w$	$5.91 > 0.17$	OK	
$n_c(f_0) > 200$	$7796.3 > 200$	OK	
$\sigma_A(f) < 2$ per $0.5f_0 < f < 2f_0$ se $f_0 > 0.5\text{Hz}$ $\sigma_A(f) < 3$ per $0.5f_0 < f < 2f_0$ se $f_0 < 0.5\text{Hz}$	Superato 0 volte su 568	OK	

Criteri per un picco H/V chiaro

[Almeno 5 su 6 dovrebbero essere soddisfatti]

Esiste f^- in $[f_0/4, f_0]$ $A_{H/V}(f^-) < A_0 / 2$	3.766 Hz	OK	
Esiste f^+ in $[f_0, 4f_0]$ $A_{H/V}(f^+) < A_0 / 2$	6.891 Hz	OK	
$A_0 > 2$	$2.87 > 2$	OK	
$f_{\text{picco}}[A_{H/V}(f) \pm \sigma_A(f)] = f_0 \pm 5\%$	$ 0.0409 < 0.05$	OK	
$\sigma_f < \varepsilon(f_0)$	$0.24157 < 0.29531$	OK	
$\sigma_A(f_0) < \theta(f_0)$	$0.5021 < 1.58$	OK	

L_w	lunghezza della finestra
n_w	numero di finestre usate nell'analisi
$n_c = L_w n_w f_0$	numero di cicli significativi
f	frequenza attuale
f_0	frequenza del picco H/V
σ_f	deviazione standard della frequenza del picco H/V
$\varepsilon(f_0)$	valore di soglia per la condizione di stabilità $\sigma_f < \varepsilon(f_0)$
A_0	ampiezza della curva H/V alla frequenza f_0
$A_{H/V}(f)$	ampiezza della curva H/V alla frequenza f
f^-	frequenza tra $f_0/4$ e f_0 alla quale $A_{H/V}(f^-) < A_0/2$
f^+	frequenza tra f_0 e $4f_0$ alla quale $A_{H/V}(f^+) < A_0/2$
$\sigma_A(f)$	deviazione standard di $A_{H/V}(f)$, $\sigma_A(f)$ è il fattore per il quale la curva $A_{H/V}(f)$ media deve essere moltiplicata o divisa
$\sigma_{\log H/V}(f)$	deviazione standard della funzione $\log A_{H/V}(f)$
$\theta(f_0)$	valore di soglia per la condizione di stabilità $\sigma_A(f) < \theta(f_0)$

Valori di soglia per σ_f e $\sigma_A(f_0)$

Intervallo di freq. [Hz]	< 0.2	0.2 – 0.5	0.5 – 1.0	1.0 – 2.0	> 2.0
$\varepsilon(f_0)$ [Hz]	$0.25 f_0$	$0.2 f_0$	$0.15 f_0$	$0.10 f_0$	$0.05 f_0$
$\theta(f_0)$ per $\sigma_A(f_0)$	3.0	2.5	2.0	1.78	1.58
$\log \theta(f_0)$ per $\sigma_{\log H/V}(f_0)$	0.48	0.40	0.30	0.25	0.20

Chitignano 35

Strumento: TRZ-0135/01-11

Inizio registrazione: 27/06/13 14:50:00 Fine registrazione: 27/06/13 15:12:00

Nomi canali: NORTH SOUTH; EAST WEST; UP DOWN

Dato GPS non disponibile

Durata registrazione: 0h22'00".

Analizzato 91% tracciato (selezione manuale)

Freq. campionamento: 128 Hz

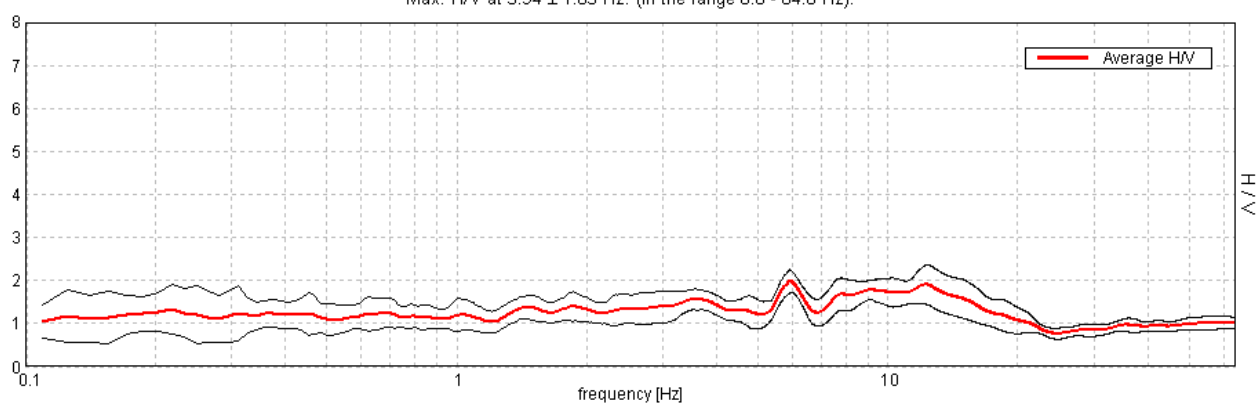
Lunghezza finestre: 60 s

Tipo di lisciamento: Triangular window

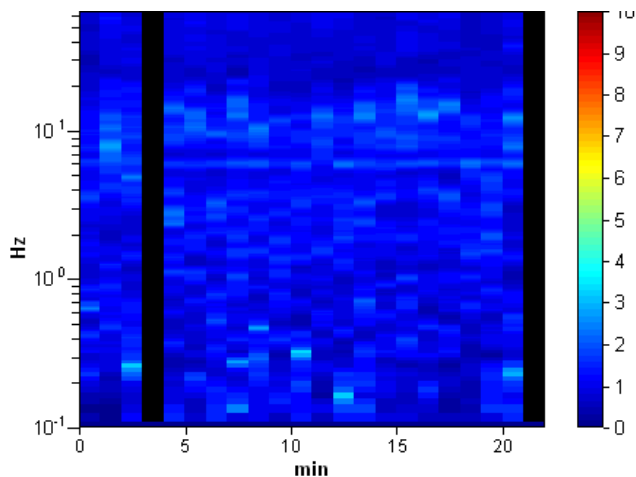
Lisciamento: 10%

RAPPORTO SPETTRALE ORIZZONTALE SU VERTICALE

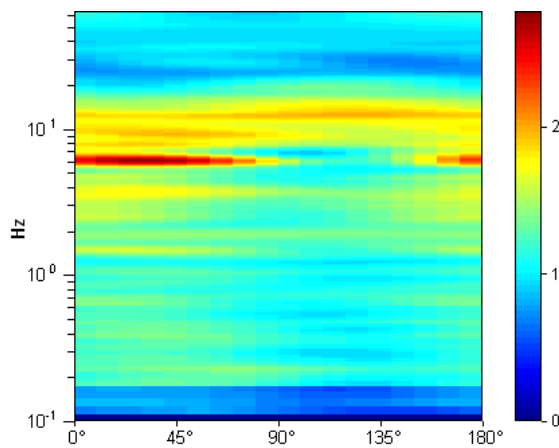
Max. H/V at 5.94 ± 1.05 Hz. (In the range 0.0 - 64.0 Hz).



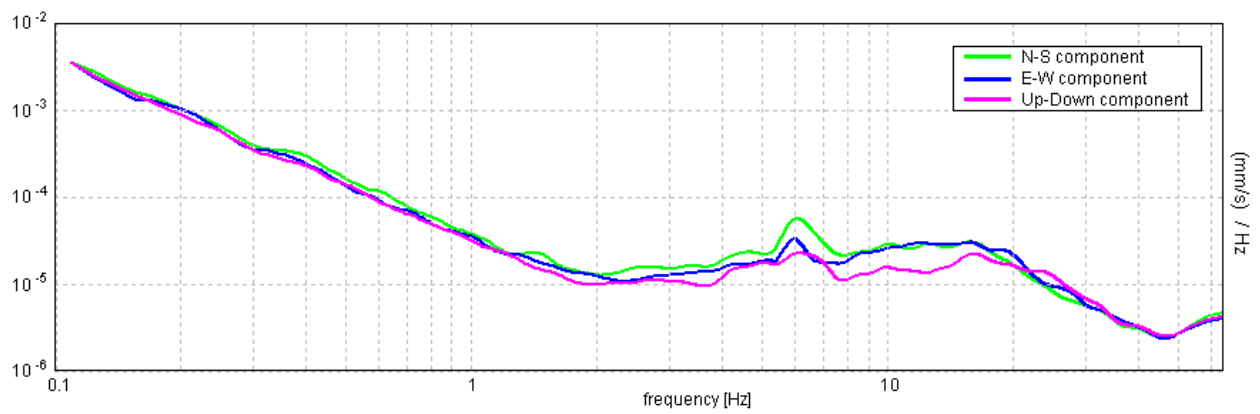
SERIE TEMPORALE H/V



DIREZIONALITA' H/V



SPETTRI DELLE SINGOLE COMPONENTI



[Secondo le linee guida SESAME, 2005. **Si raccomanda di leggere attentamente il manuale di Grilla prima di interpretare la tabella seguente**].

Picco H/V a 5.94 ± 1.05 Hz (nell'intervallo 0.0 - 64.0 Hz).

Criteri per una curva H/V affidabile

[Tutti 3 dovrebbero risultare soddisfatti]

$f_0 > 10 / L_w$	$5.94 > 0.17$	OK	
$n_c(f_0) > 200$	$7125.0 > 200$	OK	
$\sigma_A(f) < 2$ per $0.5f_0 < f < 2f_0$ se $f_0 > 0.5\text{Hz}$ $\sigma_A(f) < 3$ per $0.5f_0 < f < 2f_0$ se $f_0 < 0.5\text{Hz}$	Superato 0 volte su 571	OK	

Criteri per un picco H/V chiaro

[Almeno 5 su 6 dovrebbero essere soddisfatti]

Esiste f^- in $[f_0/4, f_0]$ $A_{H/V}(f^-) < A_0 / 2$			NO
Esiste f^+ in $[f_0, 4f_0]$ $A_{H/V}(f^+) < A_0 / 2$	21.406 Hz	OK	
$A_0 > 2$	$1.99 > 2$		NO
$f_{\text{picco}}[A_{H/V}(f) \pm \sigma_A(f)] = f_0 \pm 5\%$	$ 0.08257 < 0.05$		NO
$\sigma_f < \varepsilon(f_0)$	$0.49029 < 0.29688$		NO
$\sigma_A(f_0) < \theta(f_0)$	$0.1246 < 1.58$	OK	

L_w	lunghezza della finestra
n_w	numero di finestre usate nell'analisi
$n_c = L_w n_w f_0$	numero di cicli significativi
f	frequenza attuale
f_0	frequenza del picco H/V
σ_f	deviazione standard della frequenza del picco H/V
$\varepsilon(f_0)$	valore di soglia per la condizione di stabilità $\sigma_f < \varepsilon(f_0)$
A_0	ampiezza della curva H/V alla frequenza f_0
$A_{H/V}(f)$	ampiezza della curva H/V alla frequenza f
f^-	frequenza tra $f_0/4$ e f_0 alla quale $A_{H/V}(f^-) < A_0/2$
f^+	frequenza tra f_0 e $4f_0$ alla quale $A_{H/V}(f^+) < A_0/2$
$\sigma_A(f)$	deviazione standard di $A_{H/V}(f)$, $\sigma_A(f)$ è il fattore per il quale la curva $A_{H/V}(f)$ media deve essere moltiplicata o divisa
$\sigma_{\log H/V}(f)$	deviazione standard della funzione $\log A_{H/V}(f)$
$\theta(f_0)$	valore di soglia per la condizione di stabilità $\sigma_A(f) < \theta(f_0)$

Valori di soglia per σ_f e $\sigma_A(f_0)$

Intervallo di freq. [Hz]	< 0.2	0.2 – 0.5	0.5 – 1.0	1.0 – 2.0	> 2.0
$\varepsilon(f_0)$ [Hz]	$0.25 f_0$	$0.2 f_0$	$0.15 f_0$	$0.10 f_0$	$0.05 f_0$
$\theta(f_0)$ per $\sigma_A(f_0)$	3.0	2.5	2.0	1.78	1.58
$\log \theta(f_0)$ per $\sigma_{\log H/V}(f_0)$	0.48	0.40	0.30	0.25	0.20

Chitignano 36

Strumento: TRZ-0135/01-11

Inizio registrazione: 03/01/00 14:46:29 Fine registrazione: 03/01/00 15:08:29

Nomi canali: NORTH SOUTH; EAST WEST ; UP DOWN

Dato GPS non disponibile

Durata registrazione: 0h22'00".

Analizzato 64% tracciato (selezione manuale)

Freq. campionamento: 128 Hz

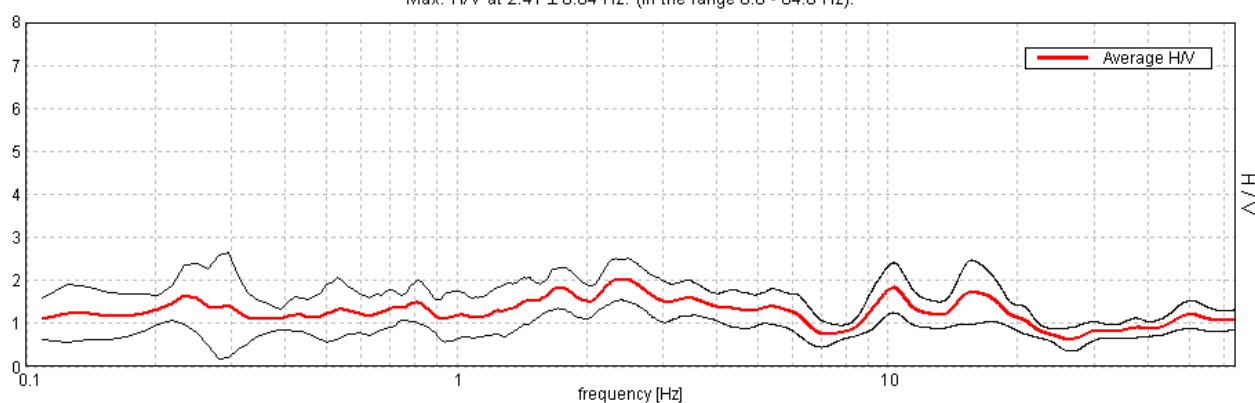
Lunghezza finestre: 60 s

Tipo di lisciamento: Triangular window

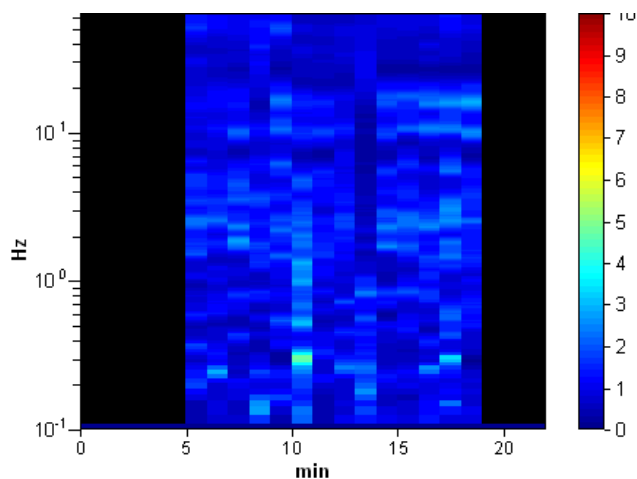
Lisciamento: 10%

RAPPORTO SPETTRALE ORIZZONTALE SU VERTICALE

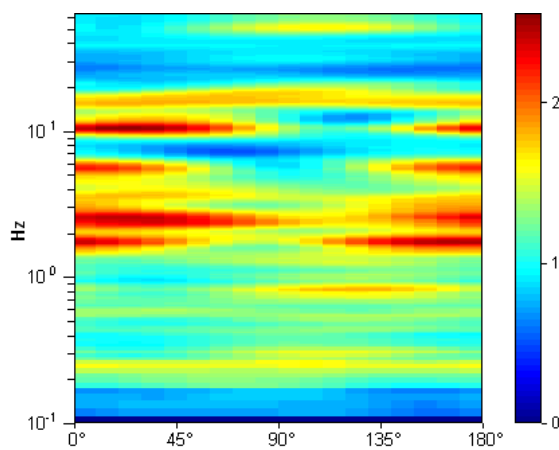
Max. H/V at 2.41 ± 0.04 Hz. (In the range 0.0 - 64.0 Hz).



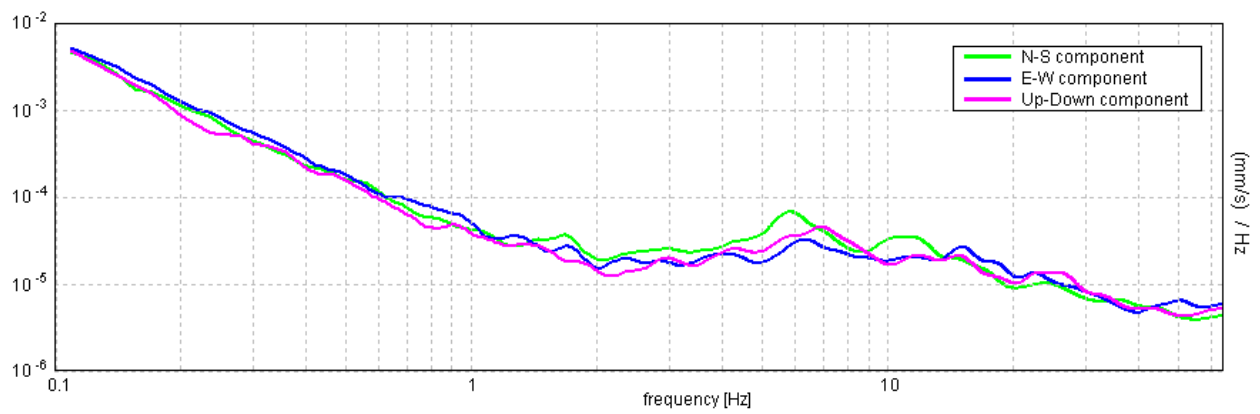
SERIE TEMPORALE H/V



DIREZIONALITA' H/V

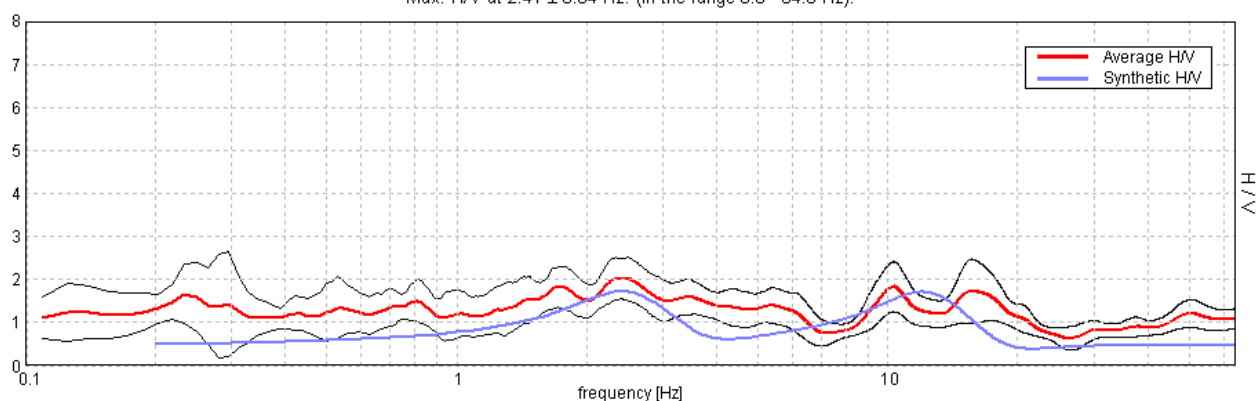


SPETTRI DELLE SINGOLE COMPONENTI



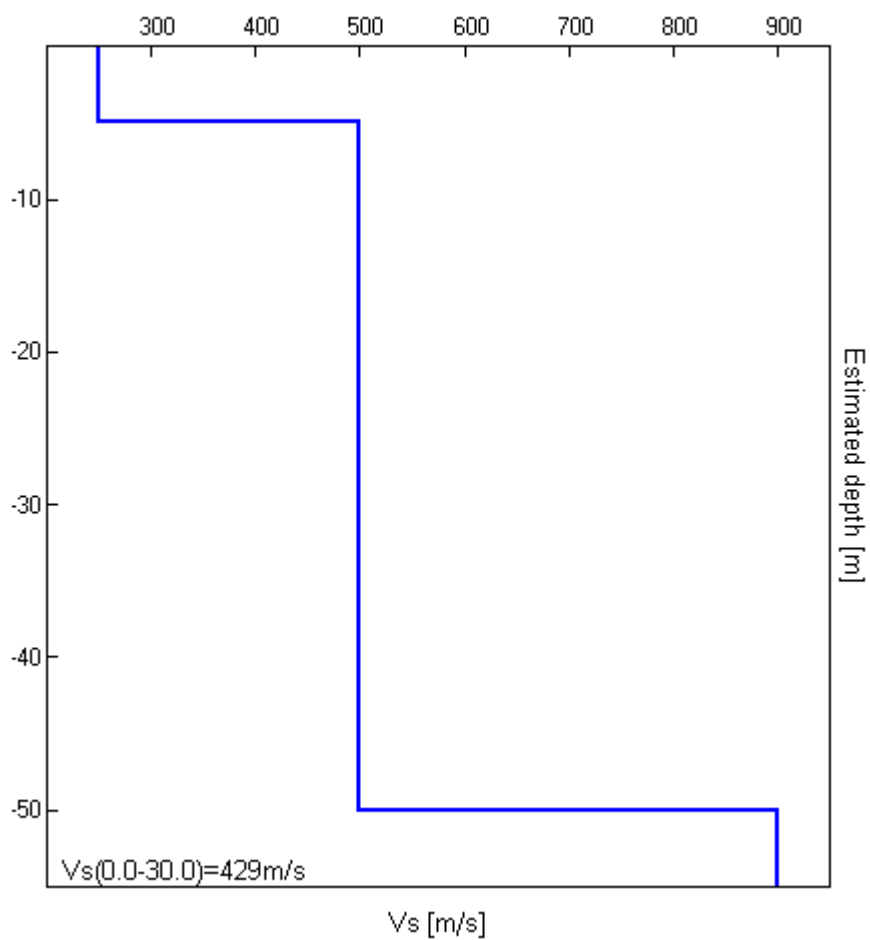
H/V SPERIMENTALE vs. H/V SINTETICO

Max. H/V at 2.41 ± 0.04 Hz. (In the range 0.0 - 64.0 Hz).



Profondità alla base dello strato [m]	Spessore [m]	Vs [m/s]	Rapporto di Poisson
5.00	5.00	250	0.35
50.00	45.00	500	0.35
inf.	inf.	900	0.35

$V_s(0.0-30.0)=429\text{m/s}$



[Secondo le linee guida SESAME, 2005. Si raccomanda di leggere attentamente il manuale di *Grilla* prima di interpretare la tabella seguente].

Picco H/V a 2.41 ± 0.04 Hz (nell'intervallo 0.0 - 64.0 Hz).

Criteri per una curva H/V affidabile

[Tutti 3 dovrebbero risultare soddisfatti]

$f_0 > 10 / L_w$	$2.41 > 0.17$	OK	
$n_c(f_0) > 200$	$2021.3 > 200$	OK	
$\sigma_A(f) < 2$ per $0.5f_0 < f < 2f_0$ se $f_0 > 0.5\text{Hz}$ $\sigma_A(f) < 3$ per $0.5f_0 < f < 2f_0$ se $f_0 < 0.5\text{Hz}$	Superato 0 volte su 232	OK	

Criteri per un picco H/V chiaro

[Almeno 5 su 6 dovrebbero essere soddisfatti]

Esiste f^- in $[f_0/4, f_0]$ $A_{H/V}(f^-) < A_0 / 2$			NO
Esiste f^+ in $[f_0, 4f_0]$ $A_{H/V}(f^+) < A_0 / 2$	6.5 Hz	OK	
$A_0 > 2$	$2.02 > 2$	OK	
$f_{\text{picco}}[A_{H/V}(f) \pm \sigma_A(f)] = f_0 \pm 5\%$	$ 0.00832 < 0.05$	OK	
$\sigma_f < \varepsilon(f_0)$	$0.02003 < 0.12031$	OK	
$\sigma_A(f_0) < \theta(f_0)$	$0.2118 < 1.58$	OK	

L_w	lunghezza della finestra
n_w	numero di finestre usate nell'analisi
$n_c = L_w n_w f_0$	numero di cicli significativi
f	frequenza attuale
f_0	frequenza del picco H/V
σ_f	deviazione standard della frequenza del picco H/V
$\varepsilon(f_0)$	valore di soglia per la condizione di stabilità $\sigma_f < \varepsilon(f_0)$
A_0	ampiezza della curva H/V alla frequenza f_0
$A_{H/V}(f)$	ampiezza della curva H/V alla frequenza f
f^-	frequenza tra $f_0/4$ e f_0 alla quale $A_{H/V}(f^-) < A_0/2$
f^+	frequenza tra f_0 e $4f_0$ alla quale $A_{H/V}(f^+) < A_0/2$
$\sigma_A(f)$	deviazione standard di $A_{H/V}(f)$, $\sigma_A(f)$ è il fattore per il quale la curva $A_{H/V}(f)$ media deve essere moltiplicata o divisa
$\sigma_{\log H/V}(f)$	deviazione standard della funzione $\log A_{H/V}(f)$
$\theta(f_0)$	valore di soglia per la condizione di stabilità $\sigma_A(f) < \theta(f_0)$

Valori di soglia per σ_f e $\sigma_A(f_0)$

Intervallo di freq. [Hz]	< 0.2	0.2 – 0.5	0.5 – 1.0	1.0 – 2.0	> 2.0
$\varepsilon(f_0)$ [Hz]	$0.25 f_0$	$0.2 f_0$	$0.15 f_0$	$0.10 f_0$	$0.05 f_0$
$\theta(f_0)$ per $\sigma_A(f_0)$	3.0	2.5	2.0	1.78	1.58
$\log \theta(f_0)$ per $\sigma_{\log H/V}(f_0)$	0.48	0.40	0.30	0.25	0.20

Chitignano37

Strumento: TRZ-0135/01-11

Inizio registrazione: 03/01/00 15:22:59 Fine registrazione: 03/01/00 15:44:59

Nomi canali: NORTH SOUTH; EAST WEST ; UP DOWN

Dato GPS non disponibile

Durata registrazione: 0h22'00".

Analizzato 86% tracciato (selezione manuale)

Freq. campionamento: 128 Hz

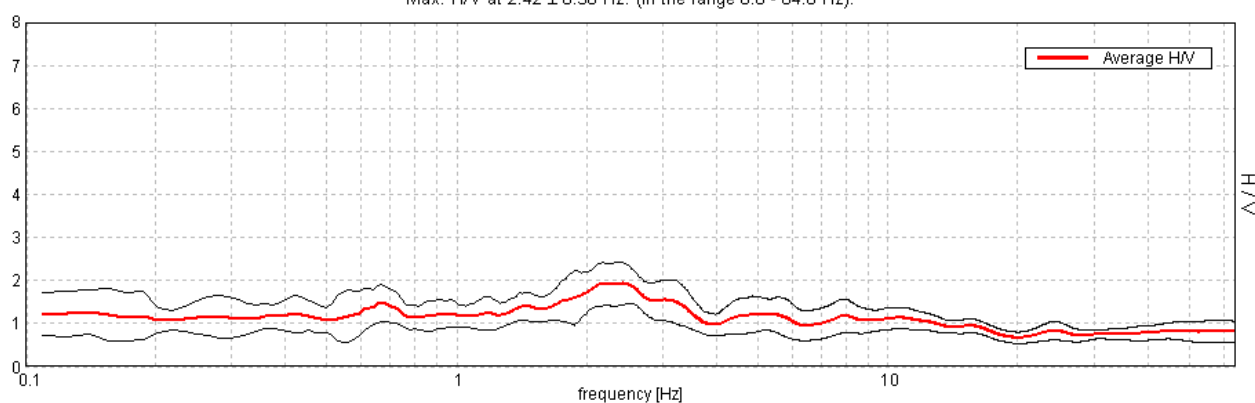
Lunghezza finestre: 60 s

Tipo di lisciamento: Triangular window

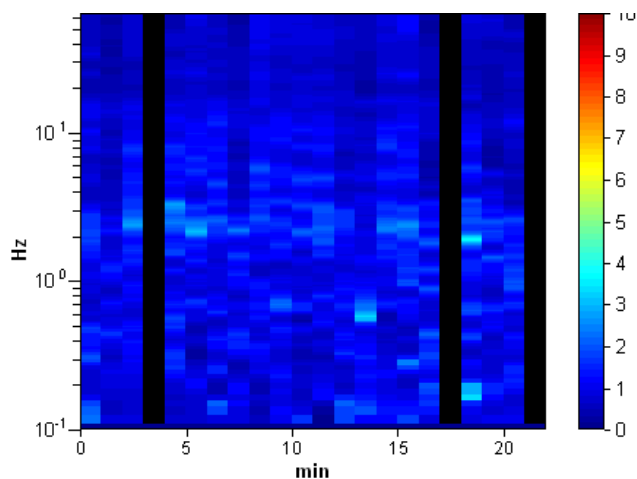
Lisciamento: 10%

RAPPORTO SPETTRALE ORIZZONTALE SU VERTICALE

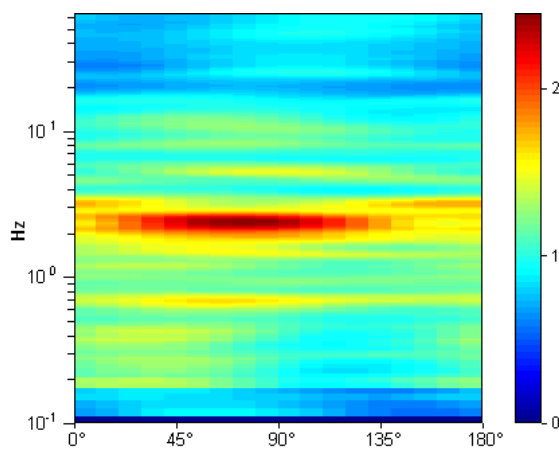
Max. H/V at 2.42 ± 0.38 Hz. (In the range 0.0 - 64.0 Hz).



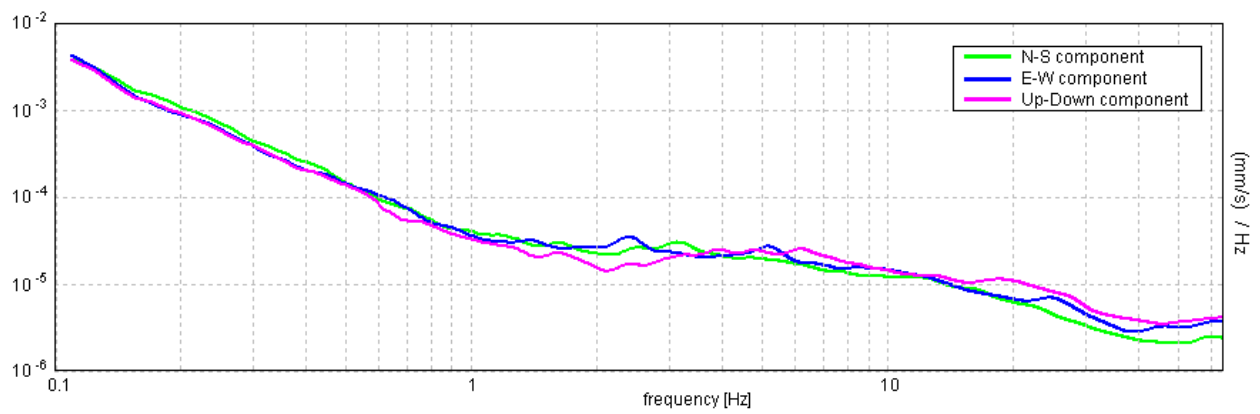
SERIE TEMPORALE H/V



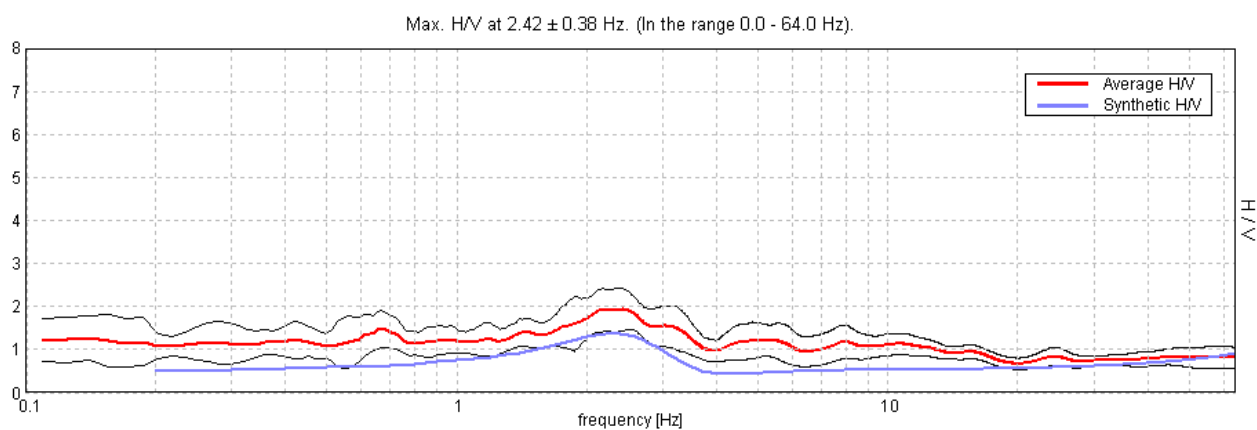
DIREZIONALITA' H/V



SPETTRI DELLE SINGOLE COMPONENTI

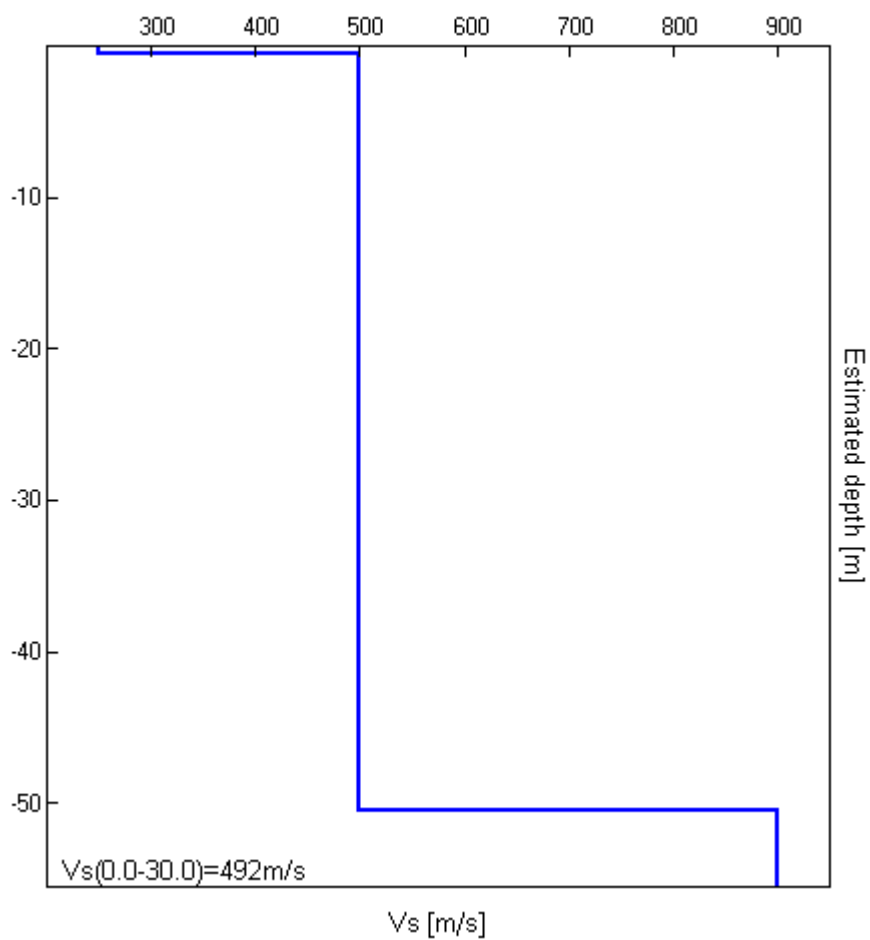


H/V SPERIMENTALE vs. H/V SINTETICO



Profondità alla base dello strato [m]	Spessore [m]	Vs [m/s]	Rapporto di Poisson
0.50	0.50	250	0.35
50.50	50.00	500	0.35
inf.	inf.	900	0.35

Vs(0.0-30.0)=492m/s



[Secondo le linee guida SESAME, 2005. Si raccomanda di leggere attentamente il manuale di *Grilla* prima di interpretare la tabella seguente].

Picco H/V a 2.42 ± 0.38 Hz (nell'intervallo 0.0 - 64.0 Hz).

Criteri per una curva H/V affidabile

[Tutti 3 dovrebbero risultare soddisfatti]

$f_0 > 10 / L_w$	$2.42 > 0.17$	OK	
$n_c(f_0) > 200$	$2760.9 > 200$	OK	
$\sigma_A(f) < 2$ per $0.5f_0 < f < 2f_0$ se $f_0 > 0.5\text{Hz}$ $\sigma_A(f) < 3$ per $0.5f_0 < f < 2f_0$ se $f_0 < 0.5\text{Hz}$	Superato 0 volte su 234	OK	

Criteri per un picco H/V chiaro

[Almeno 5 su 6 dovrebbero essere soddisfatti]

Esiste f^- in $[f_0/4, f_0]$ $A_{H/V}(f^-) < A_0 / 2$			NO
Esiste f^+ in $[f_0, 4f_0]$ $A_{H/V}(f^+) < A_0 / 2$	6.25 Hz	OK	
$A_0 > 2$	$1.93 > 2$		NO
$f_{\text{picco}}[A_{H/V}(f) \pm \sigma_A(f)] = f_0 \pm 5\%$	$ 0.07354 < 0.05$		NO
$\sigma_f < \varepsilon(f_0)$	$0.17811 < 0.12109$		NO
$\sigma_A(f_0) < \theta(f_0)$	$0.227 < 1.58$	OK	

L_w	lunghezza della finestra
n_w	numero di finestre usate nell'analisi
$n_c = L_w n_w f_0$	numero di cicli significativi
f	frequenza attuale
f_0	frequenza del picco H/V
σ_f	deviazione standard della frequenza del picco H/V
$\varepsilon(f_0)$	valore di soglia per la condizione di stabilità $\sigma_f < \varepsilon(f_0)$
A_0	ampiezza della curva H/V alla frequenza f_0
$A_{H/V}(f)$	ampiezza della curva H/V alla frequenza f
f^-	frequenza tra $f_0/4$ e f_0 alla quale $A_{H/V}(f^-) < A_0/2$
f^+	frequenza tra f_0 e $4f_0$ alla quale $A_{H/V}(f^+) < A_0/2$
$\sigma_A(f)$	deviazione standard di $A_{H/V}(f)$, $\sigma_A(f)$ è il fattore per il quale la curva $A_{H/V}(f)$ media deve essere moltiplicata o divisa
$\sigma_{\log H/V}(f)$	deviazione standard della funzione $\log A_{H/V}(f)$
$\theta(f_0)$	valore di soglia per la condizione di stabilità $\sigma_A(f) < \theta(f_0)$

Valori di soglia per σ_f e $\sigma_A(f_0)$

Intervallo di freq. [Hz]	< 0.2	0.2 – 0.5	0.5 – 1.0	1.0 – 2.0	> 2.0
$\varepsilon(f_0)$ [Hz]	$0.25 f_0$	$0.2 f_0$	$0.15 f_0$	$0.10 f_0$	$0.05 f_0$
$\theta(f_0)$ per $\sigma_A(f_0)$	3.0	2.5	2.0	1.78	1.58
$\log \theta(f_0)$ per $\sigma_{\log H/V}(f_0)$	0.48	0.40	0.30	0.25	0.20

Chitignano 38

Strumento: TRZ-0135/01-11

Inizio registrazione: 03/01/00 15:58:14 Fine registrazione: 03/01/00 16:20:14

Nomi canali: NORTH SOUTH; EAST WEST ; UP DOWN

Dato GPS non disponibile

Durata registrazione: 0h22'00".

Analizzato 86% tracciato (selezione manuale)

Freq. campionamento: 128 Hz

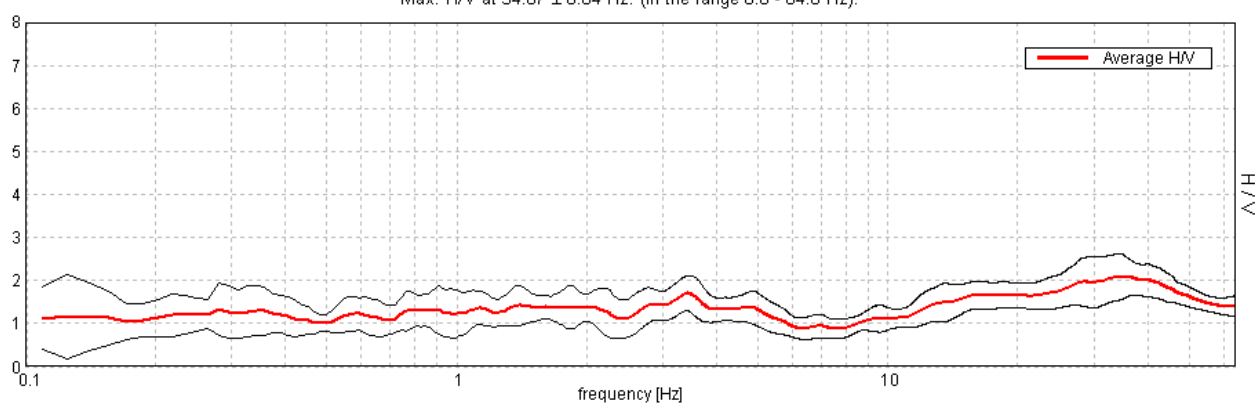
Lunghezza finestre: 60 s

Tipo di lisciamento: Triangular window

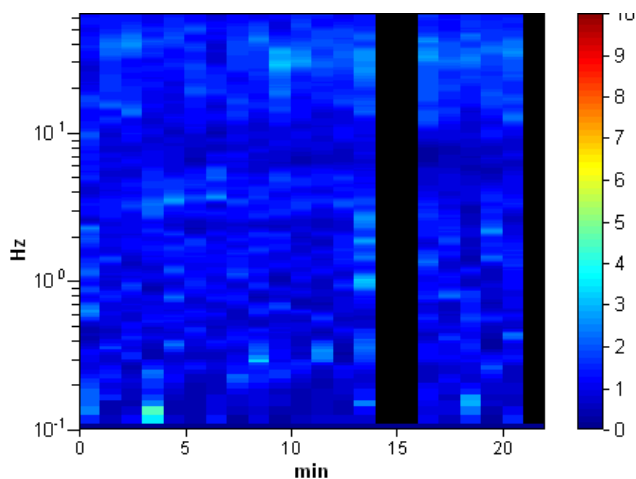
Lisciamento: 10%

RAPPORTO SPETTRALE ORIZZONTALE SU VERTICALE

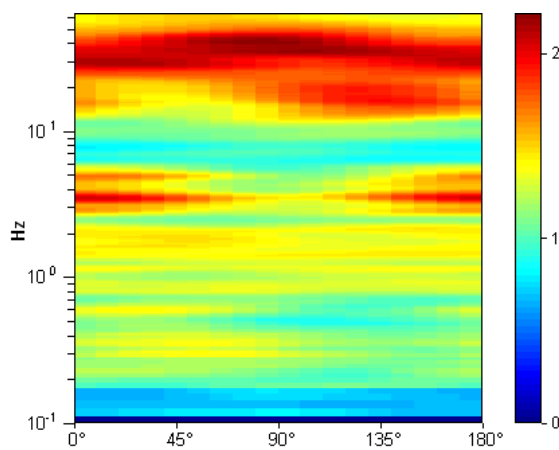
Max. H/V at 34.67 ± 6.84 Hz. (In the range 0.0 - 64.0 Hz).



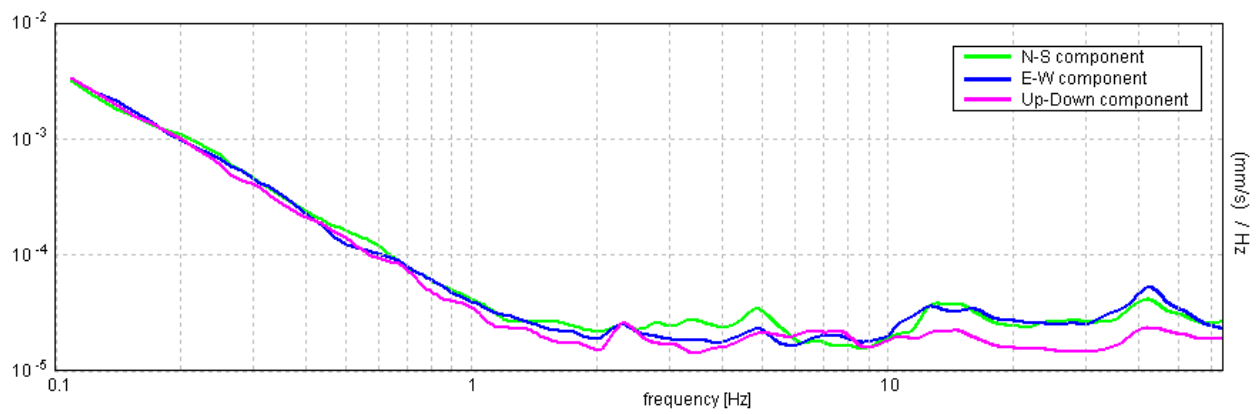
SERIE TEMPORALE H/V



DIREZIONALITA' H/V

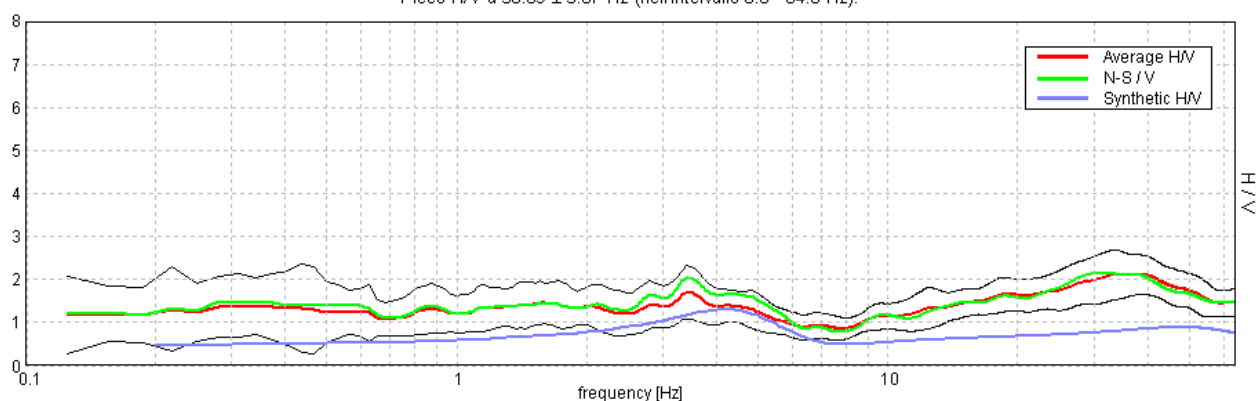


SPETTRI DELLE SINGOLE COMPONENTI



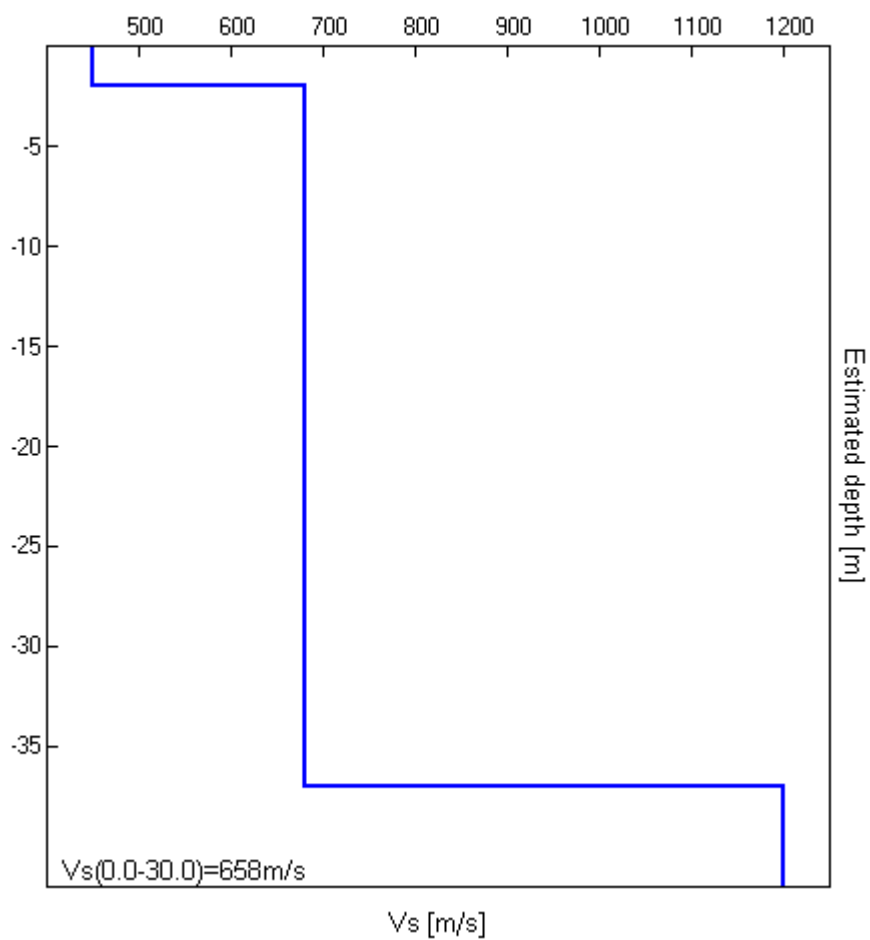
H/V SPERIMENTALE vs. H/V SINTETICO

Picco H/V a 38.09 ± 3.07 Hz (nell'intervallo 0.0 - 64.0 Hz).



Profondità alla base dello strato [m]	Spessore [m]	Vs [m/s]	Rapporto di Poisson
2.00	2.00	450	0.35
37.00	35.00	680	0.35
inf.	inf.	1200	0.35

$V_s(0.0-30.0)=658\text{m/s}$



[Secondo le linee guida SESAME, 2005. **Si raccomanda di leggere attentamente il manuale di Grilla prima di interpretare la tabella seguente**].

Picco H/V a 34.67 ± 6.84 Hz (nell'intervallo 0.0 - 64.0 Hz).

Criteri per una curva H/V affidabile

[Tutti 3 dovrebbero risultare soddisfatti]

$f_0 > 10 / L_w$	$34.67 > 0.17$	OK	
$n_c(f_0) > 200$	$39525.9 > 200$	OK	
$\sigma_A(f) < 2$ per $0.5f_0 < f < 2f_0$ se $f_0 > 0.5\text{Hz}$ $\sigma_A(f) < 3$ per $0.5f_0 < f < 2f_0$ se $f_0 < 0.5\text{Hz}$	Superato 0 volte su 2988	OK	

Criteri per un picco H/V chiaro

[Almeno 5 su 6 dovrebbero essere soddisfatti]

Esiste f^- in $[f_0/4, f_0]$ $A_{H/V}(f^-) < A_0 / 2$	8.719 Hz	OK	
Esiste f^+ in $[f_0, 4f_0]$ $A_{H/V}(f^+) < A_0 / 2$			NO
$A_0 > 2$	$2.09 > 2$	OK	
$f_{\text{picco}}[A_{H/V}(f) \pm \sigma_A(f)] = f_0 \pm 5\%$	$ 0.09133 < 0.05$		NO
$\sigma_f < \varepsilon(f_0)$	$3.16642 < 1.73359$		NO
$\sigma_A(f_0) < \theta(f_0)$	$0.2483 < 1.58$	OK	

L_w	lunghezza della finestra
n_w	numero di finestre usate nell'analisi
$n_c = L_w n_w f_0$	numero di cicli significativi
f	frequenza attuale
f_0	frequenza del picco H/V
σ_f	deviazione standard della frequenza del picco H/V
$\varepsilon(f_0)$	valore di soglia per la condizione di stabilità $\sigma_f < \varepsilon(f_0)$
A_0	ampiezza della curva H/V alla frequenza f_0
$A_{H/V}(f)$	ampiezza della curva H/V alla frequenza f
f^-	frequenza tra $f_0/4$ e f_0 alla quale $A_{H/V}(f^-) < A_0/2$
f^+	frequenza tra f_0 e $4f_0$ alla quale $A_{H/V}(f^+) < A_0/2$
$\sigma_A(f)$	deviazione standard di $A_{H/V}(f)$, $\sigma_A(f)$ è il fattore per il quale la curva $A_{H/V}(f)$ media deve essere moltiplicata o divisa
$\sigma_{\log H/V}(f)$	deviazione standard della funzione $\log A_{H/V}(f)$
$\theta(f_0)$	valore di soglia per la condizione di stabilità $\sigma_A(f) < \theta(f_0)$

Valori di soglia per σ_f e $\sigma_A(f_0)$

Intervallo di freq. [Hz]	< 0.2	0.2 – 0.5	0.5 – 1.0	1.0 – 2.0	> 2.0
$\varepsilon(f_0)$ [Hz]	$0.25 f_0$	$0.2 f_0$	$0.15 f_0$	$0.10 f_0$	$0.05 f_0$
$\theta(f_0)$ per $\sigma_A(f_0)$	3.0	2.5	2.0	1.78	1.58
$\log \theta(f_0)$ per $\sigma_{\log H/V}(f_0)$	0.48	0.40	0.30	0.25	0.20

Chitignano 39

Strumento: TRZ-0135/01-11

Inizio registrazione: 03/01/00 16:35:50 Fine registrazione: 03/01/00 16:57:50

Nomi canali: NORTH SOUTH; EAST WEST ; UP DOWN

Dato GPS non disponibile

Durata registrazione: 0h22'00".

Analizzato 77% tracciato (selezione manuale)

Freq. campionamento: 128 Hz

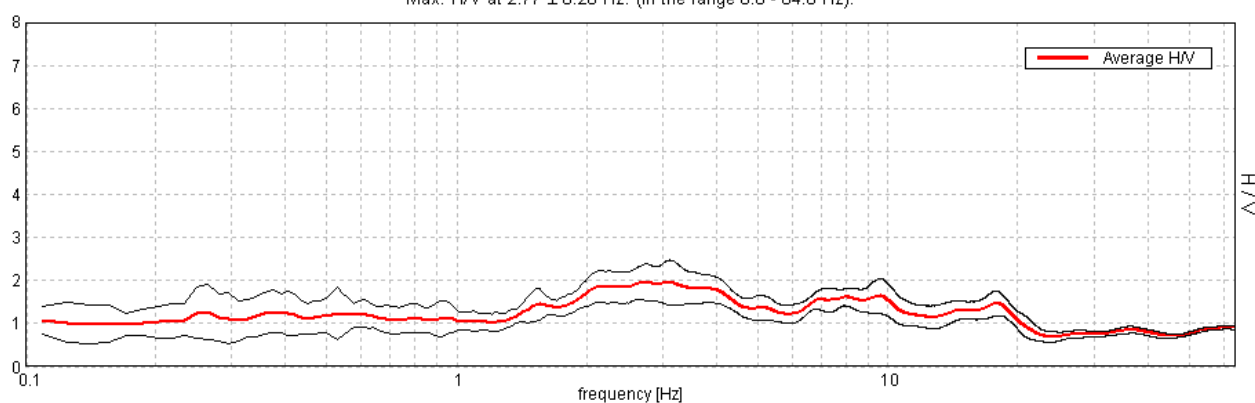
Lunghezza finestre: 60 s

Tipo di lisciamento: Triangular window

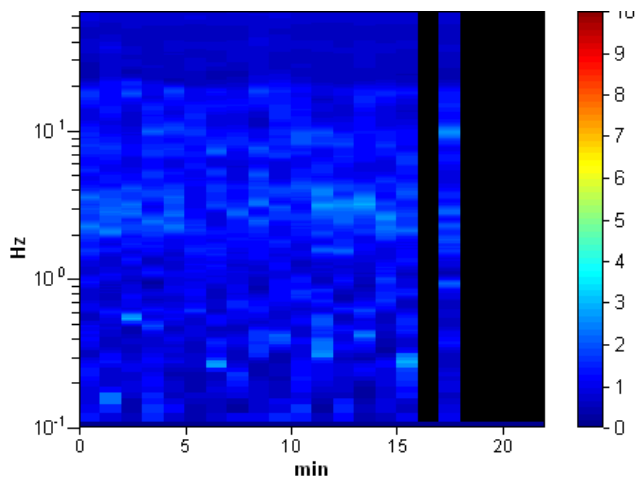
Lisciamento: 10%

RAPPORTO SPETTRALE ORIZZONTALE SU VERTICALE

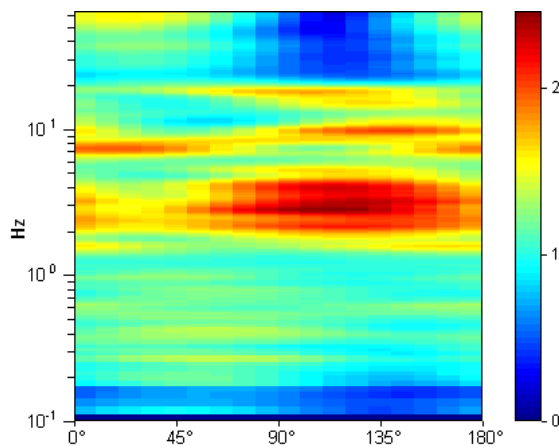
Max. H/V at 2.77 ± 0.26 Hz. (In the range 0.0 - 64.0 Hz).



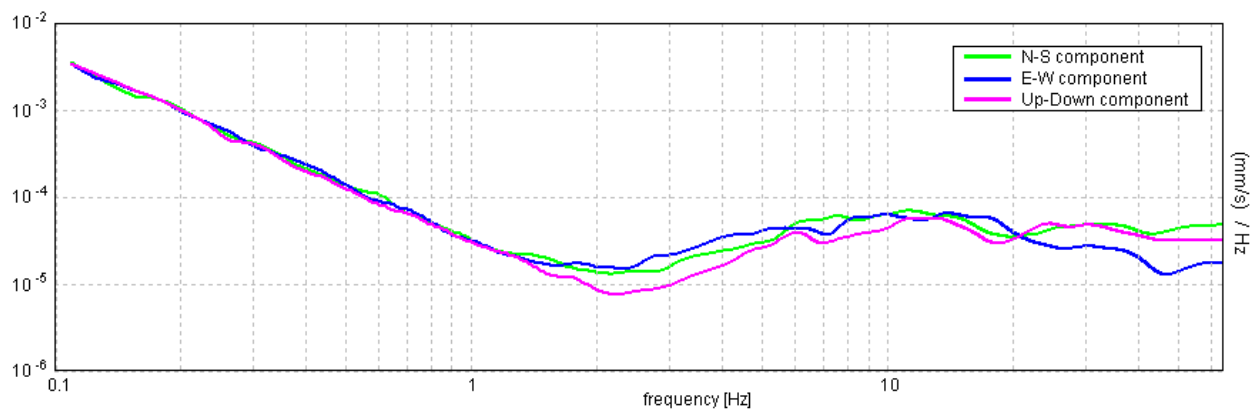
SERIE TEMPORALE H/V



DIREZIONALITA' H/V

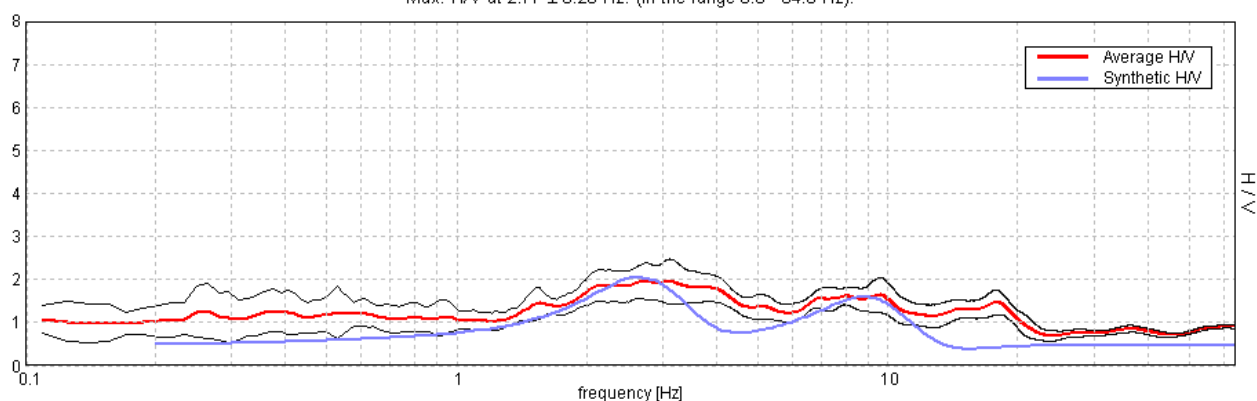


SPETTRI DELLE SINGOLE COMPONENTI



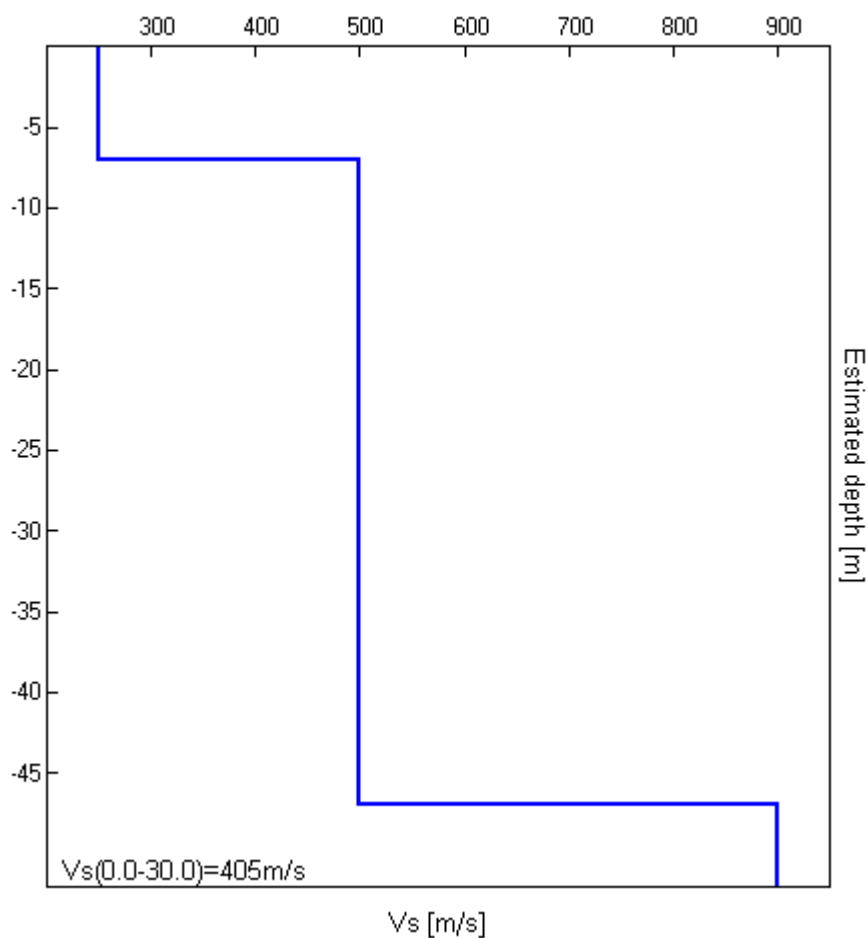
H/V SPERIMENTALE vs. H/V SINTETICO

Max. H/V at 2.77 ± 0.26 Hz. (In the range 0.0 - 64.0 Hz).



Profondità alla base dello strato [m]	Spessore [m]	Vs [m/s]	Rapporto di Poisson
7.00	7.00	250	0.35
47.00	40.00	500	0.35
inf.	inf.	900	0.35

$V_s(0.0-30.0)=405\text{m/s}$



[Secondo le linee guida SESAME, 2005. **Si raccomanda di leggere attentamente il manuale di Grilla prima di interpretare la tabella seguente**].

Picco H/V a 2.77 ± 0.26 Hz (nell'intervallo 0.0 - 64.0 Hz).

Criteri per una curva H/V affidabile

[Tutti 3 dovrebbero risultare soddisfatti]

$f_0 > 10 / L_w$	$2.77 > 0.17$	OK	
$n_c(f_0) > 200$	$2820.9 > 200$	OK	
$\sigma_A(f) < 2$ per $0.5f_0 < f < 2f_0$ se $f_0 > 0.5\text{Hz}$ $\sigma_A(f) < 3$ per $0.5f_0 < f < 2f_0$ se $f_0 < 0.5\text{Hz}$	Superato 0 volte su 266	OK	

Criteri per un picco H/V chiaro

[Almeno 5 su 6 dovrebbero essere soddisfatti]

Esiste f^- in $[f_0/4, f_0]$ $A_{H/V}(f^-) < A_0 / 2$			NO
Esiste f^+ in $[f_0, 4f_0]$ $A_{H/V}(f^+) < A_0 / 2$			NO
$A_0 > 2$	$1.96 > 2$		NO
$f_{\text{picco}}[A_{H/V}(f) \pm \sigma_A(f)] = f_0 \pm 5\%$	$ 0.04286 < 0.05$	OK	
$\sigma_f < \varepsilon(f_0)$	$0.11854 < 0.13828$	OK	
$\sigma_A(f_0) < \theta(f_0)$	$0.1951 < 1.58$	OK	

L_w	lunghezza della finestra
n_w	numero di finestre usate nell'analisi
$n_c = L_w n_w f_0$	numero di cicli significativi
f	frequenza attuale
f_0	frequenza del picco H/V
σ_f	deviazione standard della frequenza del picco H/V
$\varepsilon(f_0)$	valore di soglia per la condizione di stabilità $\sigma_f < \varepsilon(f_0)$
A_0	ampiezza della curva H/V alla frequenza f_0
$A_{H/V}(f)$	ampiezza della curva H/V alla frequenza f
f^-	frequenza tra $f_0/4$ e f_0 alla quale $A_{H/V}(f^-) < A_0/2$
f^+	frequenza tra f_0 e $4f_0$ alla quale $A_{H/V}(f^+) < A_0/2$
$\sigma_A(f)$	deviazione standard di $A_{H/V}(f)$, $\sigma_A(f)$ è il fattore per il quale la curva $A_{H/V}(f)$ media deve essere moltiplicata o divisa
$\sigma_{\log H/V}(f)$	deviazione standard della funzione $\log A_{H/V}(f)$
$\theta(f_0)$	valore di soglia per la condizione di stabilità $\sigma_A(f) < \theta(f_0)$

Valori di soglia per σ_f e $\sigma_A(f_0)$

Intervallo di freq. [Hz]	< 0.2	0.2 – 0.5	0.5 – 1.0	1.0 – 2.0	> 2.0
$\varepsilon(f_0)$ [Hz]	$0.25 f_0$	$0.2 f_0$	$0.15 f_0$	$0.10 f_0$	$0.05 f_0$
$\theta(f_0)$ per $\sigma_A(f_0)$	3.0	2.5	2.0	1.78	1.58
$\log \theta(f_0)$ per $\sigma_{\log H/V}(f_0)$	0.48	0.40	0.30	0.25	0.20

Chitignano 40

Strumento: TRZ-0135/01-11

Inizio registrazione: 03/01/00 17:07:40 Fine registrazione: 03/01/00 17:29:40

Nomi canali: NORTH SOUTH; EAST WEST ; UP DOWN

Dato GPS non disponibile

Durata registrazione: 0h22'00".

Analizzato 86% tracciato (selezione manuale)

Freq. campionamento: 128 Hz

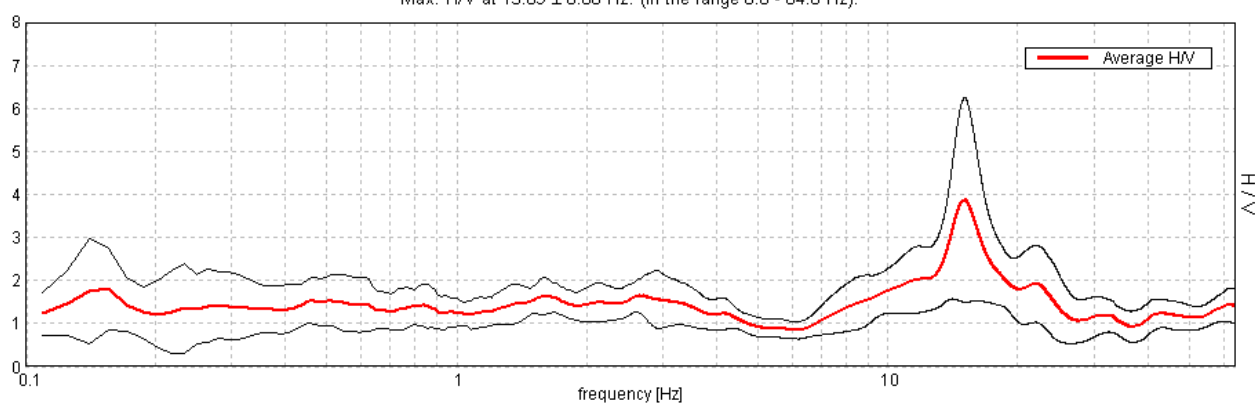
Lunghezza finestre: 60 s

Tipo di lisciamento: Triangular window

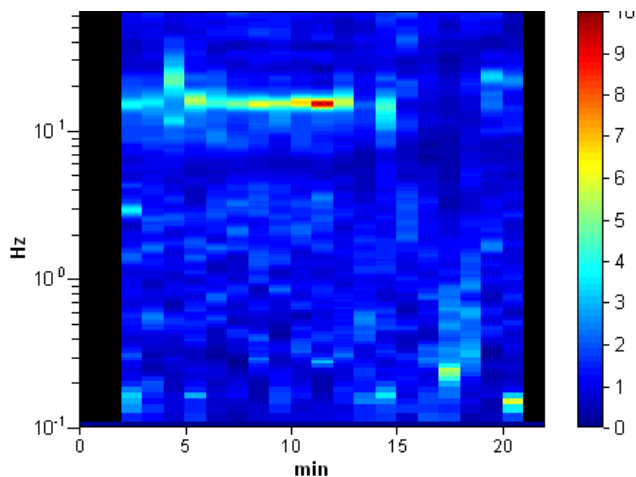
Lisciamento: 10%

RAPPORTO SPETTRALE ORIZZONTALE SU VERTICALE

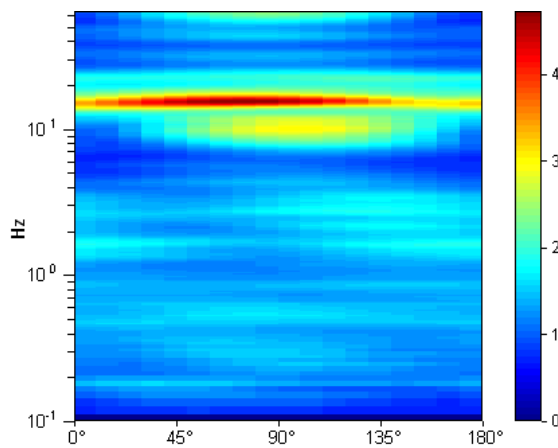
Max. H/V at 15.09 ± 0.06 Hz. (In the range 0.0 - 64.0 Hz).



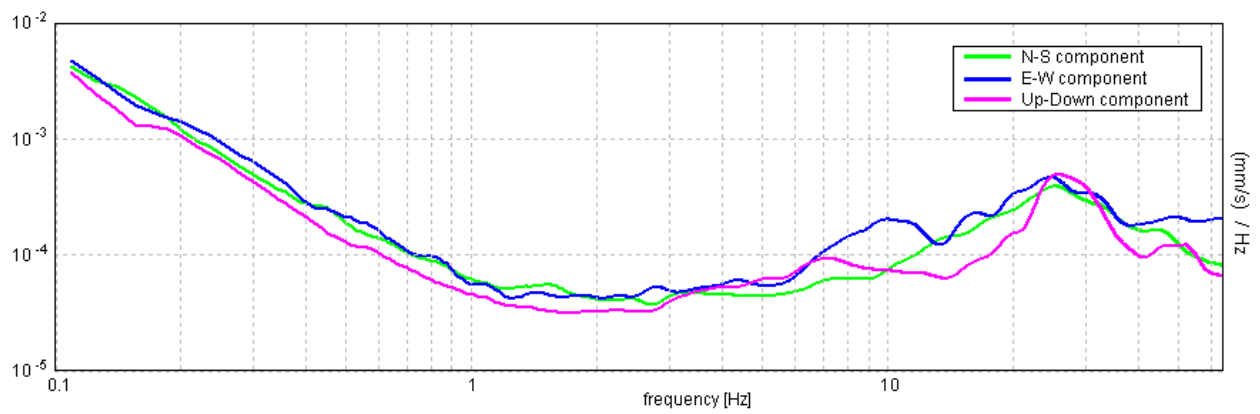
SERIE TEMPORALE H/V



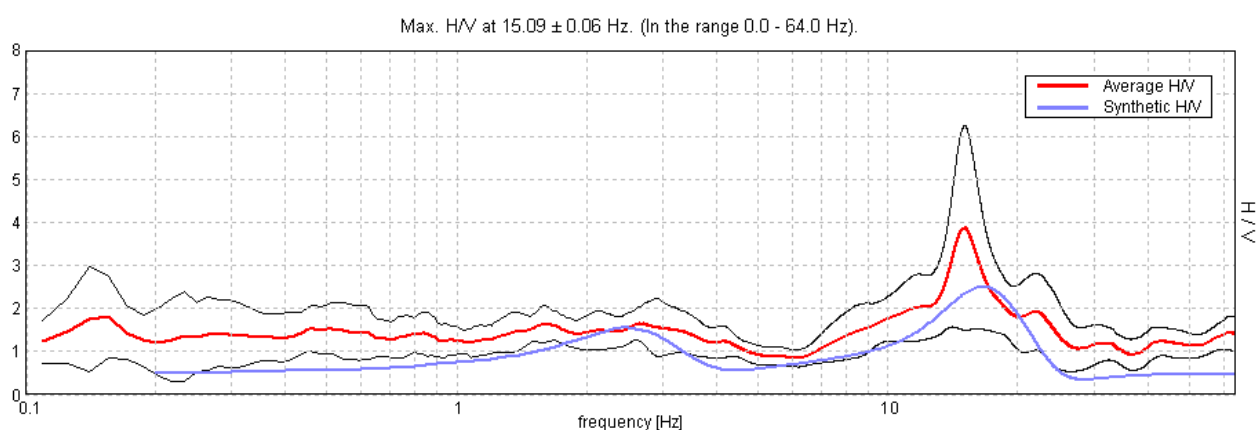
DIREZIONALITA' H/V



SPETTRI DELLE SINGOLE COMPONENTI

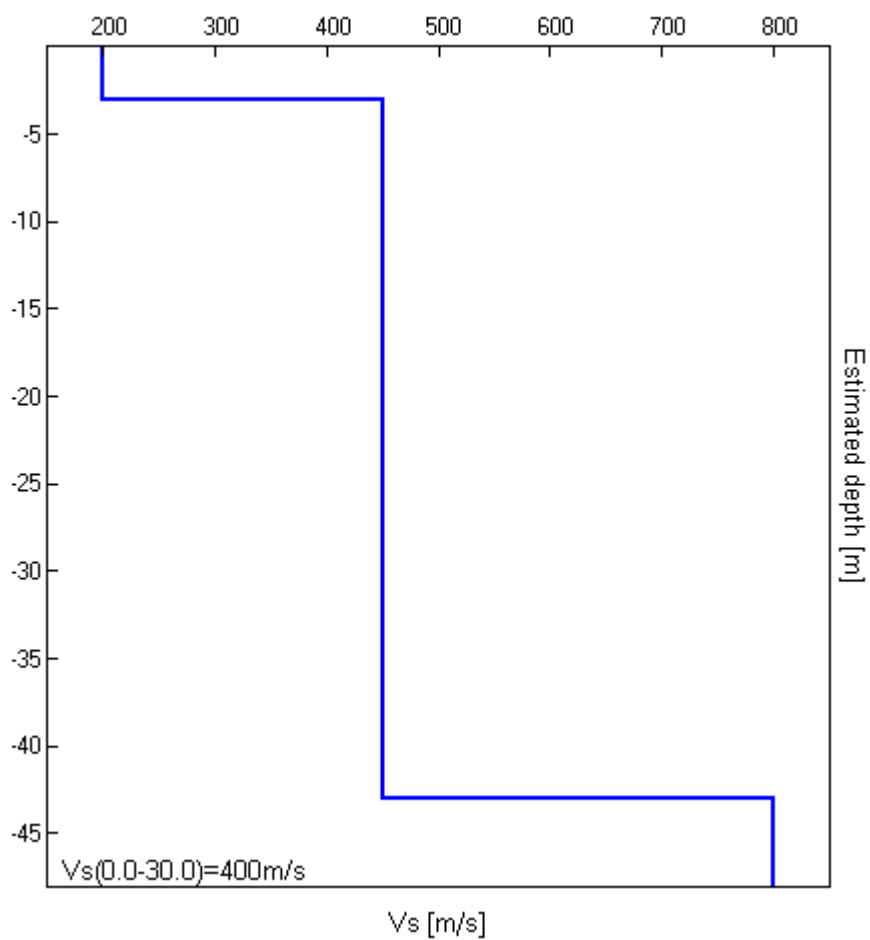


H/V SPERIMENTALE vs. H/V SINTETICO



Profondità alla base dello strato [m]	Spessore [m]	Vs [m/s]	Rapporto di Poisson
3.00	3.00	200	0.35
43.00	40.00	450	0.35
inf.	inf.	800	0.35

$V_s(0.0-30.0)=400\text{m/s}$



[Secondo le linee guida SESAME, 2005. **Si raccomanda di leggere attentamente il manuale di Grilla prima di interpretare la tabella seguente**].

Picco H/V a 15.09 ± 0.06 Hz (nell'intervallo 0.0 - 64.0 Hz).

Criteri per una curva H/V affidabile

[Tutti 3 dovrebbero risultare soddisfatti]

$f_0 > 10 / L_w$	$15.09 > 0.17$	OK	
$n_c(f_0) > 200$	$17206.9 > 200$	OK	
$\sigma_A(f) < 2$ per $0.5f_0 < f < 2f_0$ se $f_0 > 0.5\text{Hz}$ $\sigma_A(f) < 3$ per $0.5f_0 < f < 2f_0$ se $f_0 < 0.5\text{Hz}$	Superato 83 volte su 1450		NO

Criteri per un picco H/V chiaro

[Almeno 5 su 6 dovrebbero essere soddisfatti]

Esiste f^- in $[f_0/4, f_0]$ $A_{H/V}(f^-) < A_0 / 2$	11.016 Hz	OK	
Esiste f^+ in $[f_0, 4f_0]$ $A_{H/V}(f^+) < A_0 / 2$	19.016 Hz	OK	
$A_0 > 2$	$3.88 > 2$	OK	
$f_{\text{picco}}[A_{H/V}(f) \pm \sigma_A(f)] = f_0 \pm 5\%$	$ 0.00178 < 0.05$	OK	
$\sigma_f < \varepsilon(f_0)$	$0.02693 < 0.75469$	OK	
$\sigma_A(f_0) < \theta(f_0)$	$1.1044 < 1.58$	OK	

L_w	lunghezza della finestra
n_w	numero di finestre usate nell'analisi
$n_c = L_w n_w f_0$	numero di cicli significativi
f	frequenza attuale
f_0	frequenza del picco H/V
σ_f	deviazione standard della frequenza del picco H/V
$\varepsilon(f_0)$	valore di soglia per la condizione di stabilità $\sigma_f < \varepsilon(f_0)$
A_0	ampiezza della curva H/V alla frequenza f_0
$A_{H/V}(f)$	ampiezza della curva H/V alla frequenza f
f^-	frequenza tra $f_0/4$ e f_0 alla quale $A_{H/V}(f^-) < A_0/2$
f^+	frequenza tra f_0 e $4f_0$ alla quale $A_{H/V}(f^+) < A_0/2$
$\sigma_A(f)$	deviazione standard di $A_{H/V}(f)$, $\sigma_A(f)$ è il fattore per il quale la curva $A_{H/V}(f)$ media deve essere moltiplicata o divisa
$\sigma_{\log H/V}(f)$	deviazione standard della funzione $\log A_{H/V}(f)$
$\theta(f_0)$	valore di soglia per la condizione di stabilità $\sigma_A(f) < \theta(f_0)$

Valori di soglia per σ_f e $\sigma_A(f_0)$

Intervallo di freq. [Hz]	< 0.2	0.2 – 0.5	0.5 – 1.0	1.0 – 2.0	> 2.0
$\varepsilon(f_0)$ [Hz]	$0.25 f_0$	$0.2 f_0$	$0.15 f_0$	$0.10 f_0$	$0.05 f_0$
$\theta(f_0)$ per $\sigma_A(f_0)$	3.0	2.5	2.0	1.78	1.58
$\log \theta(f_0)$ per $\sigma_{\log H/V}(f_0)$	0.48	0.40	0.30	0.25	0.20

Chitignano 41

Strumento: TRZ-0135/01-11

Inizio registrazione: 03/01/00 17:42:33 Fine registrazione: 03/01/00 18:04:33

Nomi canali: NORTH SOUTH; EAST WEST ; UP DOWN

Dato GPS non disponibile

Durata registrazione: 0h22'00".

Analizzato 77% tracciato (selezione manuale)

Freq. campionamento: 128 Hz

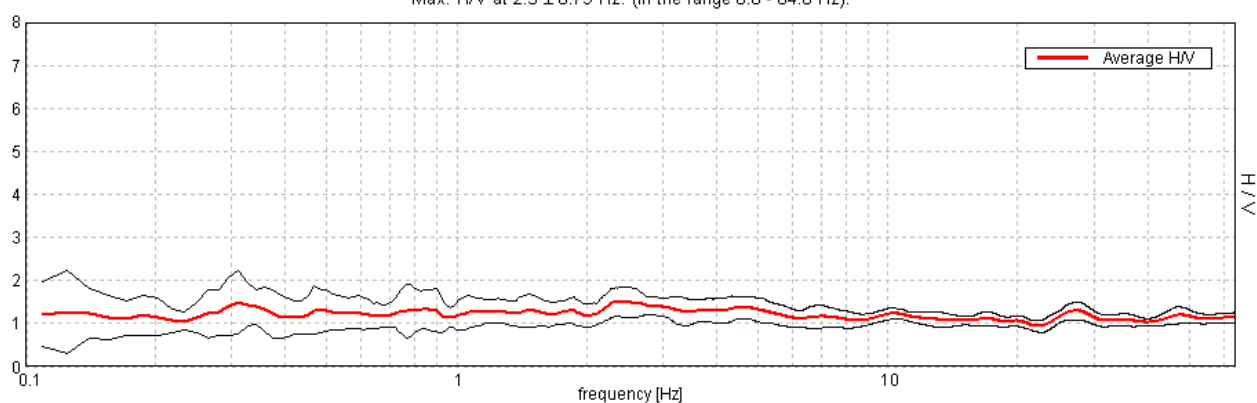
Lunghezza finestre: 60 s

Tipo di lisciamento: Triangular window

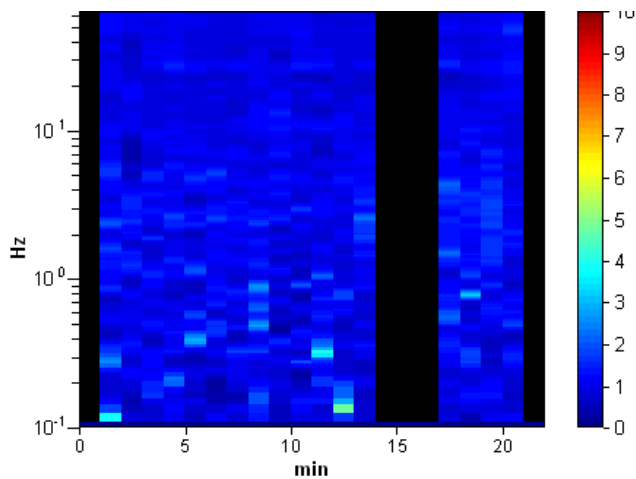
Lisciamento: 10%

RAPPORTO SPETTRALE ORIZZONTALE SU VERTICALE

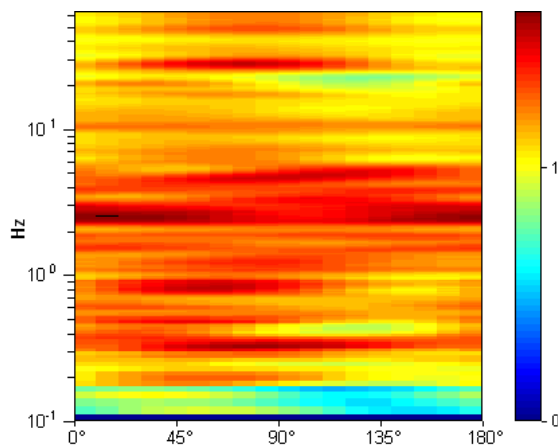
Max. H/V at 2.5 ± 0.79 Hz. (In the range 0.0 - 64.0 Hz).



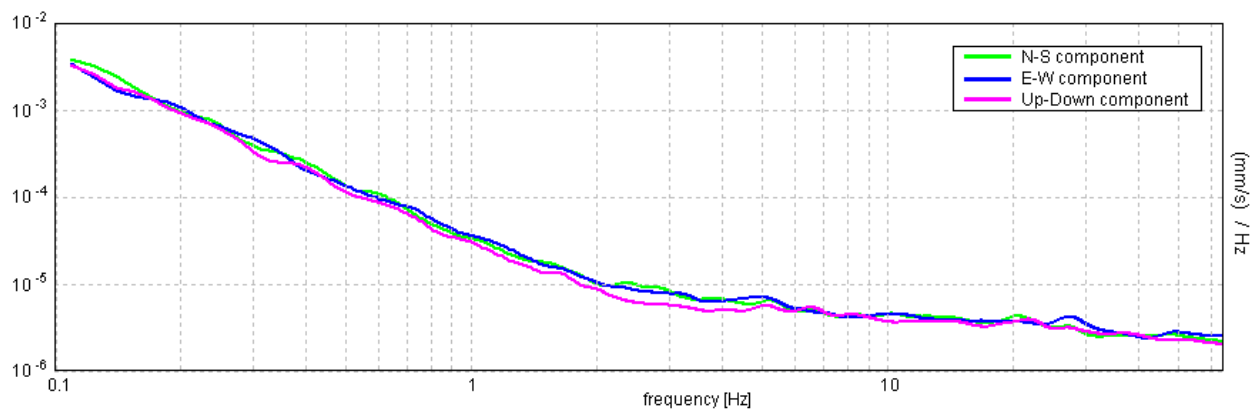
SERIE TEMPORALE H/V



DIREZIONALITA' H/V

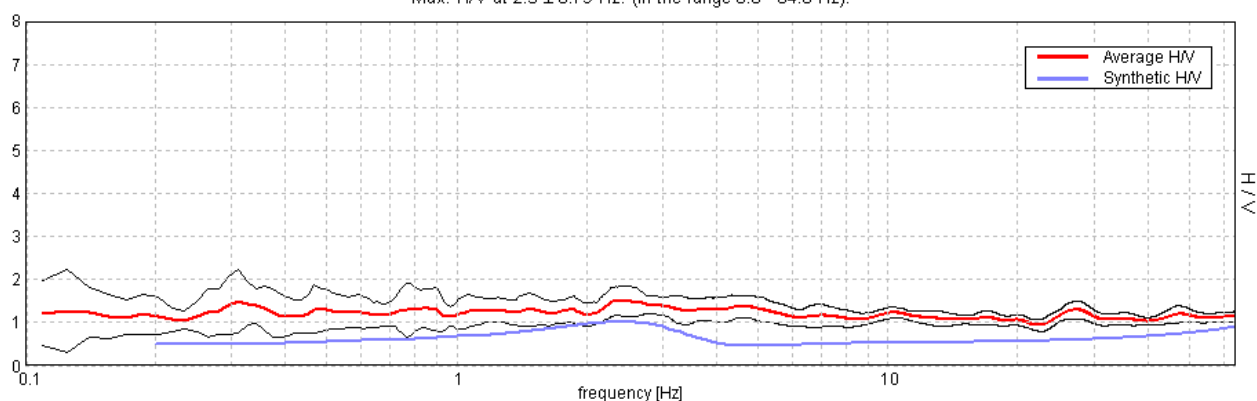


SPETTRI DELLE SINGOLE COMPONENTI



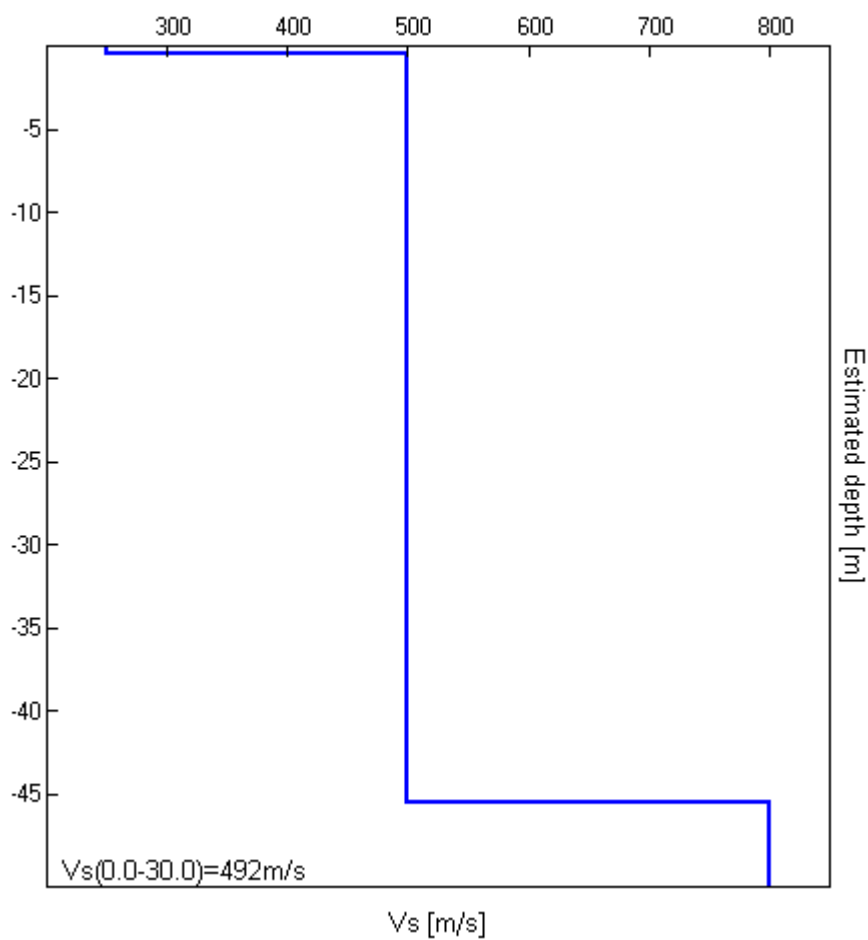
H/V SPERIMENTALE vs. H/V SINTETICO

Max. H/V at 2.5 ± 0.79 Hz. (In the range 0.0 - 64.0 Hz).



Profondità alla base dello strato [m]	Spessore [m]	Vs [m/s]	Rapporto di Poisson
0.50	0.50	250	0.35
45.50	45.00	500	0.35
inf.	inf.	800	0.35

$V_s(0.0-30.0)=492\text{m/s}$



[Secondo le linee guida SESAME, 2005. Si raccomanda di leggere attentamente il manuale di *Grilla* prima di interpretare la tabella seguente].

Picco H/V a 2.5 ± 0.79 Hz (nell'intervallo 0.0 - 64.0 Hz).

Criteri per una curva H/V affidabile

[Tutti 3 dovrebbero risultare soddisfatti]

$f_0 > 10 / L_w$	$2.50 > 0.17$	OK	
$n_c(f_0) > 200$	$2550.0 > 200$	OK	
$\sigma_A(f) < 2$ per $0.5f_0 < f < 2f_0$ se $f_0 > 0.5\text{Hz}$ $\sigma_A(f) < 3$ per $0.5f_0 < f < 2f_0$ se $f_0 < 0.5\text{Hz}$	Superato 0 volte su 241	OK	

Criteri per un picco H/V chiaro

[Almeno 5 su 6 dovrebbero essere soddisfatti]

Esiste f^- in $[f_0/4, f_0]$ $A_{H/V}(f^-) < A_0 / 2$			NO
Esiste f^+ in $[f_0, 4f_0]$ $A_{H/V}(f^+) < A_0 / 2$			NO
$A_0 > 2$	$1.50 > 2$		NO
$f_{\text{picco}}[A_{H/V}(f) \pm \sigma_A(f)] = f_0 \pm 5\%$	$ 0.14372 < 0.05$		NO
$\sigma_f < \varepsilon(f_0)$	$0.3593 < 0.125$		NO
$\sigma_A(f_0) < \theta(f_0)$	$0.1646 < 1.58$	OK	

L_w	lunghezza della finestra
n_w	numero di finestre usate nell'analisi
$n_c = L_w n_w f_0$	numero di cicli significativi
f	frequenza attuale
f_0	frequenza del picco H/V
σ_f	deviazione standard della frequenza del picco H/V
$\varepsilon(f_0)$	valore di soglia per la condizione di stabilità $\sigma_f < \varepsilon(f_0)$
A_0	ampiezza della curva H/V alla frequenza f_0
$A_{H/V}(f)$	ampiezza della curva H/V alla frequenza f
f^-	frequenza tra $f_0/4$ e f_0 alla quale $A_{H/V}(f^-) < A_0/2$
f^+	frequenza tra f_0 e $4f_0$ alla quale $A_{H/V}(f^+) < A_0/2$
$\sigma_A(f)$	deviazione standard di $A_{H/V}(f)$, $\sigma_A(f)$ è il fattore per il quale la curva $A_{H/V}(f)$ media deve essere moltiplicata o divisa
$\sigma_{\log H/V}(f)$	deviazione standard della funzione $\log A_{H/V}(f)$
$\theta(f_0)$	valore di soglia per la condizione di stabilità $\sigma_A(f) < \theta(f_0)$

Valori di soglia per σ_f e $\sigma_A(f_0)$

Intervallo di freq. [Hz]	< 0.2	0.2 – 0.5	0.5 – 1.0	1.0 – 2.0	> 2.0
$\varepsilon(f_0)$ [Hz]	$0.25 f_0$	$0.2 f_0$	$0.15 f_0$	$0.10 f_0$	$0.05 f_0$
$\theta(f_0)$ per $\sigma_A(f_0)$	3.0	2.5	2.0	1.78	1.58
$\log \theta(f_0)$ per $\sigma_{\log H/V}(f_0)$	0.48	0.40	0.30	0.25	0.20

Chitignano 42

Strumento: TRZ-0135/01-11

Inizio registrazione: 03/01/00 18:17:50 Fine registrazione: 03/01/00 18:39:50

Nomi canali: NORTH SOUTH; EAST WEST ; UP DOWN

Dato GPS non disponibile

Durata registrazione: 0h22'00".

Analizzato 73% tracciato (selezione manuale)

Freq. campionamento: 128 Hz

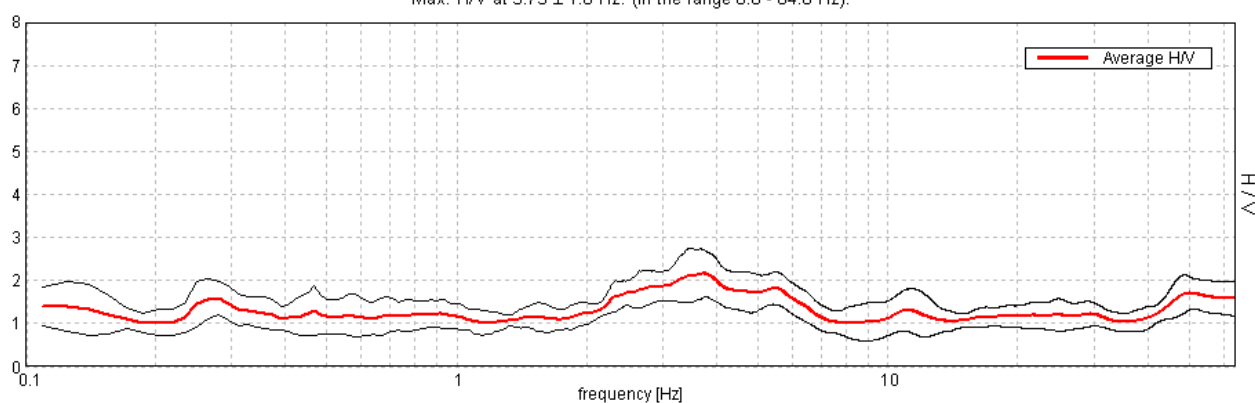
Lunghezza finestre: 60 s

Tipo di lisciamento: Triangular window

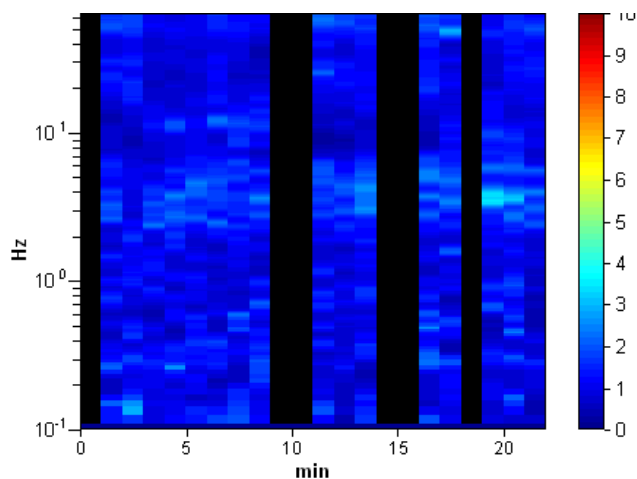
Lisciamento: 10%

RAPPORTO SPETTRALE ORIZZONTALE SU VERTICALE

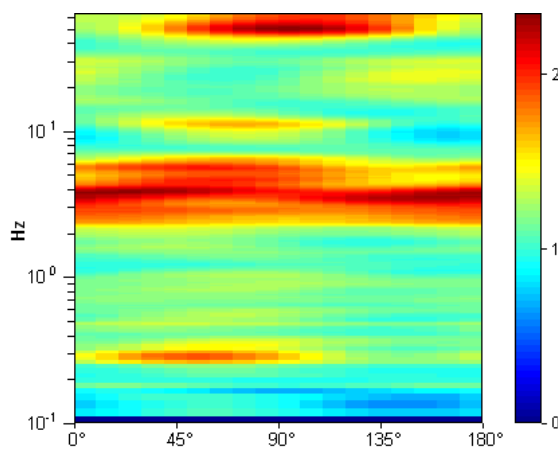
Max. H/V at 3.75 ± 1.0 Hz. (In the range 0.0 - 64.0 Hz).



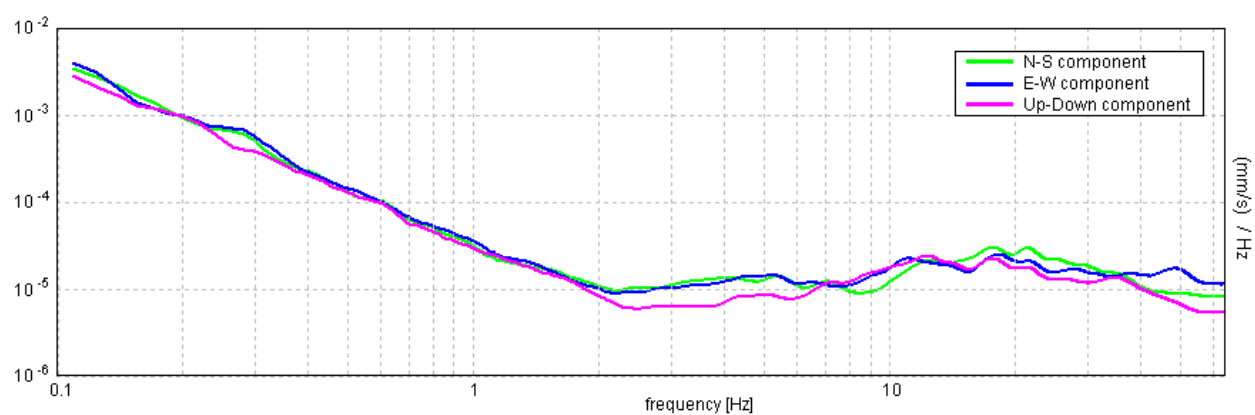
SERIE TEMPORALE H/V



DIREZIONALITA' H/V

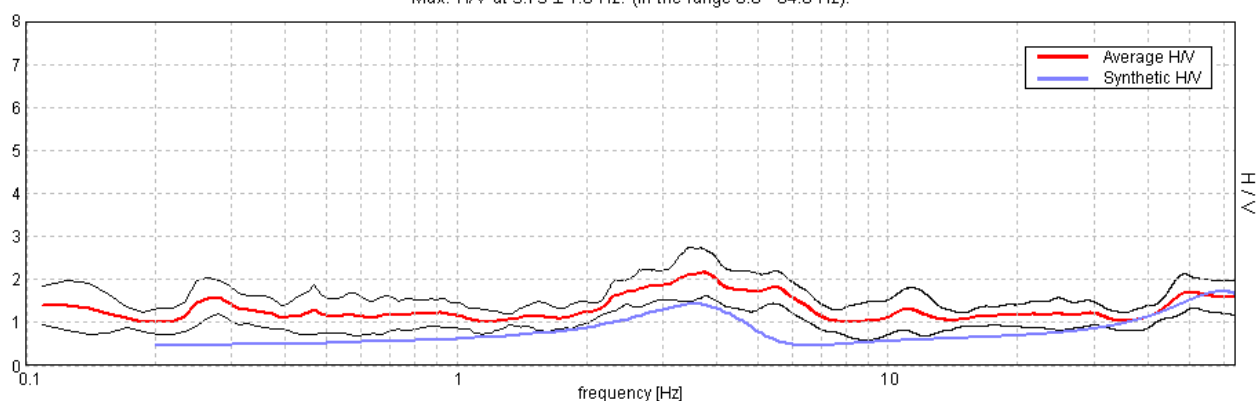


SPETTRI DELLE SINGOLE COMPONENTI



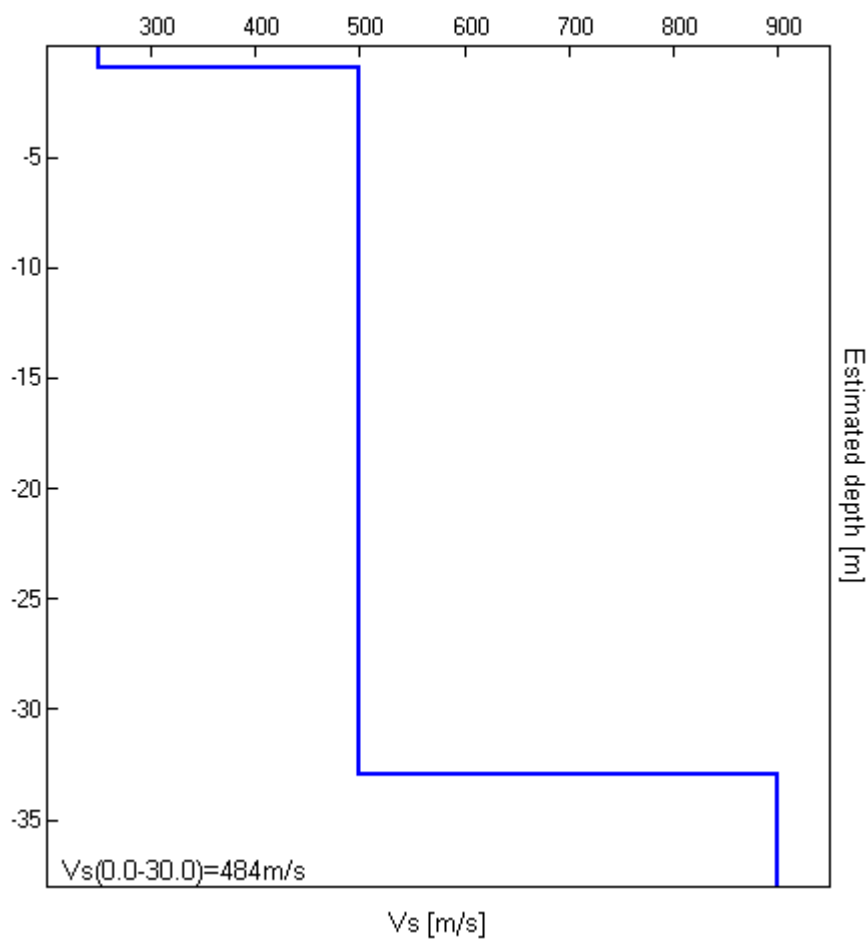
H/V SPERIMENTALE vs. H/V SINTETICO

Max. H/V at 3.75 ± 1.0 Hz. (In the range 0.0 - 64.0 Hz).



Profondità alla base dello strato [m]	Spessore [m]	Vs [m/s]	Rapporto di Poisson
1.00	1.00	250	0.35
33.00	32.00	500	0.35
inf.	inf.	900	0.35

$V_s(0.0-30.0)=484\text{m/s}$



[Secondo le linee guida SESAME, 2005. **Si raccomanda di leggere attentamente il manuale di Grilla prima di interpretare la tabella seguente**].

Picco H/V a 3.75 ± 1.0 Hz (nell'intervallo 0.0 - 64.0 Hz).

Criteri per una curva H/V affidabile

[Tutti 3 dovrebbero risultare soddisfatti]

$f_0 > 10 / L_w$	$3.75 > 0.17$	OK	
$n_c(f_0) > 200$	$3600.0 > 200$	OK	
$\sigma_A(f) < 2$ per $0.5f_0 < f < 2f_0$ se $f_0 > 0.5\text{Hz}$ $\sigma_A(f) < 3$ per $0.5f_0 < f < 2f_0$ se $f_0 < 0.5\text{Hz}$	Superato 0 volte su 361	OK	

Criteri per un picco H/V chiaro

[Almeno 5 su 6 dovrebbero essere soddisfatti]

Esiste f^- in $[f_0/4, f_0]$ $A_{H/V}(f^-) < A_0 / 2$	1.328 Hz	OK	
Esiste f^+ in $[f_0, 4f_0]$ $A_{H/V}(f^+) < A_0 / 2$	7.219 Hz	OK	
$A_0 > 2$	$2.16 > 2$	OK	
$f_{\text{picco}}[A_{H/V}(f) \pm \sigma_A(f)] = f_0 \pm 5\%$	$ 0.12165 < 0.05$		NO
$\sigma_f < \varepsilon(f_0)$	$0.4562 < 0.1875$		NO
$\sigma_A(f_0) < \theta(f_0)$	$0.2509 < 1.58$	OK	

L_w	lunghezza della finestra
n_w	numero di finestre usate nell'analisi
$n_c = L_w n_w f_0$	numero di cicli significativi
f	frequenza attuale
f_0	frequenza del picco H/V
σ_f	deviazione standard della frequenza del picco H/V
$\varepsilon(f_0)$	valore di soglia per la condizione di stabilità $\sigma_f < \varepsilon(f_0)$
A_0	ampiezza della curva H/V alla frequenza f_0
$A_{H/V}(f)$	ampiezza della curva H/V alla frequenza f
f^-	frequenza tra $f_0/4$ e f_0 alla quale $A_{H/V}(f^-) < A_0/2$
f^+	frequenza tra f_0 e $4f_0$ alla quale $A_{H/V}(f^+) < A_0/2$
$\sigma_A(f)$	deviazione standard di $A_{H/V}(f)$, $\sigma_A(f)$ è il fattore per il quale la curva $A_{H/V}(f)$ media deve essere moltiplicata o divisa
$\sigma_{\log H/V}(f)$	deviazione standard della funzione $\log A_{H/V}(f)$
$\theta(f_0)$	valore di soglia per la condizione di stabilità $\sigma_A(f) < \theta(f_0)$

Valori di soglia per σ_f e $\sigma_A(f_0)$

Intervallo di freq. [Hz]	< 0.2	0.2 – 0.5	0.5 – 1.0	1.0 – 2.0	> 2.0
$\varepsilon(f_0)$ [Hz]	$0.25 f_0$	$0.2 f_0$	$0.15 f_0$	$0.10 f_0$	$0.05 f_0$
$\theta(f_0)$ per $\sigma_A(f_0)$	3.0	2.5	2.0	1.78	1.58
$\log \theta(f_0)$ per $\sigma_{\log H/V}(f_0)$	0.48	0.40	0.30	0.25	0.20

CHITIGNANO 43

Strumento: TRZ-0135/01-11

Inizio registrazione: 04/04/13 10:45:28 Fine registrazione: 04/04/13 11:07:28

Nomi canali: NORTH SOUTH; EAST WEST ; UP DOWN

Dato GPS non disponibile

Durata registrazione: 0h22'00".

Analizzato 86% tracciato (selezione manuale)

Freq. campionamento: 128 Hz

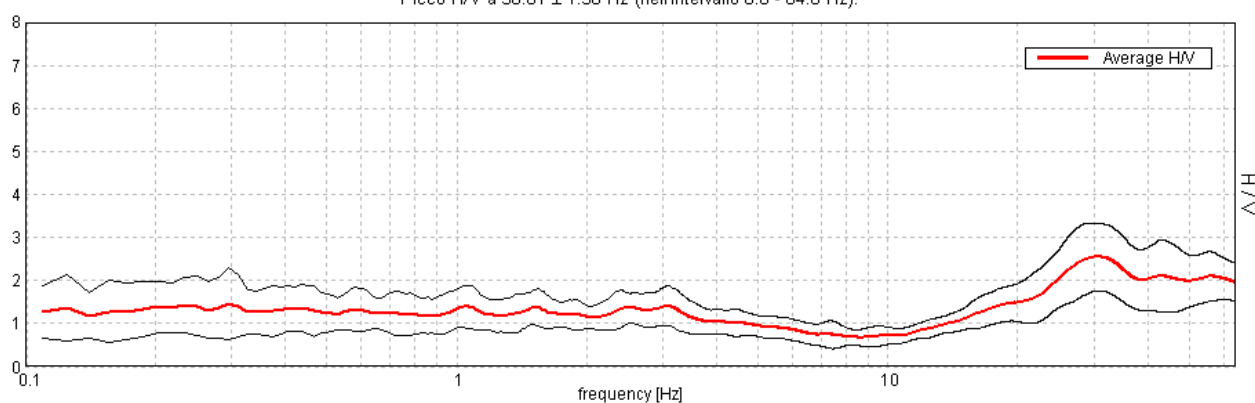
Lunghezza finestre: 60 s

Tipo di lisciamento: Triangular window

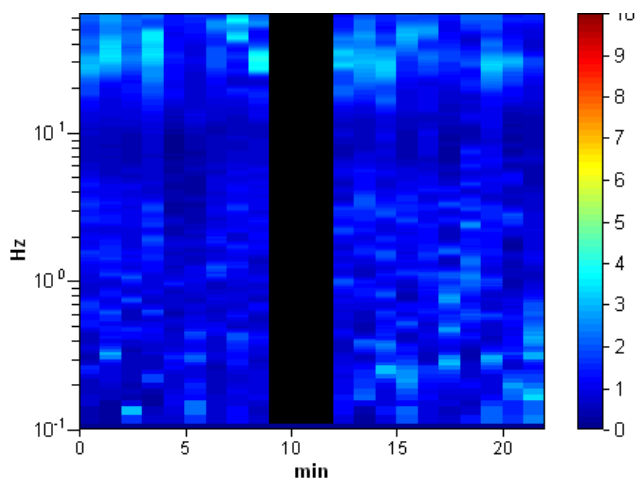
Lisciamento: 10%

RAPPORTO SPETTRALE ORIZZONTALE SU VERTICALE

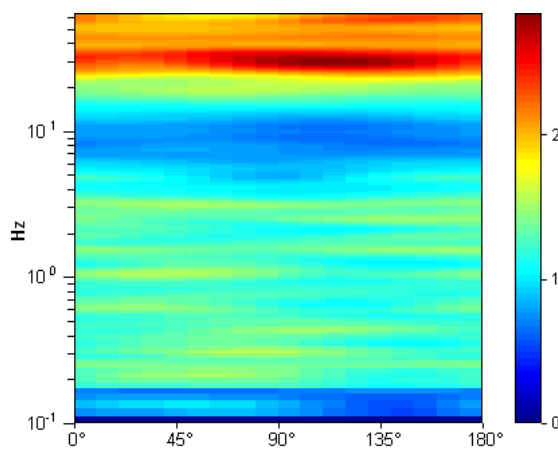
Picco H/V a 30.61 ± 1.56 Hz (nell'intervallo 0.0 - 64.0 Hz).



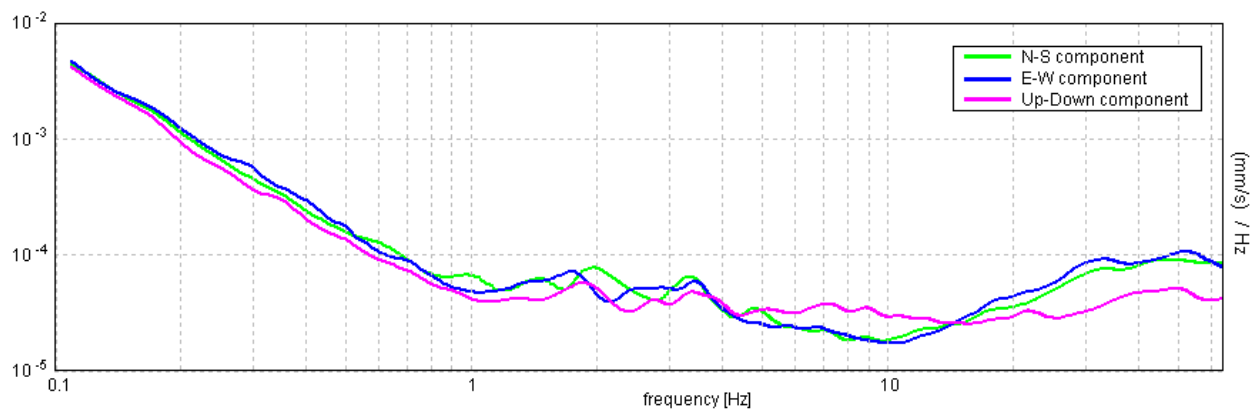
SERIE TEMPORALE H/V



DIREZIONALITA' H/V

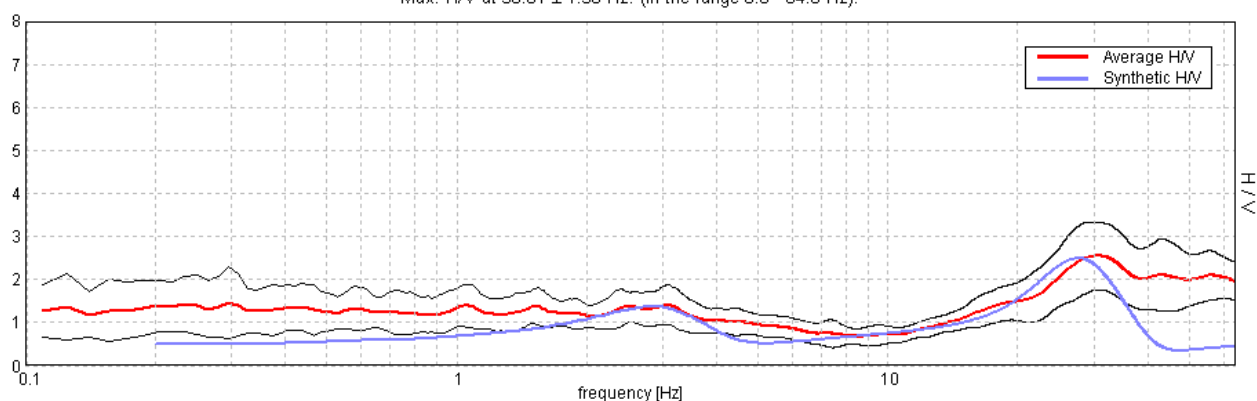


SPETTRI DELLE SINGOLE COMPONENTI



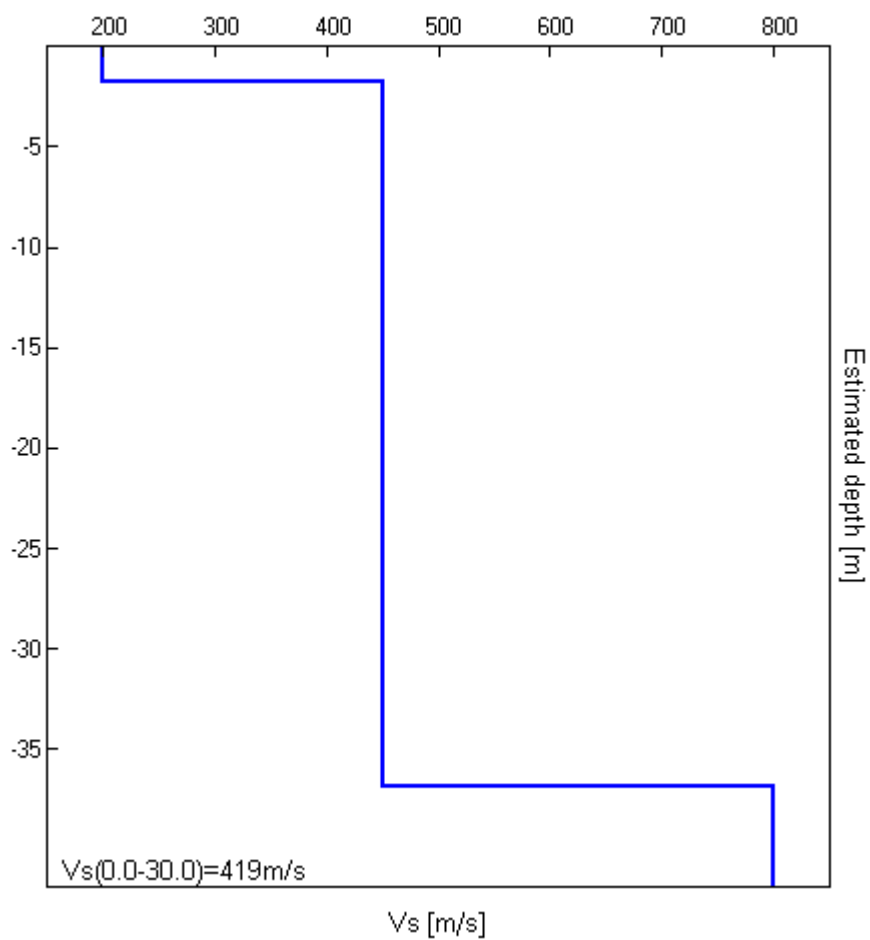
H/V SPERIMENTALE vs. H/V SINTETICO

Max. H/V at 30.61 ± 1.56 Hz. (In the range 0.0 - 64.0 Hz).



Profondità alla base dello strato [m]	Spessore [m]	Vs [m/s]	Rapporto di Poisson
1.80	1.80	200	0.35
36.80	35.00	450	0.35
inf.	inf.	800	0.35

$V_s(0.0-30.0)=419\text{m/s}$



[Secondo le linee guida SESAME, 2005. **Si raccomanda di leggere attentamente il manuale di Grilla prima di interpretare la tabella seguente**].

Picco H/V a 30.61 ± 1.56 Hz (nell'intervallo 0.0 - 64.0 Hz).

Criteri per una curva H/V affidabile

[Tutti 3 dovrebbero risultare soddisfatti]

$f_0 > 10 / L_w$	$30.61 > 0.17$	OK	
$n_c(f_0) > 200$	$34894.7 > 200$	OK	
$\sigma_A(f) < 2$ per $0.5f_0 < f < 2f_0$ se $f_0 > 0.5\text{Hz}$ $\sigma_A(f) < 3$ per $0.5f_0 < f < 2f_0$ se $f_0 < 0.5\text{Hz}$	Superato 0 volte su 2940	OK	

Criteri per un picco H/V chiaro

[Almeno 5 su 6 dovrebbero essere soddisfatti]

Esiste f^- in $[f_0/4, f_0]$ $A_{H/V}(f^-) < A_0 / 2$	16.516 Hz	OK	
Esiste f^+ in $[f_0, 4f_0]$ $A_{H/V}(f^+) < A_0 / 2$			NO
$A_0 > 2$	$2.55 > 2$	OK	
$f_{\text{picco}}[A_{H/V}(f) \pm \sigma_A(f)] = f_0 \pm 5\%$	$ 0.02368 < 0.05$	OK	
$\sigma_f < \varepsilon(f_0)$	$0.72471 < 1.53047$	OK	
$\sigma_A(f_0) < \theta(f_0)$	$0.3639 < 1.58$	OK	

L_w	lunghezza della finestra
n_w	numero di finestre usate nell'analisi
$n_c = L_w n_w f_0$	numero di cicli significativi
f	frequenza attuale
f_0	frequenza del picco H/V
σ_f	deviazione standard della frequenza del picco H/V
$\varepsilon(f_0)$	valore di soglia per la condizione di stabilità $\sigma_f < \varepsilon(f_0)$
A_0	ampiezza della curva H/V alla frequenza f_0
$A_{H/V}(f)$	ampiezza della curva H/V alla frequenza f
f^-	frequenza tra $f_0/4$ e f_0 alla quale $A_{H/V}(f^-) < A_0/2$
f^+	frequenza tra f_0 e $4f_0$ alla quale $A_{H/V}(f^+) < A_0/2$
$\sigma_A(f)$	deviazione standard di $A_{H/V}(f)$, $\sigma_A(f)$ è il fattore per il quale la curva $A_{H/V}(f)$ media deve essere moltiplicata o divisa
$\sigma_{\log H/V}(f)$	deviazione standard della funzione $\log A_{H/V}(f)$
$\theta(f_0)$	valore di soglia per la condizione di stabilità $\sigma_A(f) < \theta(f_0)$

Valori di soglia per σ_f e $\sigma_A(f_0)$

Intervallo di freq. [Hz]	< 0.2	0.2 – 0.5	0.5 – 1.0	1.0 – 2.0	> 2.0
$\varepsilon(f_0)$ [Hz]	$0.25 f_0$	$0.2 f_0$	$0.15 f_0$	$0.10 f_0$	$0.05 f_0$
$\theta(f_0)$ per $\sigma_A(f_0)$	3.0	2.5	2.0	1.78	1.58
$\log \theta(f_0)$ per $\sigma_{\log H/V}(f_0)$	0.48	0.40	0.30	0.25	0.20

Chitignano 44

Strumento: TRZ-0135/01-11

Inizio registrazione: 27/06/13 15:28:46 Fine registrazione: 27/06/13 15:50:46

Nomi canali: NORTH SOUTH; EAST WEST; UP DOWN

Dato GPS non disponibile

Durata registrazione: 0h22'00".

Analizzato 68% tracciato (selezione manuale)

Freq. campionamento: 128 Hz

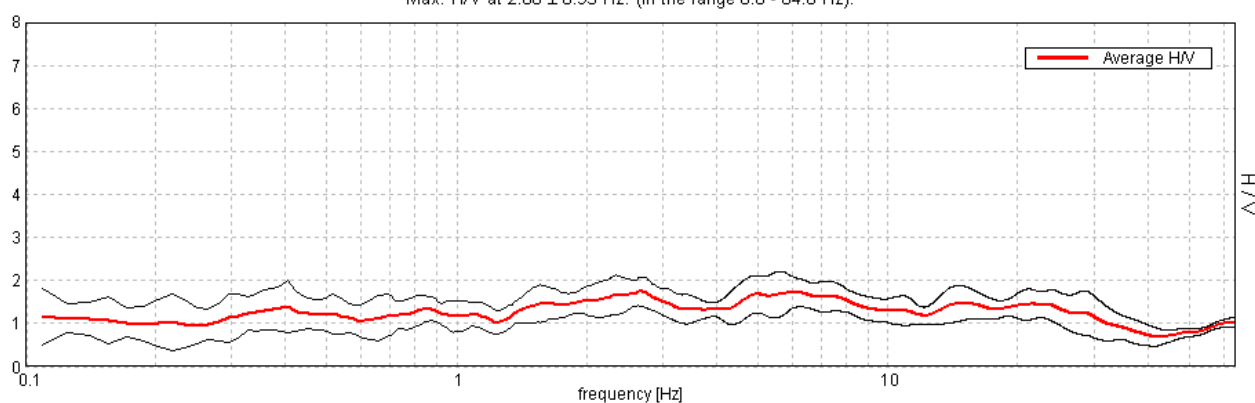
Lunghezza finestre: 60 s

Tipo di lisciamento: Triangular window

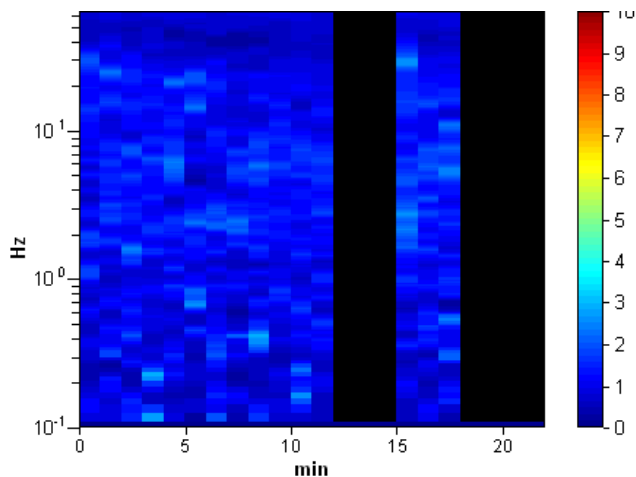
Lisciamento: 10%

RAPPORTO SPETTRALE ORIZZONTALE SU VERTICALE

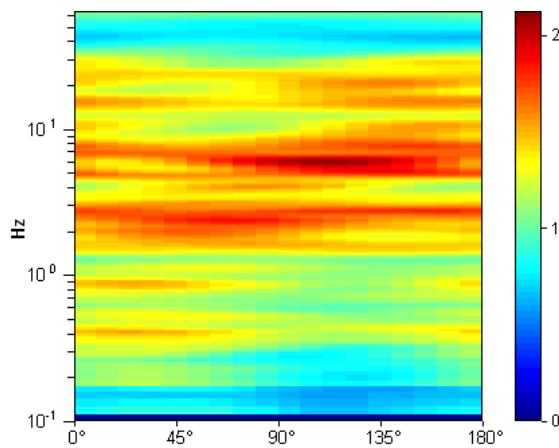
Max. H/V at 2.66 ± 6.93 Hz. (In the range 0.0 - 64.0 Hz).



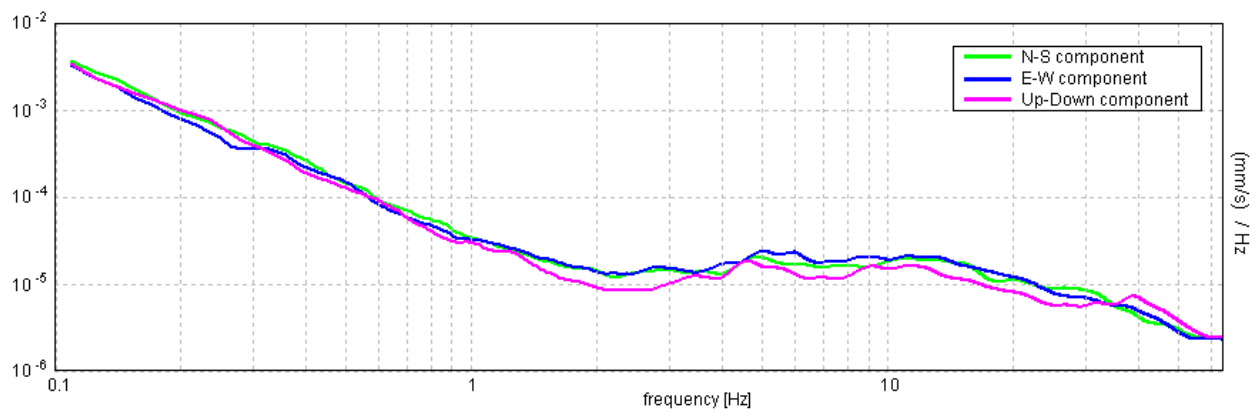
SERIE TEMPORALE H/V



DIREZIONALITA' H/V

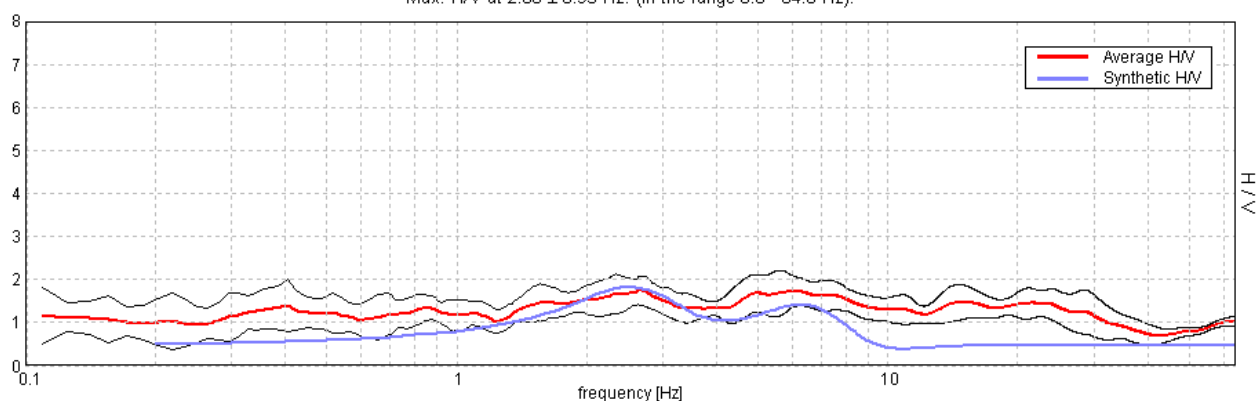


SPETTRI DELLE SINGOLE COMPONENTI



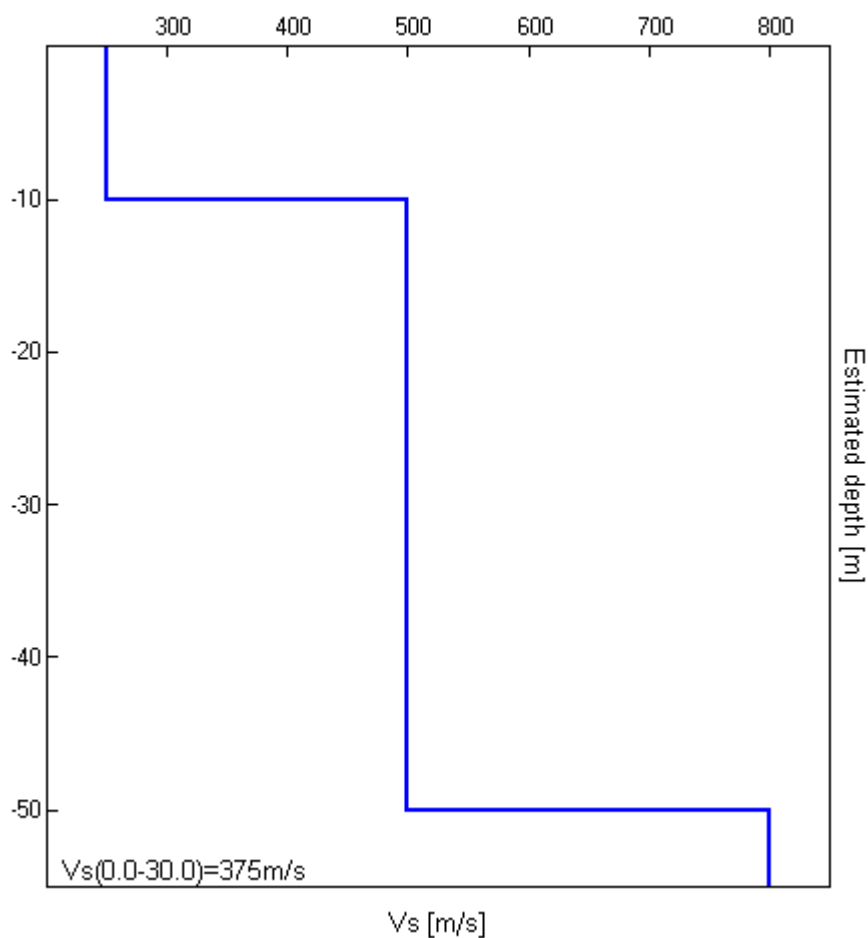
H/V SPERIMENTALE vs. H/V SINTETICO

Max. H/V at 2.66 ± 6.93 Hz. (In the range 0.0 - 64.0 Hz).



Profondità alla base dello strato [m]	Spessore [m]	Vs [m/s]	Rapporto di Poisson
10.00	10.00	250	0.35
50.00	40.00	500	0.35
inf.	inf.	800	0.35

Vs(0.0-30.0)=375m/s



[Secondo le linee guida SESAME, 2005. Si raccomanda di leggere attentamente il manuale di *Grilla* prima di interpretare la tabella seguente].

Picco H/V a 2.66 ± 6.93 Hz (nell'intervallo 0.0 - 64.0 Hz).

Criteri per una curva H/V affidabile

[Tutti 3 dovrebbero risultare soddisfatti]

$f_0 > 10 / L_w$	$2.66 > 0.17$	OK	
$n_c(f_0) > 200$	$2390.6 > 200$	OK	
$\sigma_A(f) < 2$ per $0.5f_0 < f < 2f_0$ se $f_0 > 0.5\text{Hz}$ $\sigma_A(f) < 3$ per $0.5f_0 < f < 2f_0$ se $f_0 < 0.5\text{Hz}$	Superato 0 volte su 256	OK	

Criteri per un picco H/V chiaro

[Almeno 5 su 6 dovrebbero essere soddisfatti]

Esiste f^- in $[f_0/4, f_0]$ $A_{H/V}(f^-) < A_0 / 2$			NO
Esiste f^+ in $[f_0, 4f_0]$ $A_{H/V}(f^+) < A_0 / 2$			NO
$A_0 > 2$	$1.75 > 2$		NO
$f_{\text{picco}}[A_{H/V}(f) \pm \sigma_A(f)] = f_0 \pm 5\%$	$ 1.17497 < 0.05$		NO
$\sigma_f < \varepsilon(f_0)$	$3.12101 < 0.13281$		NO
$\sigma_A(f_0) < \theta(f_0)$	$0.1511 < 1.58$	OK	

L_w	lunghezza della finestra
n_w	numero di finestre usate nell'analisi
$n_c = L_w n_w f_0$	numero di cicli significativi
f	frequenza attuale
f_0	frequenza del picco H/V
σ_f	deviazione standard della frequenza del picco H/V
$\varepsilon(f_0)$	valore di soglia per la condizione di stabilità $\sigma_f < \varepsilon(f_0)$
A_0	ampiezza della curva H/V alla frequenza f_0
$A_{H/V}(f)$	ampiezza della curva H/V alla frequenza f
f^-	frequenza tra $f_0/4$ e f_0 alla quale $A_{H/V}(f^-) < A_0/2$
f^+	frequenza tra f_0 e $4f_0$ alla quale $A_{H/V}(f^+) < A_0/2$
$\sigma_A(f)$	deviazione standard di $A_{H/V}(f)$, $\sigma_A(f)$ è il fattore per il quale la curva $A_{H/V}(f)$ media deve essere moltiplicata o divisa
$\sigma_{\log H/V}(f)$	deviazione standard della funzione $\log A_{H/V}(f)$
$\theta(f_0)$	valore di soglia per la condizione di stabilità $\sigma_A(f) < \theta(f_0)$

Valori di soglia per σ_f e $\sigma_A(f_0)$

Intervallo di freq. [Hz]	< 0.2	0.2 – 0.5	0.5 – 1.0	1.0 – 2.0	> 2.0
$\varepsilon(f_0)$ [Hz]	$0.25 f_0$	$0.2 f_0$	$0.15 f_0$	$0.10 f_0$	$0.05 f_0$
$\theta(f_0)$ per $\sigma_A(f_0)$	3.0	2.5	2.0	1.78	1.58
$\log \theta(f_0)$ per $\sigma_{\log H/V}(f_0)$	0.48	0.40	0.30	0.25	0.20

CHITIGNANO 45

Strumento: TRZ-0135/01-11

Inizio registrazione: 27/06/13 16:00:48 Fine registrazione: 27/06/13 16:22:48

Nomi canali: NORTH SOUTH; EAST WEST ; UP DOWN

Dato GPS non disponibile

Durata registrazione: 0h22'00".

Analizzato 77% tracciato (selezione manuale)

Freq. campionamento: 128 Hz

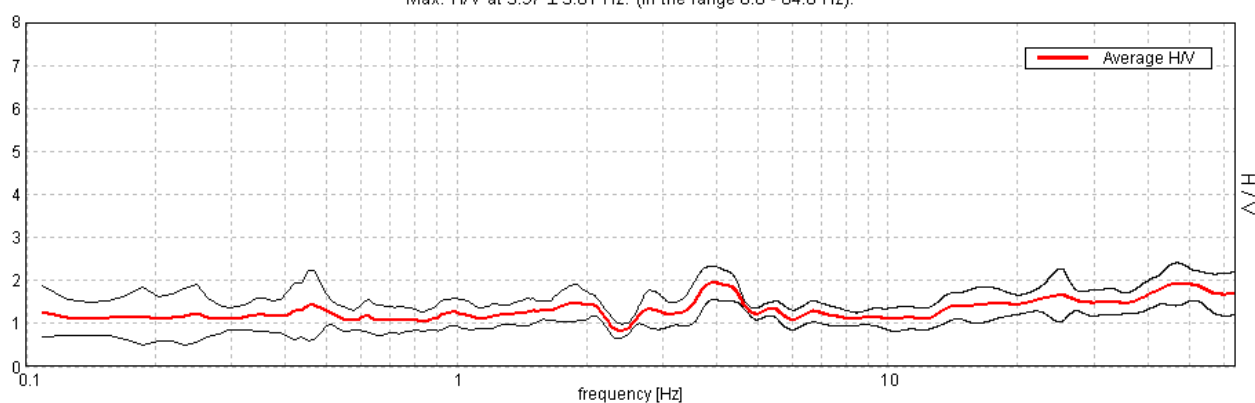
Lunghezza finestre: 60 s

Tipo di lisciamento: Triangular window

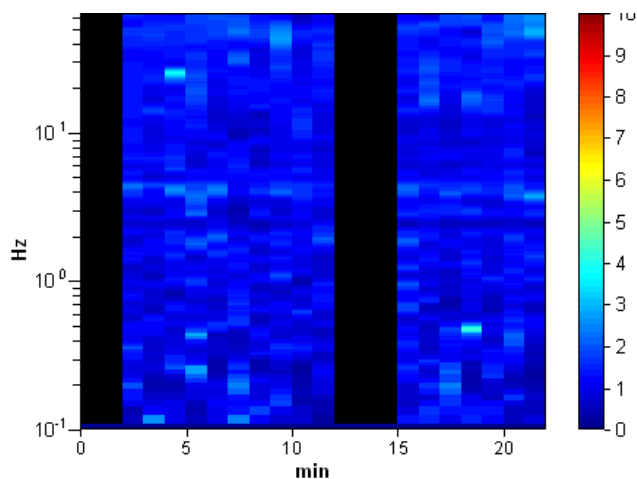
Lisciamento: 10%

RAPPORTO SPETTRALE ORIZZONTALE SU VERTICALE

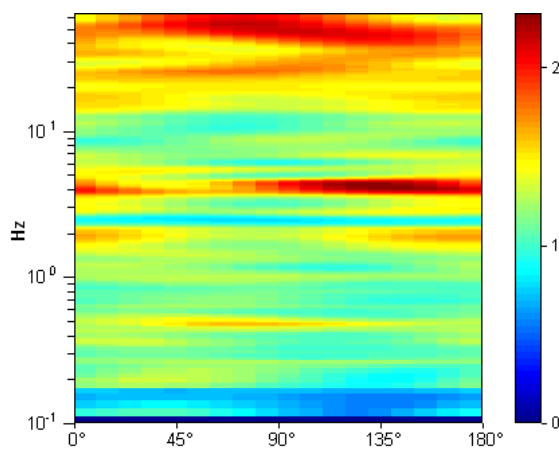
Max. H/V at 3.97 ± 3.81 Hz. (In the range 0.0 - 64.0 Hz).



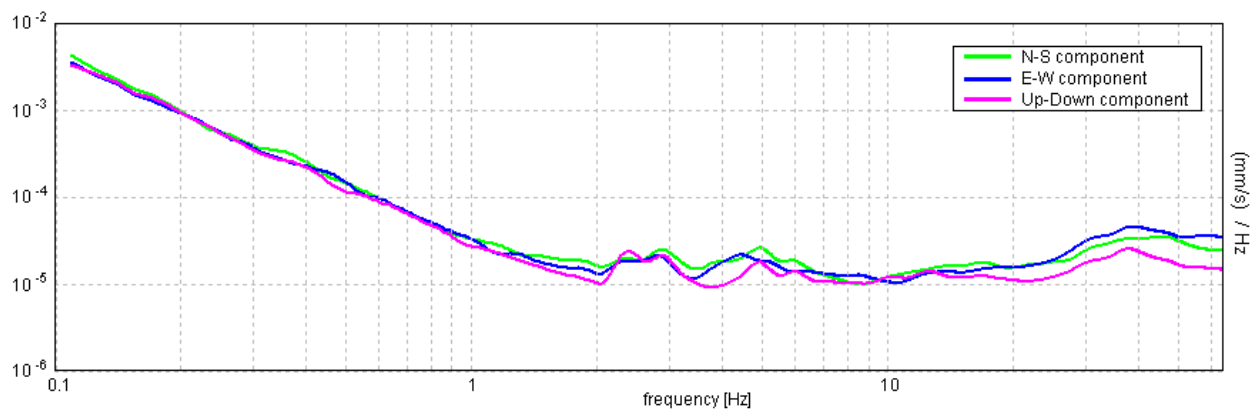
SERIE TEMPORALE H/V



DIREZIONALITA' H/V



SPETTRI DELLE SINGOLE COMPONENTI



[Secondo le linee guida SESAME, 2005. **Si raccomanda di leggere attentamente il manuale di Grilla prima di interpretare la tabella seguente**].

Picco H/V a 3.97 ± 3.81 Hz (nell'intervallo 0.0 - 64.0 Hz).

Criteri per una curva H/V affidabile

[Tutti 3 dovrebbero risultare soddisfatti]

$f_0 > 10 / L_w$	$3.97 > 0.17$	OK	
$n_c(f_0) > 200$	$4048.1 > 200$	OK	
$\sigma_A(f) < 2$ per $0.5f_0 < f < 2f_0$ se $f_0 > 0.5\text{Hz}$ $\sigma_A(f) < 3$ per $0.5f_0 < f < 2f_0$ se $f_0 < 0.5\text{Hz}$	Superato 0 volte su 382	OK	

Criteri per un picco H/V chiaro

[Almeno 5 su 6 dovrebbero essere soddisfatti]

Esiste f^- in $[f_0/4, f_0]$ $A_{H/V}(f^-) < A_0 / 2$	2.531 Hz	OK	
Esiste f^+ in $[f_0, 4f_0]$ $A_{H/V}(f^+) < A_0 / 2$			NO
$A_0 > 2$	$1.95 > 2$		NO
$f_{\text{picco}}[A_{H/V}(f) \pm \sigma_A(f)] = f_0 \pm 5\%$	$ 0.43932 < 0.05$		NO
$\sigma_f < \varepsilon(f_0)$	$1.74356 < 0.19844$		NO
$\sigma_A(f_0) < \theta(f_0)$	$0.1756 < 1.58$	OK	

L_w	lunghezza della finestra
n_w	numero di finestre usate nell'analisi
$n_c = L_w n_w f_0$	numero di cicli significativi
f	frequenza attuale
f_0	frequenza del picco H/V
σ_f	deviazione standard della frequenza del picco H/V
$\varepsilon(f_0)$	valore di soglia per la condizione di stabilità $\sigma_f < \varepsilon(f_0)$
A_0	ampiezza della curva H/V alla frequenza f_0
$A_{H/V}(f)$	ampiezza della curva H/V alla frequenza f
f^-	frequenza tra $f_0/4$ e f_0 alla quale $A_{H/V}(f^-) < A_0/2$
f^+	frequenza tra f_0 e $4f_0$ alla quale $A_{H/V}(f^+) < A_0/2$
$\sigma_A(f)$	deviazione standard di $A_{H/V}(f)$, $\sigma_A(f)$ è il fattore per il quale la curva $A_{H/V}(f)$ media deve essere moltiplicata o divisa
$\sigma_{\log H/V}(f)$	deviazione standard della funzione $\log A_{H/V}(f)$
$\theta(f_0)$	valore di soglia per la condizione di stabilità $\sigma_A(f) < \theta(f_0)$

Valori di soglia per σ_f e $\sigma_A(f_0)$

Intervallo di freq. [Hz]	< 0.2	0.2 – 0.5	0.5 – 1.0	1.0 – 2.0	> 2.0
$\varepsilon(f_0)$ [Hz]	$0.25 f_0$	$0.2 f_0$	$0.15 f_0$	$0.10 f_0$	$0.05 f_0$
$\theta(f_0)$ per $\sigma_A(f_0)$	3.0	2.5	2.0	1.78	1.58
$\log \theta(f_0)$ per $\sigma_{\log H/V}(f_0)$	0.48	0.40	0.30	0.25	0.20

Chitignano 46

Strumento: TRZ-0135/01-11

Inizio registrazione: 27/06/13 16:40:04 Fine registrazione: 27/06/13 17:02:04

Nomi canali: NORTH SOUTH; EAST WEST; UP DOWN

Dato GPS non disponibile

Durata registrazione: 0h22'00".

Analizzato 82% tracciato (selezione manuale)

Freq. campionamento: 128 Hz

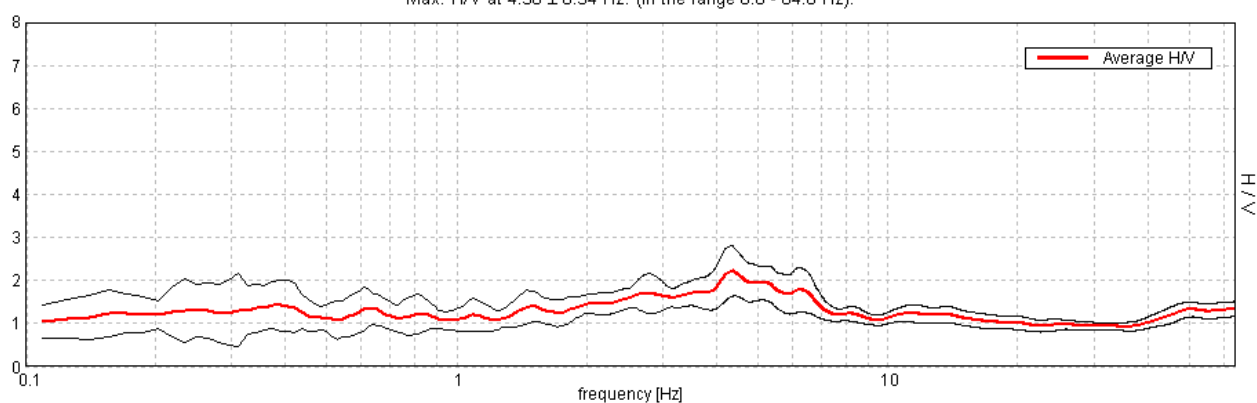
Lunghezza finestre: 60 s

Tipo di lisciamento: Triangular window

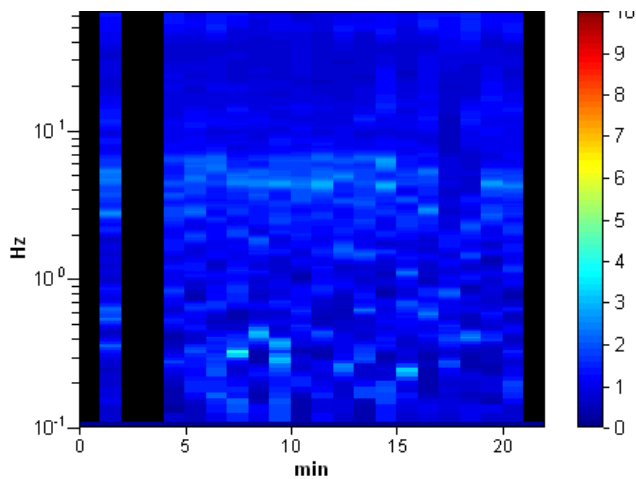
Lisciamento: 10%

RAPPORTO SPETTRALE ORIZZONTALE SU VERTICALE

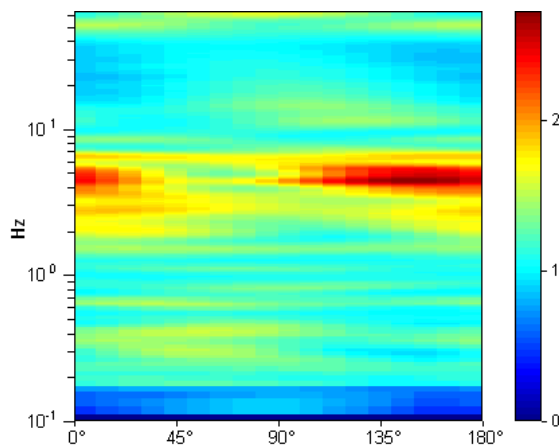
Max. H/V at 4.38 ± 0.34 Hz. (In the range 0.0 - 64.0 Hz).



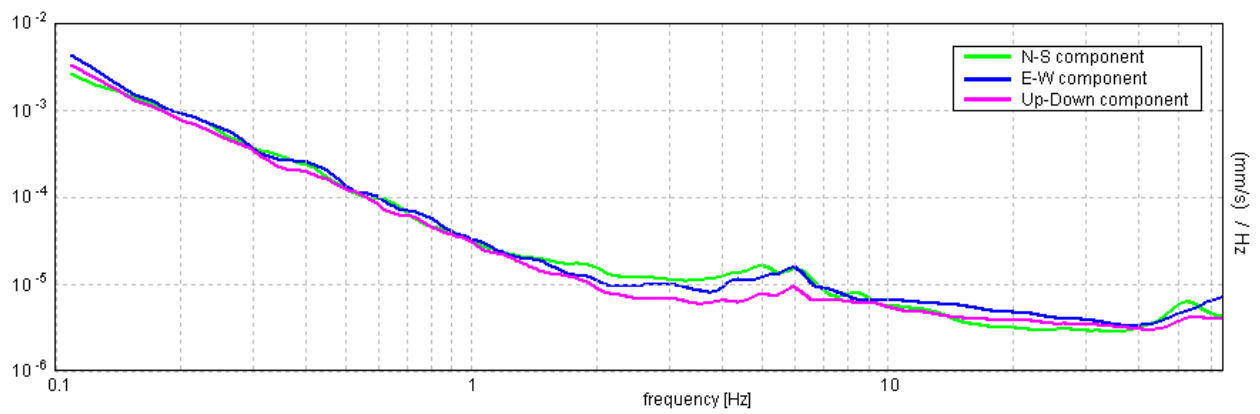
SERIE TEMPORALE H/V



DIREZIONALITA' H/V

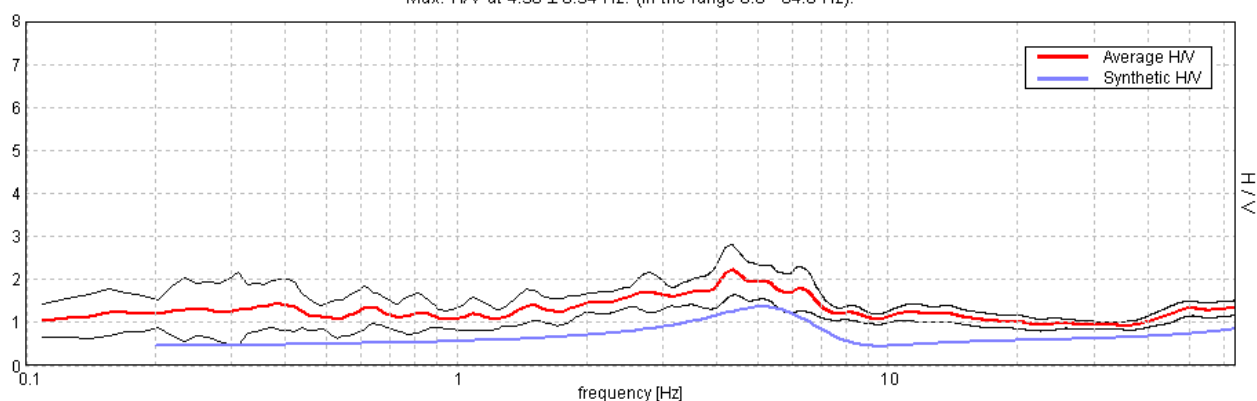


SPETTRI DELLE SINGOLE COMPONENTI



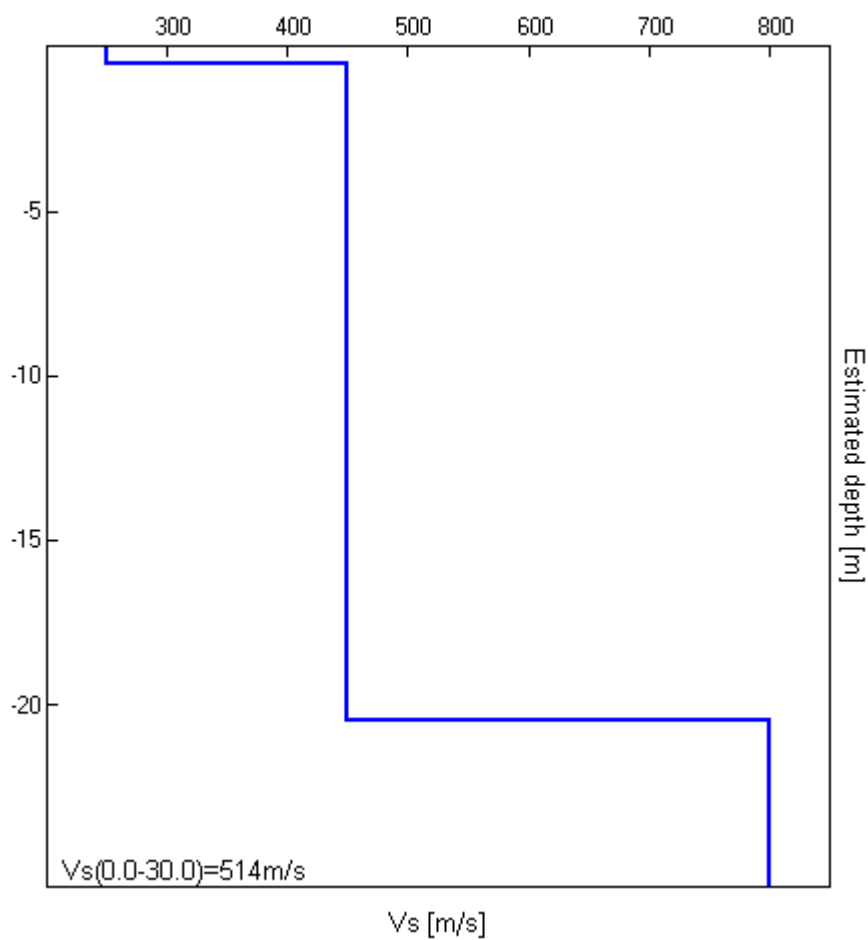
H/V SPERIMENTALE vs. H/V SINTETICO

Max. H/V at 4.38 ± 0.34 Hz. (In the range 0.0 - 64.0 Hz).



Profondità alla base dello strato [m]	Spessore [m]	Vs [m/s]	Rapporto di Poisson
0.50	0.50	250	0.35
20.50	20.00	450	0.35
inf.	inf.	800	0.35

$V_s(0.0-30.0)=514\text{m/s}$



[Secondo le linee guida SESAME, 2005. Si raccomanda di leggere attentamente il manuale di *Grilla* prima di interpretare la tabella seguente].

Picco H/V a 4.38 ± 0.34 Hz (nell'intervallo 0.0 - 64.0 Hz).

Criteri per una curva H/V affidabile

[Tutti 3 dovrebbero risultare soddisfatti]

$f_0 > 10 / L_w$	$4.38 > 0.17$	OK	
$n_c(f_0) > 200$	$4725.0 > 200$	OK	
$\sigma_A(f) < 2$ per $0.5f_0 < f < 2f_0$ se $f_0 > 0.5\text{Hz}$ $\sigma_A(f) < 3$ per $0.5f_0 < f < 2f_0$ se $f_0 < 0.5\text{Hz}$	Superato 0 volte su 421	OK	

Criteri per un picco H/V chiaro

[Almeno 5 su 6 dovrebbero essere soddisfatti]

Esiste f^- in $[f_0/4, f_0]$ $A_{H/V}(f^-) < A_0 / 2$	1.266 Hz	OK	
Esiste f^+ in $[f_0, 4f_0]$ $A_{H/V}(f^+) < A_0 / 2$	9.031 Hz	OK	
$A_0 > 2$	$2.22 > 2$	OK	
$f_{\text{picco}}[A_{H/V}(f) \pm \sigma_A(f)] = f_0 \pm 5\%$	$ 0.0357 < 0.05$	OK	
$\sigma_f < \varepsilon(f_0)$	$0.15619 < 0.21875$	OK	
$\sigma_A(f_0) < \theta(f_0)$	$0.2665 < 1.58$	OK	

L_w	lunghezza della finestra
n_w	numero di finestre usate nell'analisi
$n_c = L_w n_w f_0$	numero di cicli significativi
f	frequenza attuale
f_0	frequenza del picco H/V
σ_f	deviazione standard della frequenza del picco H/V
$\varepsilon(f_0)$	valore di soglia per la condizione di stabilità $\sigma_f < \varepsilon(f_0)$
A_0	ampiezza della curva H/V alla frequenza f_0
$A_{H/V}(f)$	ampiezza della curva H/V alla frequenza f
f^-	frequenza tra $f_0/4$ e f_0 alla quale $A_{H/V}(f^-) < A_0/2$
f^+	frequenza tra f_0 e $4f_0$ alla quale $A_{H/V}(f^+) < A_0/2$
$\sigma_A(f)$	deviazione standard di $A_{H/V}(f)$, $\sigma_A(f)$ è il fattore per il quale la curva $A_{H/V}(f)$ media deve essere moltiplicata o divisa
$\sigma_{\log H/V}(f)$	deviazione standard della funzione $\log A_{H/V}(f)$
$\theta(f_0)$	valore di soglia per la condizione di stabilità $\sigma_A(f) < \theta(f_0)$

Valori di soglia per σ_f e $\sigma_A(f_0)$

Intervallo di freq. [Hz]	< 0.2	0.2 – 0.5	0.5 – 1.0	1.0 – 2.0	> 2.0
$\varepsilon(f_0)$ [Hz]	$0.25 f_0$	$0.2 f_0$	$0.15 f_0$	$0.10 f_0$	$0.05 f_0$
$\theta(f_0)$ per $\sigma_A(f_0)$	3.0	2.5	2.0	1.78	1.58
$\log \theta(f_0)$ per $\sigma_{\log H/V}(f_0)$	0.48	0.40	0.30	0.25	0.20

CHITIGNANO 48

Strumento: TRZ-0135/01-11

Inizio registrazione: 27/06/13 17:59:29 Fine registrazione: 27/06/13 18:21:29

Nomi canali: NORTH SOUTH; EAST WEST ; UP DOWN

Dato GPS non disponibile

Durata registrazione: 0h22'00".

Analizzato 73% tracciato (selezione manuale)

Freq. campionamento: 128 Hz

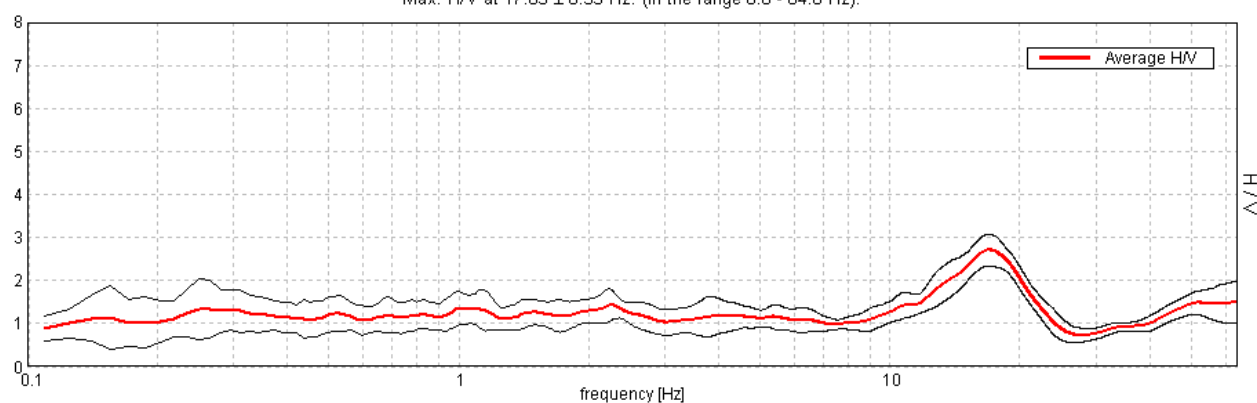
Lunghezza finestre: 60 s

Tipo di lisciamento: Triangular window

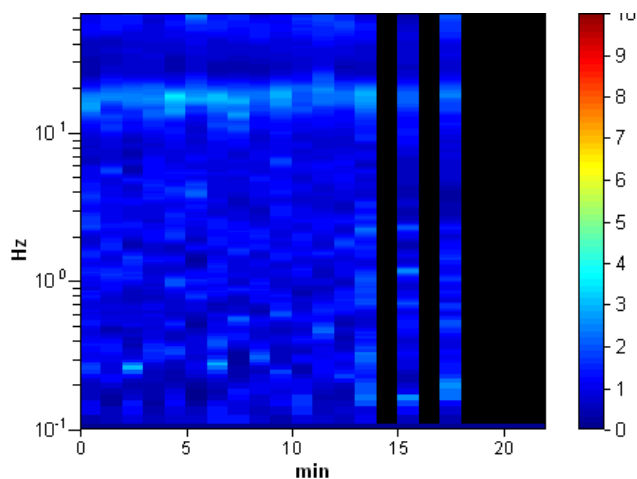
Lisciamento: 10%

RAPPORTO SPETTRALE ORIZZONTALE SU VERTICALE

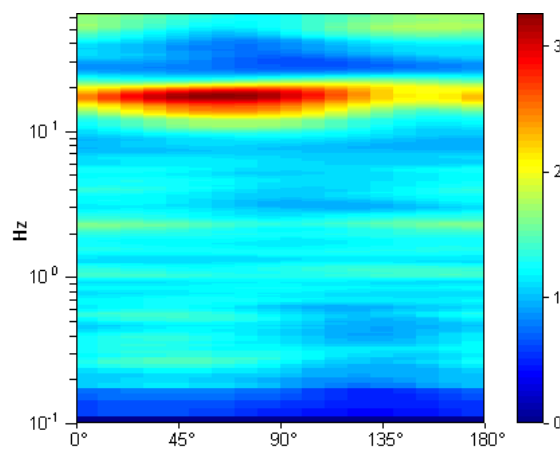
Max. H/V at 17.03 ± 0.35 Hz. (In the range 0.0 - 64.0 Hz).



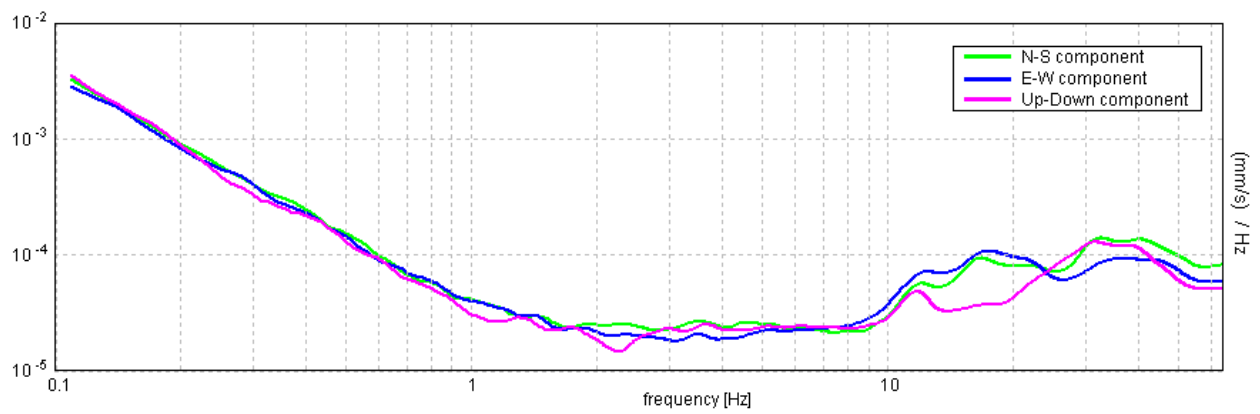
SERIE TEMPORALE H/V



DIREZIONALITA' H/V

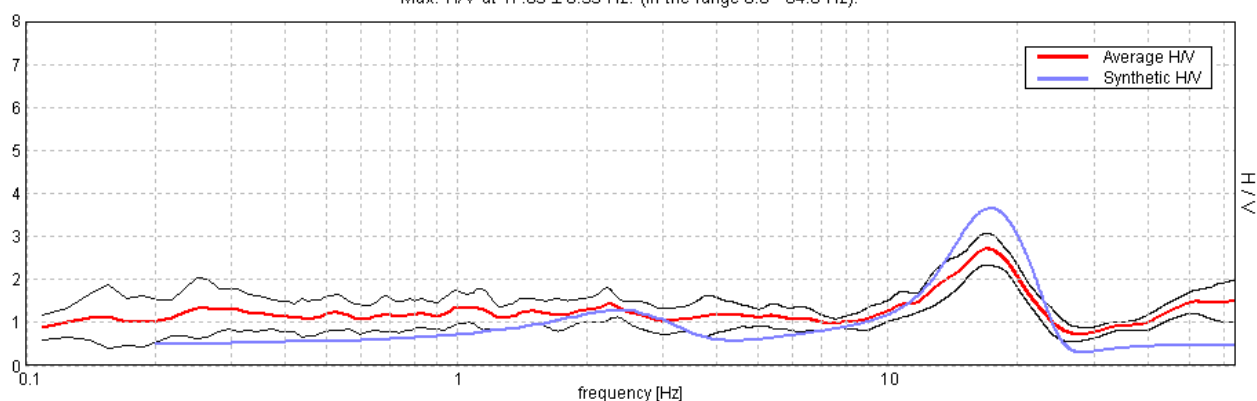


SPETTRI DELLE SINGOLE COMPONENTI



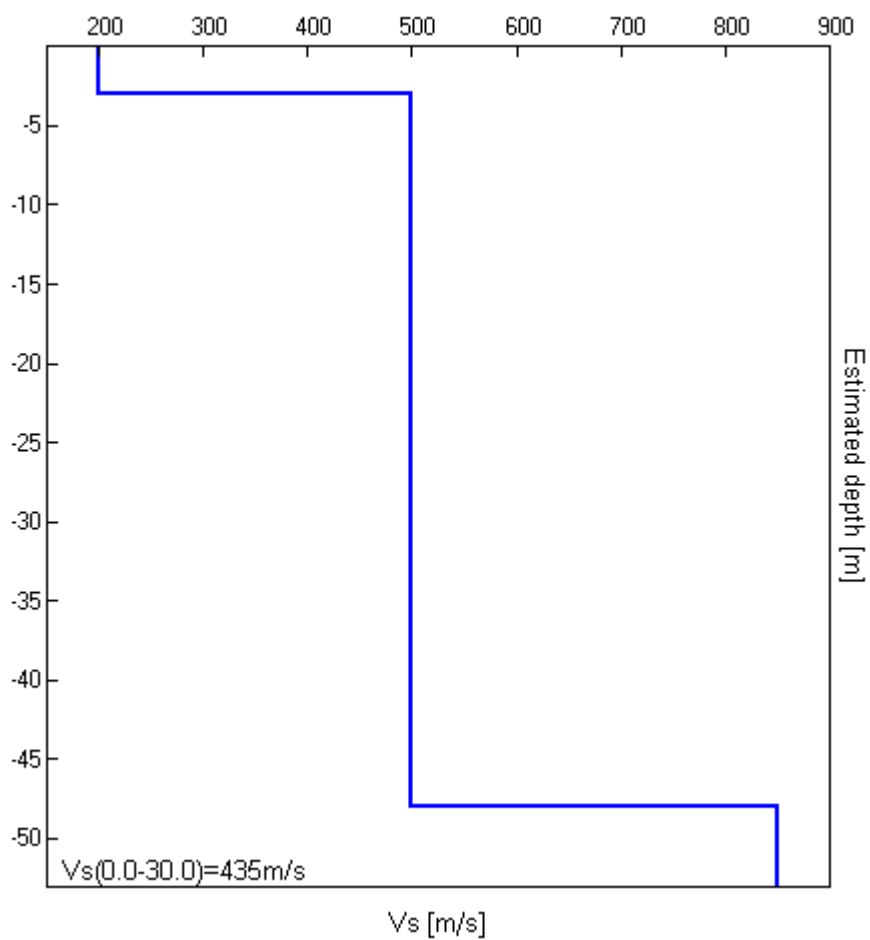
H/V SPERIMENTALE vs. H/V SINTETICO

Max. H/V at 17.03 ± 0.35 Hz. (In the range 0.0 - 64.0 Hz).



Profondità alla base dello strato [m]	Spessore [m]	Vs [m/s]	Rapporto di Poisson
3.00	3.00	200	0.35
48.00	45.00	500	0.35
inf.	inf.	850	0.35

$V_s(0.0-30.0)=435\text{m/s}$



[Secondo le linee guida SESAME, 2005. **Si raccomanda di leggere attentamente il manuale di Grilla prima di interpretare la tabella seguente**].

Picco H/V a 17.03 ± 0.35 Hz (nell'intervallo 0.0 - 64.0 Hz).

Criteri per una curva H/V affidabile

[Tutti 3 dovrebbero risultare soddisfatti]

$f_0 > 10 / L_w$	$17.03 > 0.17$	OK	
$n_c(f_0) > 200$	$16350.0 > 200$	OK	
$\sigma_A(f) < 2$ per $0.5f_0 < f < 2f_0$ se $f_0 > 0.5\text{Hz}$ $\sigma_A(f) < 3$ per $0.5f_0 < f < 2f_0$ se $f_0 < 0.5\text{Hz}$	Superato 0 volte su 1636	OK	

Criteri per un picco H/V chiaro

[Almeno 5 su 6 dovrebbero essere soddisfatti]

Esiste f^- in $[f_0/4, f_0]$ $A_{H/V}(f^-) < A_0 / 2$	10.375 Hz	OK	
Esiste f^+ in $[f_0, 4f_0]$ $A_{H/V}(f^+) < A_0 / 2$	22.453 Hz	OK	
$A_0 > 2$	$2.71 > 2$	OK	
$f_{\text{picco}}[A_{H/V}(f) \pm \sigma_A(f)] = f_0 \pm 5\%$	$ 0.00922 < 0.05$	OK	
$\sigma_f < \varepsilon(f_0)$	$0.15709 < 0.85156$	OK	
$\sigma_A(f_0) < \theta(f_0)$	$0.1662 < 1.58$	OK	

L_w	lunghezza della finestra
n_w	numero di finestre usate nell'analisi
$n_c = L_w n_w f_0$	numero di cicli significativi
f	frequenza attuale
f_0	frequenza del picco H/V
σ_f	deviazione standard della frequenza del picco H/V
$\varepsilon(f_0)$	valore di soglia per la condizione di stabilità $\sigma_f < \varepsilon(f_0)$
A_0	ampiezza della curva H/V alla frequenza f_0
$A_{H/V}(f)$	ampiezza della curva H/V alla frequenza f
f^-	frequenza tra $f_0/4$ e f_0 alla quale $A_{H/V}(f^-) < A_0/2$
f^+	frequenza tra f_0 e $4f_0$ alla quale $A_{H/V}(f^+) < A_0/2$
$\sigma_A(f)$	deviazione standard di $A_{H/V}(f)$, $\sigma_A(f)$ è il fattore per il quale la curva $A_{H/V}(f)$ media deve essere moltiplicata o divisa
$\sigma_{\log H/V}(f)$	deviazione standard della funzione $\log A_{H/V}(f)$
$\theta(f_0)$	valore di soglia per la condizione di stabilità $\sigma_A(f) < \theta(f_0)$

Valori di soglia per σ_f e $\sigma_A(f_0)$

Intervallo di freq. [Hz]	< 0.2	0.2 – 0.5	0.5 – 1.0	1.0 – 2.0	> 2.0
$\varepsilon(f_0)$ [Hz]	$0.25 f_0$	$0.2 f_0$	$0.15 f_0$	$0.10 f_0$	$0.05 f_0$
$\theta(f_0)$ per $\sigma_A(f_0)$	3.0	2.5	2.0	1.78	1.58
$\log \theta(f_0)$ per $\sigma_{\log H/V}(f_0)$	0.48	0.40	0.30	0.25	0.20